Издается с 1947 г.

Выходит 4 раза в год на русском, армянском и английском языках

ՄԱՆԹԱՇՅԱՆ Ա.Հ. – գլխավոր խմբագիր ԻՆՃԻԿՅԱՆ Մ.Հ. – գլխավոր խմբագրի տեղակալ ՄԱՀԱԿՅԱՆ Մ.Ս. – պատասխանատու քարտուղար

ԽՄԲԱԳՐԱԿԱՆ ԿՈԼԵԳԻԱ

ԲԱԴԱՆՅԱՆ Շ.Հ., ԳՅՈՒԼՆԱԶԱՐՅԱՆ Ա.Խ., ԳՐԻԳՈՐՅԱՆ Գ.Հ., ԳՐԻԳՈՐՅԱՆ Ս.Գ. (պատասխանատու խմբագիր), ԹԱՎԱԴՅԱՆ Լ.Ա., ԽԱՉԱՏՐՅԱՆ Հ.Գ., ԿՈՍՏԱՆՅԱՆ Կ.Ա. (պատասխանատու խմբագիր), ՀԱՅՐԱՊԵՏՅԱՆ Ս.Մ., ՄԱՐԳԱՐՅԱՆ Է.Ա., ՄԱՐԳԱՐՅԱՆ Շ.Ա. (պատասխանատու խմբագիր), ՄԱՑՈՅԱՆ Ս.Գ. (պատասխանատու խմբագիր), ՍԻՐԱԿԱՆՅԱՆ Մ.Ա.

ԽՄԲԱԳՐԱԿԱՆ ԽՈՐՀՈՒՐԴ

ԱՎԵՏԻՍՅԱՆ Ա.Ա., ԲԱԲԱՅԱՆ Հ.Գ., ԲԱԲԱՅԱՆ Ս.Գ., ԳԱՅԲԱԿՅԱՆ Դ.Ս., ԳՐԻԳՈՐՅԱՆ Ս.Կ., ԳԵՎՈՐԳՅԱՆ Ա.Հ., ԴՈՎԼԱԹՅԱՆ Վ.Վ., ԿԱՐԱԽԱՆՅԱՆ Ս.Ս., ԿՈՒՌՈՅԱՆ Ռ.Հ., ՄԱՏՆԻՇՅԱՆ Հ.Ա., ՆՈՐԱՎՅԱՆ Ա.Ս., ՍՈՒՔԻԱՍՅԱՆ Ա.Գ.

МАНТАШЯН А.А. – главный редактор ИНДЖИКЯН М.Г. – заместитель главного редактора СААКЯН С.С. — ответственный секретарь

РЕДАКЦИОННАЯ КОЛЛЕГИЯ

АЙРАПЕТЯН С.М., БАДАНЯН Ш.О., ГРИГОРЯН Г.О., ГРИГОРЯН С.Г. (ответств. редактор), ГЮЛЬНАЗАРЯН А.Х., КОСТАНЯН К.А. (ответств. редактор), МАРКАРЯН Ш.А. (ответств. редактор), МАРКАРЯН Э.А. МАЦОЯН С.Г. (ответств. редактор), СИРАКАНЯН М.А., ТАВАДЯН Л.А., ХАЧАТРЯН А.Г.

РЕДАКЦИОННЫЙ СОВЕТ

АВЕТИСЯН А.А., БАБАЯН Г.Г, БАБАЯН С.Г., ГАЙБАКЯН Д.С., ГЕВОРКЯН А.А., ГРИГОРЯН С.К., ДОВЛАТЯН В.В., КАРАХАНЯН С.С., КУРОЯН Р.А., МАТНИШЯН А.А., НОРАВЯН А.С., СУКИАСЯН А.Г.

MANTASHYAN A.A. – Editor-in-chief INJIKYAN M.H. – Deputy Editor SAHAKYAN S.S. – Technical Editor

EDITORIAL BOARD

BADANYAN Sh.H., GRIGORYAN G.H., GRIGORYAN S.G. (executive editor), GULNAZARYAN A.Kh., HAYRAPETYAN S.M., KHACHATRYAN H.G., KOSTANYAN K.A. (executive editor), MARKARYAN E.A., MARKARYAN Sh.A. (executive editor), MATSOYAN S.G. (executive editor), SIRAKANYAN M.A., TAVADYAN L.A.

EDITORIAL COUNCIL

AVETISYAN A.A., BABAYAN H.G., BABAYAN S.G., DOVLATYAN V.V., GAYBAKYAN D.S., GEVORKYAN A.A., GRIGORYAN S.K., KUROYAN R.H., KARAKHANYAN S.S., MATNISHYAN H.A., NORAVYAN A.S., SUKIASYAN A.G.

© Издательство "Гитутюн" НАН Республики Армения Химический журнал Армении, 2002

ЮБИЛЕИ

АЛЕКСАНДР ГРИГОРЬЕВИЧ МЕРЖАНОВ



Исполнилось 70 лет со дня рождения выдающегося ученого, одного из ярких представителей знаменитой Семеновской школы химической физики в области горении, академика, директора Института структурной макрокинетики проблем материаловедения PAH, председателя научного совета по горению PAH Александра

Григорьевича Мержанова.

Фундаментальные труды Александра Григорьевича, посвященные теории и практике процессов горения, созданное им оригинальное научное направление "самораспространяющийся высокотемпературный синтез" (СВС) принесли ему широкую известность и заслуженное признание в мировом научном сообществе.

Идеи академика А.Г.Мержанова и созданное им научное направление были внедрены также в Институте химической физики НАН Армении. Под его научным руководством и при непосредственном участии здесь были созданы сектор СВС и специальное конструкторское бюро с опытным производством.

Практические результаты исследований, выполненных под руководством Александра Григорьевича, были внедрены на Кироваканском заводе высокотемпературных нагревателей и удостоены Государственной премии Армянской ССР.

Александр Григорьевич Мержанов воспитал целую плеяду высококвалифицированных специалистов – ученых для Армении, которые сегодня успешно развивают его идеи и традиции Мержановской научной школы в двух лабораториях ИХФ НАН РА. Его частые приезды в Армению, организованные им всесоюзные симпозиумы и конференции по процессам горения, а также школы-конференции по самораспространяющемуся высокотемпературному синтезу стимулировали развитие науки в этой области в Армении.

Отмечая славную юбилейную дату, ученые Армении, коллектив ИХФ НАН РА, редакция "Химического журнала Армении" желают Александру Григорьевичу Мержанову больших успехов, новых научных свершений, крепкого здоровья и дальнейшей неразрывной творческой связи с любимой им Арменией.

ՀԱՅԱՍՏԱՆԻ ՀԱՆՐԱՊԵՏՈՒԹՅԱՆ ԳԻՏՈՒԹՅՈՒՆՆԵՐԻ ԱԶԳԱՅԻՆ ԱԿԱԴԵՄԻԱ

НАЦИОНАЛЬНАЯ АКАДЕМИЯ НАУК РЕСПУБЛИКИ АРМЕНИЯ

Հայաստանի քիմիական հանդես 55, №1-2, 2002 Химический журнал Армении

ОБЩАЯ И ФИЗИЧЕСКАЯ ХИМИЯ

УДК 541.44:546.821:546.8:539.12

РАДИАЦИОННО-ТЕРМИЧЕСКИЕ ПРОЦЕССЫ В ТРОЙНЫХ ВОДОРОДСОДЕРЖАЩИХ СИСТЕМАХ

А. Г. АЛЕКСАНЯН, Н. Н. АГАДЖАНЯН, А. Г. АКОПЯН, С. К. ДОЛУХАНЯН, В. Ш. ШЕХТМАН¹, Х. С. АРУТЮНЯН², К. А. АБРАМЯН, В. С. АЙРАПЕТЯН², О. П. ТЕР-ГАЛСТЯН и Н. Л. МНАЦАКАНЯН

Институт химической физики им. А.Б. Налбандяна НАН Республики Армения, Ереван

(1) Институт физики твердого тела РАН, Черноголовка, Московская область

(2)Ереванский физический институт

Поступило 17 V 2001

Исследованы радиационно-термические процессы в сложных системах типа Ме-N-H, Ме-С-Н и Ме-Ме¹-Н (Ме - Ті, Zr, Hf; Ме¹ - Со, Ni) под воздействием пучка ускоренных электронов ("ЛУЭ-5"). Установлена принципиальная возможность радиационнотермического синтеза гидридонитридов и карбогидридов титана и циркония, а также гидридов интерметаллидов. Показано, что взаимодействие с водородом твердых растворов азота, а также нестехиометрических карбидов на базе металлов IV группы происходит (аналогично тепловому взрыву) вследствие экзотермической реакции, инициированной пучком ускоренных электронов. Установлены основные закономерности РТС процесса. Структуры полученных в режиме РТС гидридонитридов идентичны ГПУ структурам соединений, ранее синтезированных в режиме СВС. В режиме РТС формируются в основном двухфазные состояния карбогидридов с ГПУ и ГЦК структурами. В указанных системах обнаружено явление "холодного синтеза" гидридонитридов, карбогидридов и гидридов интерметаллидов. Показано влияние дозы и мощности дозы на характеристики процесса и конечного продукта.

Рис. 2, табл. 5, библ. ссылок 8.

Промежуточные фазы переходных металлов с азотной и углеродной подрешетками, а также с добавками второго металла представляют значи-

тельный интерес как гидридообразующие соединения с особыми физико-химическими свойствами. В этих фазах внедрения особенности образования радиационных дефектов под влиянием облучения связаны с гетероатомностью их кристаллического строения и гетеродесмичностью химических связей. Под действием облучения происходит смещение атомов из одной подрешетки в другую, что может привести к возникновению напряжений, образованию и росту числа дефектов, связанных с неметаллической подрешеткой сложной матрицы. Такого рода дефекты не могут образоваться у чистых металлов, т.к. они состоят из односортных атомов [1]. При значительном различии массы атомов в гетероатомных соединениях возможно смещение сначала легких, а затем и тяжелых атомов. Также известно, что при равных условиях радиационные дефекты в карбидах и нитридах переходных металлов наблюдаются чаще, чем в самих металлах.

В связи со сказанным было интересно изучить радиационнотермические процессы в трехкомпонентных сложных системах $Me-(C, N)-H, Me_1-Me_2-H.$

Схема установки и методика эксперимента представлены нами в работе [2].

Результаты экспериментов и их обсуждение

Система металл-азот-водород

Ранее нами изучались процессы горения в тройных системах Me-N-H и были синтезированы гидридонитриды титана, циркония и гафния с гексагональной структурой (ГПУ) методом СВС [3,4]. Было показано, что твердые растворы азота в указанных металлах взаимодействуют с водородом со значительным экзотермическим эффектом; конечными продуктами реакции являются богатые водородом гидридонитриды с ГПУ структурой.

Для проведения настоящих исследований предварительно методом СВС были синтезированы твердые растворы азота в титане — $TiN_{0,18}$ и в цирконии — $ZrN_{0,17}$ с $\Gamma\Pi Y$ структурами и содержанием азота 5,0 и 2,65 вес.%, соответственно. Установлено, что при взаимодействии $TiN_{0,18}$ и $ZrN_{0,17}$ с водородом под воздействием пучка ускоренных электронов при мощностях дозы облучения от 0,1-0,2 до 1 Mpag/c происходит радиационно-термический синтез (РТС) гидридонитридов: $TiN_{0,18}H_{1,4-1,54}$ и $ZrN_{0,17}H_{1,37-1,65}$, аналогично РТС бинарных гидридов металлов IV группы [2].

На рис.1 представлен температурный профиль радиационнотермического процесса для системы $ZrN_{0,17}$ -H (кр.1) при мощности дозы 0,4 $Mpa_{Z\!\!\!/} c$. Как видно из рисунка, температура образца с увеличением дозы облучения до 30 $Mpa_{Z\!\!\!/}$ постепенно возрастает до 280°C, после чего наблюдается резкий скачок температуры до 600°C. Затем начинается плавное понижение температуры, хотя облучение продолжается до дозы $100\ Mpag$. Если облучение прекратить сразу же после резкого скачка температуры, то понижение температуры образца произойдет более интенсивно (рис.1, пунктирные линии). На рис.1 также представлены температурные профили, зарегистрированные при облучении $ZrN_{0,17}$ в вакууме (кр.3) и гидридонитрида $ZrN_{0,17}H_{1,65}$ в водороде (кр.4) при мощности дозы $0,4\ Mpag/c$. Температурные профили рис.1 четко демонстрируют первоначальный рост температуры на кр.1, обусловленный процессами преобразования энергии ускоренных электронов в тепловую. Дальнейший резкий скачок температуры на кр.1 от $280\ \text{до}\ 612^{\circ}\text{С}\ \text{свидетельствует}$ о протекании экзотермической реакции $ZrN_{0,17} + H_2$ во всем объеме образца. Температурные профили "холостых экспериментов" фактически подтверждают предположения, что процессы PTC, протекающие при облучении $ZrN_{0,17}$ в водороде, можно рассматривать как тепловой взрыв, как это было в бинарных гидридах.

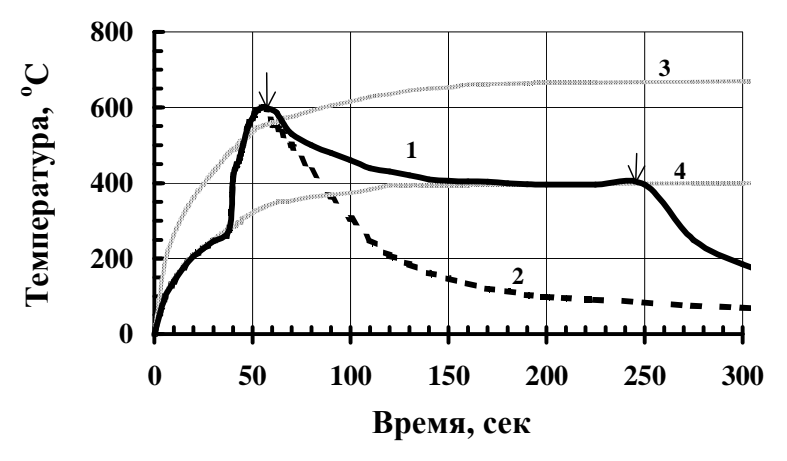


Рис.1. Температурные профили радиационно-термических процессов в системе $ZrN_{0,17}$ -H: (кр. 1 и 2 – PTC, стрелками на кр. 1 и 2 (пунктир) указаны моменты отключения пучка; кр. 3 – "калибровка" $ZrN_{0,17}$ в вакууме, кр. 4 – "калибровка" гидридонитрида в водороде).

Другая серия экспериментов посвящена влиянию предварительного облучения образцов $TiN_{0,18}$ и $ZrN_{0,17}$ в вакууме при разных мощностях дозы (от 0,05 до 0,9 $Mpa_{Z\!\!\!/}(c)$ на радиационно-термические процессы. При облучении этих образцов в вакууме температуры образцов в зависимости от дозы облучения повышаются (табл. 1). После выключения пучка происходило остывание образца до уровня комнатной температуры. Далее в камеру подавался водород и через несколько секунд температура

Таблица 1

Мощ -	Рад	циаци	онно-т синт	ермический ез	i	Холодный синтез				
ность дозы, <i>Мрад</i> / <i>с</i>	Тнач °С	Tpe	ак. Н	² , c. Формул	Доза , <i>Мра</i>	Тнагр.,	X	С к.,	H ₂ , Bec.	Формула
	L			Сис		Zr-N-H	l l		70	
CBC			по реа	кции ZrN0.17			С		1,5	ZrN _{0,17} H _{1,4}
0,05		Нет	p e a	кции	100	175	35	560	1,62	ZrN _{0,17} H _{1,5}
0,1		Нет	p e a	кции	100	310	35	575	1,65	ZrN _{0,17} H _{1,5}
0,2	165	620	1,73	ZrN _{0,17} H _{1,65}	100	645	35	560	1,75	ZrN _{0,17} H _{1,6}
0,3	235	580	1,54	$ZrN_{0,17}H_{1,46}$						
0,4	280	612	1,45	$ZrN_{0,17}H_{1,38}$						
0,5	295	650	1,46	ZrN _{0,17} H _{1,39}	100	610	35	610	1,69	$ZrN_{0,17}H_{1,6}$
0,6	300	660	1,47	$ZrN_{0,17}H_{1,4}$						
0,7	300	670	1,5	$ZrN_{0,17}H_{1,42}$						
0,8	300	675	1,47	ZrN _{0,17} H _{1,39}						
0,9	300	700	1,45	ZrN _{0,17} H _{1,37}		620	35	590	1,64	ZrN _{0,17} H _{1,5}
1	300	765	1,54	ZrN _{0,17} H _{1,46}						
				Сис	тема'	Ti-N-H				
CBC			по реа	кции ТіN0,18	+ H ₂ ; T	rop= 650°	С		2,5	$TiN_{0,18}H_{1,37}$
0,05		Нет	реа	кции			Не	т ре	акци	
0,1		Нет		кции	100	420	75	490	2,8	$TiN_{0,18}H_{1,45}$
0,2		Нет	реа	кции	30	420	45	630	2,83	$TiN_{0,18}H_{1,46}$
0,3	Нет реакции				30	520	35	620	2,8	$TiN_{0,18}H_{1,45}$
0,4	490 670 2,8 TiN _{0,18} H _{1,45}				-	-	_	-	_	
0,5	330	620	2,95	$TiN_{0,18}H_{1,54}$		590	35	470	2,94	$TiN_{0,18}H_{1,52}$
0,9	335	585	2,93	TiN _{0,18} H _{1,53}	100	840	35	565	2,76	$TiN_{0,18}H_{1,43}$
1,0	435	735	2,7	TiN _{0,18} H _{1,40}	_	_	_	_	_	_

образца резко повышалась до 500-600°С, т.е. без специального инициирования проходила экзотермическая реакция синтеза. В результате этой реакции были получены гидридонитриды титана и циркония (табл. 1). Такое же явление, которое было названо нами "холодный синтез" (ХС), впервые наблюдалось при взаимодействии с водородом металлов IV группы [2]. Надо отметить, что температуры при этом развиваются ниже (примерно на 100°С), чем при РТС.

Характерное время возможной выдержки перед запуском водорода зависит от материала: например, XC в системе $ZrN_{0,17}$ - Н происходит даже через 1 ч после облучения, и продуктом синтеза является гидридонитрид стандартного состава.

Радиационно-термический синтез карбогидридов

Известно, что в режиме СВС образование карбогидридов происходит при горении в атмосфере водорода смеси металла с углеродом, например Ti+0,4C+H2 [5,6]. Было показано, что реакцию горения ведет углерод, развиваются высокие температуры порядка 1800°С. При остывании начинается реакция взаимодействия водорода с промежуточным продуктом горения — нестехиометрическим карбидом, которое сопровождается небольшим эндоэффектом, и в результате формируется ГПУ карбогидрид.

Для режима РТС использование исходной смеси металл-углерод оказалось непригодным. При облучении в водородной атмосфере такой смеси пучком ускоренных электронов предпочтительной является гидридная реакция: результирующий продукт только бинарный гидрид, а углерод не вступает в реакцию.

В этой связи для получения карбогидридов титана и циркония в режиме РТС предварительно были синтезированы (методом СВС) нестехиометрические карбиды $TiC_{0,4}$ и $ZrC_{0,4}$ с Γ ЦК структурами и содержанием углерода 8,0 и 5,53 вес.%, соответственно.

Эксперименты показали, что под пучком ускоренных электронов нестехиометрические карбиды титана и циркония взаимодействуют с водородом с образованием карбогидридов. Характеристики радиационнотермических процессов, протекающих в этой системе, и конечных продуктов синтеза представлены в табл. 2.

На рис. 2 представлены термограммы РТС для системы TiC_{0.4}-H. Полученные температурные профили РТС свидетельствуют о протекании экзотермических реакций, инициированных пучком электронов, во всем объеме образцов. Здесь реакция происходит в режиме теплового взрыва, как и в системе Ме-H. Надо отметить, что нестехиометрические карбиды титана и циркония не

Т аблица 2

Мощ -	Радиационно-термический синтез					Холодный синтез						
ность дозы, Мрад/с	Т _{нач.} , °С	Т _{реак.} , °С	Сод.Н2 в продукте вес.%	Общая расчетная формула*	Доза, Мрад	Т _{нагр.} , в вакууме, °C	Т _{нач.} ХС °С	Т _{реак.} ,	Сод.Н2 в продукте, вес.%	Общая расчетная формула*		
	Система ZrC _{0,4} – H											
CBC		:	по реакции	т Zr + 0,4С +	+ H2; Tro	op= 1950°C		1,0	ZrC _{0,4} H _{0,97} ГЦК			
0,025		Нe	г реакц	ии	70	110	55	395	1,12	$ZrC_{0,4}H_{1,09}$		
0,05		Нe	г реакц	70	220	55	422	0,99	$ZrC_{0,4}H_{0,96}$			
0,1	95	405	1,29	ZrC _{0,4} H _{1,25,}	70	320	55	422	1,11	$ZrC_{0,4}H_{1,08}$		
0,2	135	427	1,06	$ZrC_{0,4}H_{1,03}$	70	463	55	437	1,01	$ZrC_{0,4}H_{0,98}$		
0,3	160	487	1,01	$ZrC_{0,4}H_{0,98}$	40	535	55	585	0,95	$ZrC_{0,4}H_{0,92}$		
0,4	185	520	0,99	$ZrC_{0,4}H_{0,96}$	50	490	55	457	0,96	$ZrC_{0,4}H_{0,93}$		
0,5	210	535	0,97	$ZrC_{0,4}H_{0,94}$	70	540	55	420	0,98	$ZrC_{0,4}H_{0,95}$		
0,6	_	_	_	_	70	715	55	437	1,01	$ZrC_{0,4}H_{0,98}$		
0,7	237	628	1,06	$ZrC_{0,4}H_{1,03}$	70	803	55	443	0,95	$ZrC_{0,4}H_{0,92}$		
0,8	_	_	_		70	850	55	437	1,03	$ZrC_{0,4}H_{1,0}$		
0,9	248	635	0,99	$ZrC_{0,4}H_{0,96}$	_	_	_	_	_	_		
	Система ТіСо,4 — Н											
CBC	по реакции Ti + 0,4C + H2; T _{гор} = 1200°C								2,0	TiC _{0,4} H _{1,08} ГПУ		
0,25		Нe	г реакц	25	400	100	435	1,28	TiC _{0,4} H _{0,69}			
0,5		Не	г реакц	_	_	_	_	_	_			
0,6	385 630 1,72 TiC _{0,4} H _{0,93}		_	_	_	_	-					
0,8	447	780	1,86	$TiC_{0,4}H_{1,0}$	50	747	100	490	1,57	TiC _{0,4} H		
1,0	463	843	1,88	TiC _{0,4} H _{1,01}	_	_	_	_				

взаимодействуют с водородом в режиме горения (СВС). Поэтому реализация этой реакции при облучении говорит о существенной роли радиационной активации исходных нестехиометрических карбидов.

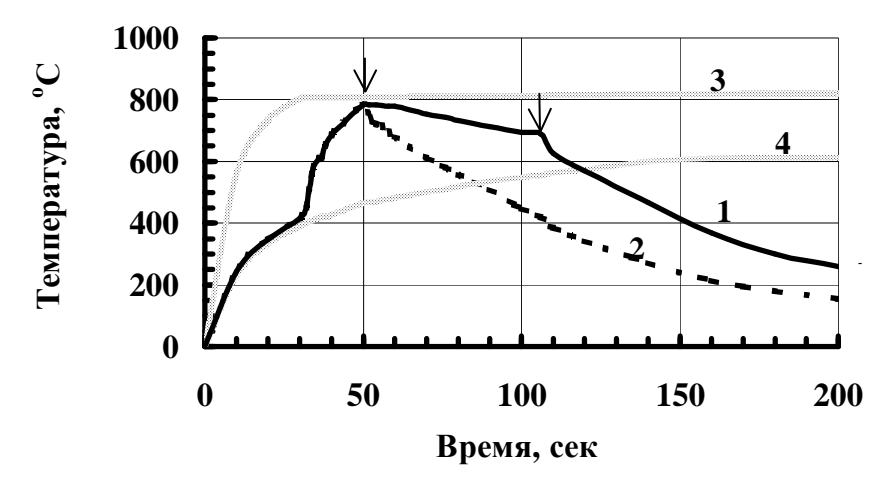


Рис. 2. Температурные профили радиационно-термических процессов в системе $TiC_{0.4}$ -H: (кр. 1 и 2 – РТС, стрелками на кр. 1 и 2 (пунктир) указаны моменты отключения пучка; кр. 3 – "калибровка" $TiC_{0.4}$ в вакууме, кр. 4 – "калибровка" карбогидрида в водороде).

Еще более ярко проявляется влияние пучка ускоренных электронов при предварительном облучении нестехиометрических карбидов титана и циркония в вакууме. После остывания облученных образцов $TiC_{0,4}$ и $ZrC_{0,4}$ до $40\text{-}60^{\circ}\text{C}$ в камеру подавался водород, и начиналось экзотермическое взаимодействие указанных карбидов с водородом. В результате в режиме холодного синтеза формировались $\Gamma\Pi \text{У}$ и $\Gamma \text{Ц} \text{K}$ карбогидридные фазы титана и циркония.

Радиационно-термические процессы в системе интерметаллид - водород

Исследование процесса формирования гидридов ИМС под воздействием пучка ускоренных электронов является важной и интересной задачей, поскольку в настоящее время актуально исследование абсорбционной емкости и кинетических характеристик ИМС при легировании их матриц, а также влияние внешних воздействий на водородоемкость ИМС.

Исходные интерметаллиды $Ti_2Co;$ $Zr_2Ni;$ ZrNi были нами синтезированы в режиме горения (методом CBC) [7,8].

Было установлено, что в системах Ti_2Co-H , Zr_2Ni-H , ZrNi-H реализуется радиационно-термический синтез с образованием гидридов интерметаллидов. Эксперименты показали, что система $Me-Me^1$ по сравнению с бинарными системами Me-H более "чувствительна" к

внешнему воздействию, и процесс РТС возможен при более низких мощностях доз (до 0,025 *Мрад/с*). Характерной особенностью СВС процессов в системе интерметаллид-водород, в отличие от металлов IV группы, являются низкие температуры горения (250-550°С) [7,8]. Эта особенность сказалась и при взаимодействии указанных интерметаллидов с водородом при облучении (РТС).

Однако воздействие пучков электронов высоких мощностей на металлическую матрицу интерметаллидов в атмосфере водорода понижает абсорбционные свойства. Проследим это явление на примере системы Zr_2Ni-H_2 . Для интерметаллида Zr_2Ni в условиях СВС были подобраны оптимальные условия гидрирования — низкие давления водорода 1-3 atm, и дисперсность 0,3-1,5 m, когда единственный продукт взаимодействия — фаза Zr_2NiH_{5-x} . В радиационных экспериментах эти требования также соблюдались. Результаты радиационно-термического синтеза (РТС) для системы Zr_2Ni-H_2 приведены в табл. 3.

Таблица 3

Мощность дозы, <i>Мрад</i> / <i>с</i>	Доза, <i>Мрад</i>	Т _{нач.} , ∘С	T _{max} , ∘C	Конц-ия водорода в продукте, <i>масс.%</i>	Фазовый состав
0,6	100	255	550	1,79	Zr_2NiH_{5-x}
0,4	100	220	542	1,63	- " -
0,2	100	230	462	1,47	_ " _
0,1	11	110	472	1,86	_ " _
0,05	12	85	423	1,91	- " -
0,025	15	55	435	1,85	_ " _
0,025	9	55	330	1,82	_ " _

Интересно, что указанные в таблице температуры относительно высокие. В режиме СВС это соответствовало бы процессу гидрогенолиза (распада исходной матрицы ИМС на другой интерметаллид ZrNi и гидрид циркония). Тем не менее, в условиях облучения формируется лишь фаза гидрида интерметаллида $Zr2NiH_{5-x}$ (тетрагональная, a=6,860; c=5,657).

Следует отметить, что концентрация водорода у продуктов, поглотивших большие дозы радиации (100~Mpaz), ниже по сравнению с продуктами, поглотившими меньшие дозы радиации. Наиболее вероятной причиной этого следует считать гибель (отжиг) части радиационных дефектов, в результате чего понижается абсорбция H_2 интерметаллидом.

Аналогично вышеприведенным системам Me-N-H и Me-C-H, в системе интерметаллид-H₂ также наблюдалось явление холодного синтеза. Условия проведения экспериментов по XC приведены в табл. 4. Температурный диапазон радиационного разогрева ИМС находился в пределах 360-825°C. Холодный синтез начинается при подаче водорода после охлаждении образцов не ниже 40°C. Регистрируемые максимальные температуры,

развиваемые при этом, так же как в CBC, порядка 100-650°С. Установлено, что относительно высокие мощности дозы предварительного облучения в вакууме способствуют формированию фаз с большими концентрациями водорода.

Из таблицы видно, что в режиме XC предварительное облучение ИМС в вакууме при указанных мощностях дозы способствовало формированию более богатых водородом гидридов, тогда как в условиях РТС абсорбционные свойства ИМС оказались несколько ниже.

Особенности образования радиационных дефектов для ИМС особенно ярко проявились в экспериментах, которые проводились по следующей схеме: при облучении в вакууме, когда температура образцов стабилизировалась и больше не росла, пучок отключался, и в камеру подавался водород $(1,0-1,3\ arm)$. Температуры радиационного разогрева и контакта с водородом (T_{κ}) для каждой мощности дозы, максимальные температуры реакции гидрирования и концентрация водорода в продукте для системы Zr_2N_i -H приведены в табл. 5.

Реакция взаимодействия с водородом непосредственно после облучения начинается с весьма низких температур, не характерных для данной системы (с 45°С). При этом нижний порог радиационной активации металлической матрицы понизился в этих условиях до 0,007 *Мрад*/*с*, дозы облучения здесь также малы. Концентрация водорода в полученных продуктах стабильно высока (не менее 1,90%).

Синтезированные гидриды имеют следующие структурные характеристики: структура Ti_2CoH_3 – кубическая (ГЦК, a=11,89Å); Zr_2NiH_5 – тетрагональная (a=6,86Å; c=5,657Å); Zr_1NiH_3 – орторомбическая a=3,501Å; b=10.465E; c=4,30E). Отражения пиков на дифрактограммах синтезированных продуктов уширены, что, по-видимому, говорит о наноразмерности полученных продуктов. Приведенные данные подтверждают первоначальные предположения о различиях в природе и стабильности радиационных дефектов исследуемых систем в сравнении с чистыми металлами.

Т аблица 4

			Темп	Сод.			
ИМС	Мощность дозы, <i>Мрад</i> / <i>с</i>	Доза, <i>Мрад</i>	радиационного разогрева	подачи водорода	"холодного синтеза"	водорода в гидриде, % масс.	Формула гидрида*
	С	BC (1 -	3 атм)	$T_{\text{rop.}} = 1$	20 - 300°C	1,70	Ti ₂ CoH _{3-x}
	0,3	48	535	70	235	1,48	Ti ₂ CoH ₃ .
Ti ₂ Co	0,6	90	825	40	207	1,90	Ti ₂ CoH ₃ .
	1,0	80	780	60	132	1,79	Ti ₂ CoH ₃ .
	С	BC (1 -	3 атм)	Trop.= 180 - 310°C		1,90	Zr ₂ NiH _{5-x}
	0,1	100	365	100	623	1,91	Zr ₂ NiH _{5-x}
Zr ₂ Ni	0,2	100	360	40	465	1,91	Zr_2NiH_{5-x}
	0,4 10		510	100	640	1,90	Zr ₂ NiH _{5-x}
	0,6	100	710	100	596	1,96	Zr_2NiH_{5-x}
	С	BC (1 -	3 атм)	Trop.= 180 - 450°C		1,96	ZrNiH _{3-x}
ZrNi	0,5	95	620	355	395	1,69	ZrNiH _{3-x}
	0,7	95	825	160	210	1,96	ZrNiH _{3-x}

^{*-}x < 0.5

Таблица 5

Мощность дозы, <i>Мрад/с</i>	Доза, <i>Мрад</i>	T ем π -ра контакта с водородом, $T_{\kappa, \circ}$ С	Максимальная температура реакции, ∘С	Конц-ия водорода в продукте, <i>масс.%</i>	Формула гидрида
0,2	54	440	640	2,03	$Zr_2NiH_{5.00}$
0,1	27	275	550	1,97	$\mathrm{Zr_{2}NiH_{4.86}}$
0,05	13.5	180	580	2,02	$Zr_2NiH_{5.00}$
0,025	7.0	95	523	1,92	Zr ₂ NiH _{4.75}
0,0125	3.87	70	510	1,94	$\mathrm{Zr_{2}NiH_{4.78}}$
0,007	2.9	45	340	1,95	$\mathrm{Zr_{2}NiH_{4.85}}$

Таким образом, впервые изучены радиационно-термические процессы в системах Me-N-H, Me-C-H, Me-Me¹-H. Синтезированы гидридонитриды и карбогидриды титана, циркония, гидриды интерметаллидов Ті2СоН3, Zr2NiH₅, ZrNiH₃. Показано, что радиационно-термический синтез в сложных водородсодержащих системах происходит в режиме теплового взрыва; механизм взаимодействия и закономерности протекания РТС идентичны для систем Me-H, MeN_x-H и MeC_x-H, Me-Me¹-H. Обнаружена возможность "холодного синтеза", т.е. экзотермического взаимодействия предварительно облученных в вакууме образцов – твердых растворов азота в титане и цирконии, нестехиометрических карбидов титана и циркония и их интерметаллидов – с водородом при низких температурах. Установлены оптимальные параметры облучения, приводящие металлы и сплавы в такие энергетические состояния, когда реализуются радиационно-термический и холодный синтез. В сложных углерод-, либо азотсодержащих системах реакция холодного синтеза реализуется при предварительном облучении мощностями дозы – 0,025 и 0,05 Мрад/с; соответственный нижний порог реализации холодного синтеза в системах Zr-H и Ti-H в 10 раз выше – 0,2 Мрад/с. Можно предположить, что в промежуточных фазах на базе переходных металлов (твердые растворы, нестехиометрические карбиды, интерметаллиды) генерация дефектов и, как следствие, химическая активация в отношении водорода возможны при значительно более низких дозах радиации.

Работа выполнена при финансовой поддержке Международного научно-технического центра – проект А-192.

ՌԱԴԻԱՑԻՈՆ-ԹԵՐՄԻԿ ՊՐՈՑԵՄՆԵՐԸ ՋՐԱԾԻՆ ՊԱՐՈՒՆԱԿՈՂ ԵՌԿՈՄՊՈՆԵՆՏ ՀԱՄԱԿԱՐԳԵՐՈՒՄ

Ա. Գ. ԱԼԵՔՍԱՆՑԱՆ, Ն. Ն. ԱՂԱՋԱՆՑԱՆ, Հ. Գ. ՀԱԿՈԲՑԱՆ, Ս. Կ. ԴՈԼՈՒԽԱՆՑԱՆ, Վ. Շ. ՇԵԽՏՄԱՆ, Խ. Ս. ՀԱՐՈՒԹՅՈՒՆՅԱՆ, Կ. Ա. ԱԲՐԱՀԱՄՅԱՆ, Վ. Ս. ՀԱՅՐԱՊԵՏՅԱՆ, Օ. Պ. ՏԵՐ-ԳԱԼՍՏՅԱՆ և Ն. Լ. ՄՆԱՅԱԿԱՆՅԱՆ

Հետազոտվել են Me-N-H, Me-C-H և Me-Me¹-H (Me-Ti, Zr, Hf; Me¹-Co, Ni) տիպի բարդ համակարգերում ռադիացիոն-թերմիկ պրոցեսները արագացված էլեկտրոնալին փնջի ազդեցության տակ։ Հաստատվել է տիտանի և ցիրկոնիումի հիդրիդոնիտրիդների և կարբոհիդրիդների, ինչպես նաև ինտերմետաղական հիդրիդների ռադիացիոն-թերմիկ սինթեզի (ՌԹՍ) սկզբունքային հնարավորությունը։ Ցույց է տրված, որ IV խմբի մետաղների հիմքով ազոտի պինդ լուծույթների և ոչ ստեխիոմետրիկ կարբիդների փոխազդեցությունը ջրածնի հետ տեղի է ունենում արագացված էլեկտրոնային փնջով հարուցված էկզոթերմիկ ռեակցիայի հետևանքով պայթյունին անալոգ)։ Որոշվել են ՌԹՍ-ի օրինաչափությունները։ ՌԹՍ ռեժիմում ստացված հիդրիդոնիտրիդների ստրուկտուրան նույնն է, ինչ վաղօրոք ԲԻՍ ռեժիմում սինթեզված հեքսագոնալ ստրուկտուրալով միացություններինը։ ՌԹՍ-ի ռեժիմում ձևավորվում են հիմնականում երկֆազ հեքսագոնալ և խորանարդային ստրուկտուրայով կարբոհիդրիդներ։ Նշված համակերգերում հայտնագործվել հիդրիդոնիտրիդների, կարբոհիդրիդների lı ինտերմետաղական հիդրիդների "սառը սինթեցի" երևույթը։ Ցույց է տրված պրոցեսի բնութագրերի և վերջնանյութերի վրա էլեկտրոնային փնջի ընդհանուր դոզայի և դոզայի հզորության ազդեցությունը։

THERMAL-RADIATION PROCESSES IN THE TERNARY HYDROGEN CONTAINING SYSTEMS

A. G. ALEKSANYAN, N. N. AGHAJANYAN, H. G. HAKOBYAN, S. K. DOLUKHANYAN, V. Sh. SHEKHTMAN, Kh. S. HARUTYUNYAN, K. A. ABRAHAMYAN, V. S. HAYRAPETYAN, O. P. TER-GALSTYAN and N. L. MNATSAKANYAN

The thermal-radiation processes in the ternary systems such as Me-N-H, Me-C-H and Me-Me¹-H (Me-Ti, Zr, Hf; Me¹-Co, Ni) are studied under the action of accelerated electron beam (LAE-5). The working parameters of the accelerator are: 4 MeV, mean current $-150 \, mA$.

The principial possibility of thermal-radiation synthesis (TRS) of hydridonitrides and carbohydrides of titanium and zirconium, as well as of intermetallic hydrides is established.

It is shown, that the interaction solid solutions of nitrogen and non-stoichiometric carbides on the basis of IV group metals with hydrogen occurs (similarly thermal explosion) owing to exothermal reaction initiated by a beame of accelerated electrons.

The main regularities of the TRS process are established. The structures of hydridonitrides obtained in the mode TRS are identical to HCP structures of

compounds, before synthesized in the mode SHS. Two-phase carbohydrides with HCP and FCC structures in the mode TRS mainly are formed.

The mechanism of interaction and the reguliarities of TRS course in systems Me-H, MeN_x -H, MeC_x -H ν Me-Me¹-H are identical.

The possibility of "cold synthesis", i.e. exothermic interaction with hydrogen at low temperatures of preliminary irradiated in vacuum, samples (solid solutions of nitrogen in titanium and zirconium, non-stoichiometric carbides of titanium and zirconium and their intermetallides) is obtained. The optimal parameters of irradiation, reducing metals and alloys in such energy states when can be implemented radiation-thermal and cold synthesis are installed.

In the composite carbon- or nitrogen-containing systems the cold synthesis reaction is implemented at preliminary irradiation by dose rates -0.025 and 0.05 Mrad/sec; the corresponding lower threshold of cold synthesis implementation in systems Zr-H and Ti-H is 10 times higher, 0.2 Mrad/sec.

From the carried out researches follows, that in intermediate phases on the basis of transition metals (solid solutions, nonstoichiometric carbides, intermetallides) the generation of defects and, as a consequence, the chemical activation related to hydrogen, are possible at considerably less doses of radiation.

The work is performed at financial support of International Science and Technology Centre, Project A - 192.

ЛИТЕРАТУРА

- [1] Ковальченко М.С., Огородников В.В. Радиационное повреждение тугоплавких соединений. М., Атомиздат, 1979, с. 160.
- [2] Долуханян С.К., Шехтман В.Ш., Арутюнян Х.С., Агаджанян Н.Н., Алексанян А.Г., Акопян А.Г., Абрамян К.А., Айрапетян В.С., Тер-Галстян О.П., Мнацаканян Н.Л. // Хим. ж. Армении, 2001, т. 54, №3-4, с.
- [3] Долуханян С.К., Алексанян А.Г.,Сейранян Г.Б., Агаджанян Н.Н., Налбандян А.Б. // ДАН СССР, 1984, т. 276, №1, с. 131.
- [4] Долуханян С.К., Алексанян А.Г., Налбандян А.Б., Мержанов А.Г. // Φ ГВ, 1985, № 3, с. 73.
- [5] Мартиросян Н.А., Долуханян С.К., Мержанов А.Г. // ФГВ, 1981, №4, с. 24.
- [6] Мартиросян Н.А., Долуханян С.К., Мержанов А.Г. // ФГВ, 1985, № 5, с. 53.
- [7] *Акопян А.Г., Долуханян С.К., Карапетян А.К., Мержанов А.Г.* // Изв.АН СССР, С. "Неорганические материалы", 1983, т. 19, № 6, с. 881.
- [8] Долуханян С.К., Каримян Р.А., Акопян А.Г., Мержанов А.Г. // Ж.НХ, 1983, т. 28, № 5, с. 1101.

ՀԱՅԱՍՏԱՆԻ ՀԱՆՐԱՊԵՏՈՒԹՅԱՆ ԳԻՏՈՒԹՅՈՒՆՆԵՐԻ ԱԶԳԱՅԻՆ ԱԿԱԴԵՄԻԱ

НАЦИОНАЛЬНАЯ АКАДЕМИЯ НАУК РЕСПУБЛИКИ АРМЕНИЯ

Հայաստանի քիմիական հանդես 55, №1-2, 2002 Химический журнал Армении

УДК 541.15

НЕКОТОРЫЕ ВОПРОСЫ ТЕОРИИ ФРОНТАЛЬНОЙ ПОЛИМЕРИЗАЦИИ КРИСТАЛЛИЧЕСКИХ МОНОМЕРОВ В ПРОТОЧНОМ ТРУБЧАТОМ РЕАКТОРЕ

Д. С. ДАВТЯН, Л. С. МАНУКЯН, А. О. ТОНОЯН и С. П. ДАВТЯН

Государственный инженерный университет Армении, Ереван

Поступило 30 XII 2001

Осуществлена двумерная постановка твердофазной фронтальной полимеризации кристаллических мономеров в трубчатых реакторах непрерывного действия с учетом диссипации энергии при сухом трении образовавшегося полимера со стенками реактора. На основе анализа результатов численного счета показано, что в зависимости от температуры потока и стенок реактора наблюдается слияние или разделение полимеризационно-кристаллизационных тепловых волн.

Варьирование температур потока и стенок реактора показывает, что для разделенных тепловых автоволн наблюдаются два разных типа потери устойчивости, связанных с плавлением кристаллического полимера и с теплоотдачей из зоны реакции в окружающую среду. Потеря устойчивости стационарных тепловых волн наблюдается при изменении коэффициента теплопроводности и плотности образовавшегося полимера.

Сухое трение кристаллического полимера со стенками реактора приводит к диссипативному тепловыделению, при скоростях потока 8-10 раз превышающих скорость распространения фронта.

Рис. 9, библ. ссылок 22.

Фронтальная полимеризация жидких мономеров в непрерывных трубчатых реакторах, как правило, сопровождается налипанием сильновязкой полимерной массы к стенкам, что приводит к образованию градиента скоростей течения по радиусу реактора и, вследствие этого, к формированию сильно вытянутой струи мономерной жидкости [1], которая дойдя до конца реактора, покидает его, не прореагировав.

Полимеризация жидких мономеров в проточном трубчатом реакторе в общей постановке исследована также в работах [2-6], а в стационарной про-

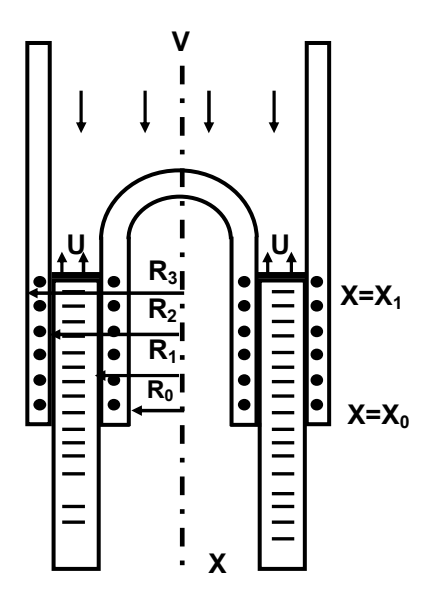
ведено усреднение по сечению реактора, температуре, глубине превращения и концентрации инициатора без учета [7] и с учетом [8] осевой теплопередачи.

Можно полагать, что образование струйных течений нивелируется, если в качестве исходных веществ используются кристаллические мономеры, поскольку в этих случаях их перемещение по каналу реактора описывается законом поршневого движения.

Особенности фронтальной полимеризации кристаллических мономеров в периодических трубчатых реакторах экспериментально изучены в ряде работ [9-17].

В работах [9,10] для процессов полимеризации кристаллических мономеров, сопровождающихся кристаллизацией образовавшегося полимера, доказаны существование и единственность тепловых автоволн. Эти работы явились стимулом для дальнейшего экспериментального исследования полимеризационно-кристаллизационных автоволн для порошкообразных мономеров [11-17].

Постановка задачи. Представляет интерес исследование тепловых режимов и особенностей фронтальной полимеризации кристаллических мономеров (акриламид, комплексы нитратов переходных металлов с акриламидом, анионная активированная полимеризация лактамов и др.) в трубчатых реакторах непрерывного действия. Схематическое изображение трубчатого реактора представлено на рис. 1.



Рисх1 Схематическое изображение трубчатого реактора фронтальной полимеризациих

Двумерное уравнение теплопроводности, описывающее распределение температуры реагирующей смеси вследствие экзотермической реакции полимеризации и кристаллизации образовавшегося полимера, может быть записано следующим образом:

$$\frac{\partial T}{\partial t} + V \frac{\partial T}{\partial x} = \frac{\chi}{r} \frac{\partial}{r} \left(r \frac{\partial T}{\partial r} \right) + \chi \frac{\partial^2 T}{\partial x^2} + \frac{Q_1}{c\rho} W_1 + \frac{Q_2}{c\rho} W_2;$$

$$R_1 \le r \le R_2; x_0 \le x \le x_1; \tag{1}$$

В уравнении (1) t, x, r – время, координаты по длине и радиусу реактора, T – температура реакционной среды, χ – коэффициент температуропроводности, ρ , c – плотность и теплоемкость, V – скорость потока, Q_1 , Q_2 – тепловые эффекты полимеризации и кристаллизации, а W_1 и W_2 – соответственно их скорости, которые определяются из следующих кинетических уравнений [19-22].

$$W_{1} = \frac{\partial \alpha}{\partial t} + V \frac{\partial \alpha}{\partial x} = k_{10} \exp \left(-\frac{E_{1}}{RT}\right) (\alpha - \varepsilon_{1}) (1 - \alpha); \tag{2}$$

$$W_{2} = \frac{\partial \eta}{\partial t} + V \frac{\partial \eta}{\partial x} = k_{10} \exp \left(-\frac{E_{2}}{RT}\right) \left[\alpha \eta_{p}(T) - \eta\right] (\eta + \varepsilon_{2}); \tag{3}$$

В уравнениях (2), (3) (, η – глубина полимеризации и кристаллизации, K_{10} , K_{20} , E_1 , E_2 – предэкспоненциальные множители и энергии активации для констант скоростей процессов полимеризации и кристаллизации, R – газовая постоянная, ε_1 , ε_2 — другие кинетические параметры [19, 22], $\eta_p(T)$ — равновесная степень кристалличности, определяемая соотношением [19, 20, 21].

$$\eta_{p}(T) = 0.54 \left(1 - \frac{\alpha(1 + \eta T) - 1}{\alpha(1 + \eta T_{pg}) - 1} \right)^{2}$$
 (4)

 $T_{\mbox{\tiny пл.}}$ – температура плавления кристаллического полимера.

К системе уравнений (1)-(4) необходимо добавить начальные и граничные условия:

$$T(t = 0, x_{0} \le x \le x_{1}) = T_{0}; \alpha = 0; \eta = 0; T(t = 0; x = x_{0}) = T_{3}$$

$$T(t = 0, x \le x \le x_{1}) = T_{M};$$

$$T(t, x_{0} \le x \le x_{1})\Big|_{\substack{R_{0} \le r \le R_{1} \\ R_{2} \le r \le R_{3}}} = T_{M}$$
(5)

$$\left. \frac{\partial T}{\partial r} \right|_{\stackrel{r=r_1}{r=r_2}} = (-1)^n \lambda_n (T-T_{_M}); \ n=1 \ \text{при } T > T_{_M}; \ n=2 \ \text{при } T_{_M} > T$$

где λ – коэффициент теплоотдачи

$$r = R_1; \lambda_2 \frac{\partial T_M}{\partial r} \bigg|_{R_{-}} = \lambda_1 \frac{\partial T}{\partial r} \bigg|_{R_{-}}; T_M \bigg|_{R_{1^+}} = T \bigg|_{R_{1^-}}$$
(6)

$$r = R_2; \lambda_2 \frac{\partial T_{M}}{\partial r} \bigg|_{R_{2^{-}}} = \lambda_1 \frac{\partial T}{\partial r} \bigg|_{R_{2^{+}}}; T_{M} \bigg|_{R_{2^{-}}} = T \bigg|_{R_{2^{+}}}$$
(7)

Система уравнений (1)-(4) с начальными граничными условиями (5)-(7) описывает фронтальную полимеризацию в трубчатом реакторе без учета сухого трения кристаллического твердого полимера с металлическими стенками реактора. Для учета диссипативного тепловыделения при сухом трении необходимо учитывать, что сила трения (F_{TP}) равна:

$$F_{_{Tp}} = k \cdot P \cdot S \cdot V_{_{e}}$$

Здесь к — коэффициент сухого трения, P — давление, S — площадь поверхности контакта кристаллического полимера со стенками реактора, V_e — единичный вектор, указывающий направление.

Диссипативное тепловыделение за счет сухого трения равно:

$$q_{\tau p} = \frac{F_{\tau p}}{S} \cdot V, \qquad (8)$$

где V – скорость движения твердого полимера.

С учетом (8) для величины удельного потока тепла получим

$$q_{TD} = k \cdot P \cdot V. \tag{8}$$

Коэффициент сухого трения зависит от степени кристалличности по линейному закону, поэтому, принимая $\mathbf{k} = \mathbf{k}_{\tau p} \cdot \boldsymbol{\eta}(\mathsf{T})$, выражение (8) окончательно перепишем в виде:

$$q_{\tau p} = k_{\tau p} \cdot P \cdot V \cdot \eta(T)$$

Скорость движения кристаллического полимера по каналу реактора определяется величиной расхода исходных реагирующих веществ (Q), поэтому

$$V = \frac{Q}{\pi (R_2 - R_1)^2}.$$
 (9)

Теперь для учета диссипативного тепловыделения за счет сухого трения кристаллического полимера с металлическими стенками реактора уравнение (1) и условия (6) и (7) необходимо переписать в следующем виде:

$$\frac{\partial T}{\partial t} + \frac{Q}{\pi (R_1 - R_2)^2} \frac{\partial T}{\partial x} = \frac{\chi}{r} \frac{\partial}{\partial r} \left(r \frac{\partial T}{\partial t} \right) + \chi \frac{\partial^2 T}{\partial x^2} + \frac{Q_1}{c\rho} W_1 + \frac{Q_2}{c\rho} W_2;$$

$$R_1 \le r \le R_2; x_0 \le x \le x_1; \tag{1}$$

$$r = R_1; -\lambda_2 \frac{\partial T_{M}}{\partial r} = -\lambda_1 \frac{\partial T}{\partial r} + k_{\tau p} \cdot T \cdot V \cdot \eta(T); T_{M} \Big|_{R_1^+} = T \Big|_{R_1^-}$$
 (6)'

$$r = R_{2}; -\lambda_{2} \frac{\partial T_{M}}{\partial r} = -\lambda_{1} \frac{\partial T}{\partial r} + k_{\tau p} \cdot T \cdot V \cdot \eta(T); T_{M} \Big|_{R_{2}^{-}} = T_{1} \Big|_{R_{2}^{+}}$$
(7)'

Таким образом проводилось численное решение двух систем дифференциальных уравнений (1)-(4) с условиями (5)-(7) и (1)', (2)-(4) с условиями (5), (6)', (7)' соответственно без и с учетом диссипативного тепловыделения. При решении задачи варьировались температура потока, величина расхода, температура стенок реактора, теплофизические характеристики и коэффициент трения.

Обсуждение результатов численного счета (q_{тр}=0). Численный счет системы (1)-(7) показал, что в ходе фронтальной полимеризации кристаллических мономеров реализуются два основных режима — совмещенный автоволновой тепловой режим полимеризации и кристаллизации, когда процессы полимеризации и кристаллизации идут параллельно и разделены по пространству на две составляющие тепловые волны, соответствующие последовательному протеканию этих процессов.

Типичный характер выхода на стационарное состояние (рис. 2a) и распределение температуры волны (рис. 2б) показаны на рис. 2.

Варьирование температуры потока и стенок реактора показывает, что если T_0 и $T_{\text{м}}$ меняются в интервалах $T_0 \le 360$ и $360 < T_{\text{м}} \le 400 \text{K}$, то имеет место слияние полимеризационно-кристаллизационных волн.

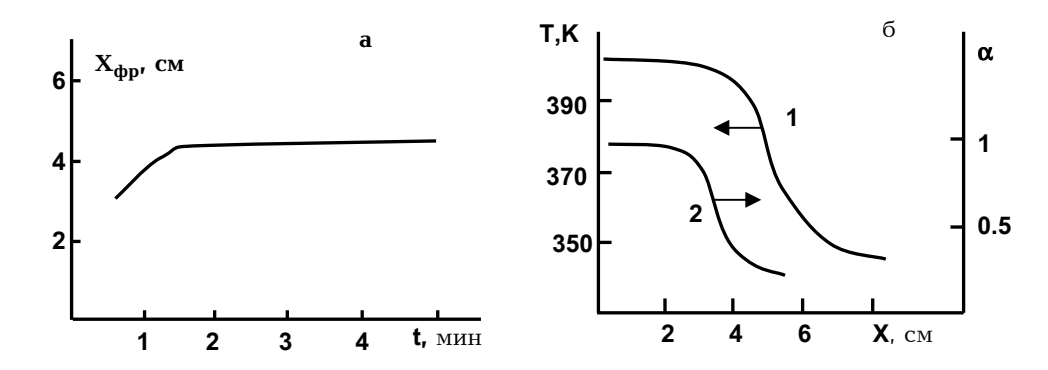


Рис.2 Зависимость координаты фронта от времени (а.) и распределение температуры (б.1) и глубины превращения (б.2) по пространству при совмещенном процессе полимеризации и кристаллизации.

Проведение фронтальной полимеризации при температурах потока и стенок реактора, превышающих 370 и 410К, соответственно происходит изменение структуры температурных профилей и теплового режима фронтальной полимеризации. Тепловая волна расщепляется на две составляющие: полимеризации (рис. 3а, кр.1) и кристаллизации (рис. 3а, кр.2).

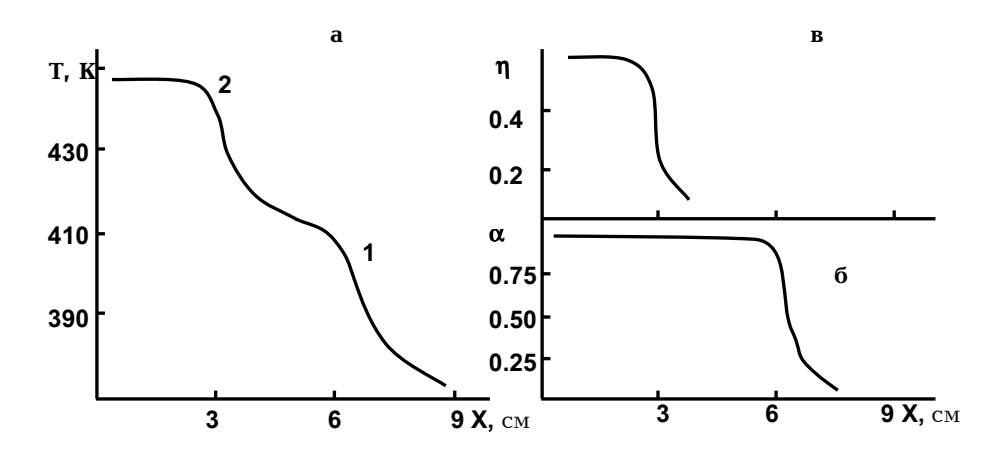


Рис.3 Распределение температуры (а.1, а.2) и глубина полимеризации (б) и кристаллизации (в) по длине реактора.

В данном случае, наподобие стадийных процессов горения [20], кристаллизационная волна распространяется по продукту полимеризации (рис. 36, в).

В стационарном режиме для разделенных по пространству тепловых волн характер распределения расплавленного и кристаллического полимеров по объему реактора (рис. 4а,б) зависит от температуры стенок

реактора (T_{M}) и максимальной температуры разогрева в зоне реакции (T_{A}). При $T_{M} < T_{A}$ более высокая температура в осевой части реактора приводит к увеличению скорости полимеризации, в то время как скорость тепловыделения за счет кристаллизации и степень кристалличности там ниже.

Скорость и степень кристалличности выше в слоях, прилегающих к стенкам реактора, т. к. здесь температура ниже. Поэтому расплавленный полимер в центральной части реактора занимает больший объем (рис. 4а). По той же причине наблюдается иная картина при $T_M > T_a$, т.е. расплавленный полимер занимает меньший объем в осевой части реактора (рис.





Рис. 4 Распределение зон расплавленного и кристаллического полимера по объему реактора.

4б). Варьирование температур потока и стенок реактора показывает, что для разделенных волн полимеризации и кристаллизации наблюдаются два разных типа потери устойчивости кристаллизационных стационарных волн.

Первый вид кратковременной потери устойчивости кристаллических автоволн имеет характер затухающих колебаний и, по всей вероятности, связан с

фазовым переходом кристаллизация-плавление. В данном случае при проведении фронтальной полимеризации кристаллических мономеров при температурах потока, когда адиабатический разогрев за счет полимеризации и кристаллизации достигает температуры плавления кристаллического полимера или же становится выше, начинается процесс эндотермического плавления, приводящий к охлаждению полимерной массы. Затем, после охлаждения, возобновляется кристаллизация, приводящая к повышению температуры. Подобное чередование процессов плавления и кристаллизации повторяется до тех пор, пока в системе не устанавливается некоторая температура, которая и определяет как местонахождение кристаллизационного фронта, так и степень кристалличности полимера.

На рис. 5 показаны зависимости координат полимеризационной (a,1) и кристаллизационной (a,2) волн для разделенных процессов. Из рис. 5а (кр. 1, 2) видно, что полимеризационная волна выходит на нормальное стационарное состояние, тогда как кристаллизационная волна до выхода на стационар колеблется около этого состояния.

Геометрическая форма для полимеризационного фронта (рис. 5б) в центральной части реактора является выпуклой, тогда как форма кристаллизационного фронта вогнута к выходу из реактора. На рис. 5б для времен

t1, t2, t3, характеризующих минимальные значения амплитуд колебания, показана динамика изменения геометрической формы кристаллического фронта. Здесь интересно, что кратковременная потеря устойчивости кристаллизационных волн не сказывается на стационарном состоянии полимеризационного фронта. В данном случае "безучастие" полимеризационной волны к колебаниям кристаллизационной волны объясняется удалением зоны кристаллизации от зоны полимеризации за счет плавления кристаллического полимера в осевой части реактора.

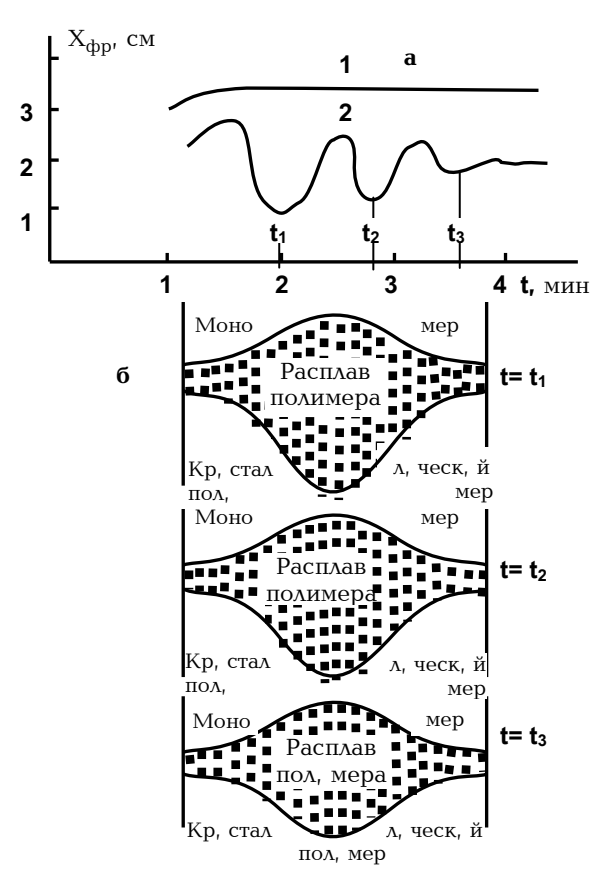
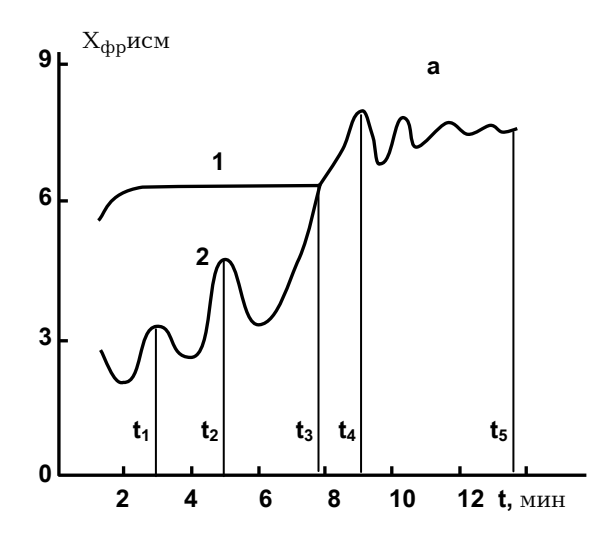


Рис.5 Зависимость координаты полимеризации (a1) и крис2аллизации (a2). Динамика изменения крис2аллического полимера в разные в ремена я (б). я я

Уменьшение температуры стенок реактора ниже 410К также приводит к возникновению колебательных режимов. Но в данном случае, в отличие от предыдущего, потеря устойчивости стационарного кристаллического фронта обусловлена теплопотерями из зоны кристаллизации.

При температурах стенок реактора 405 и потока 380К в системе возникают колебания кристаллической волны (рис. 6а,б), которые постепенно сокращают расстояние между полимеризационными и кристаллизационными волнами и в итоге, как это видно из рис. 6б,

происходит их слияние. Слияние волн приводит к стабилизации волнового процесса и система переходит к совмещенному полимеризационно-кристаллизационному стационарному фронту.



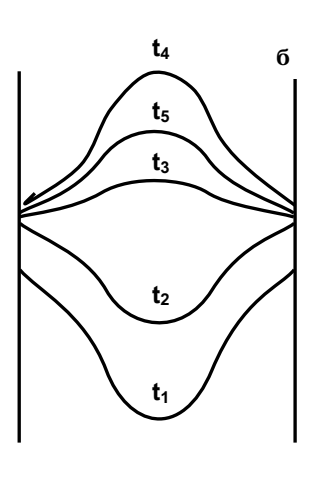


Рис. 6 Зависимость $X_{\varphi p}$ от времени (а) для полимеризации (1) и кристаллизации (2) и динамика изменения зоны кристаллизации (6).

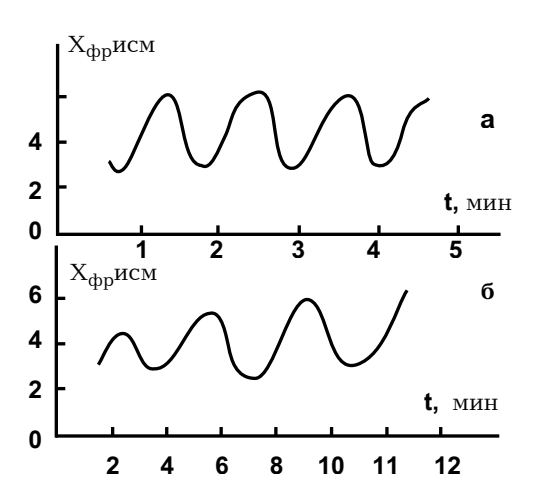


Рис.7 $_{\rm SB}$ лияние $_{\rm SE}$ емпера $_{\rm SE}$ уры $_{\rm SE}$ сенок $_{\rm SE}$ етора и потока на характер колебани х а - $_{\rm ST}$ 0 $_{\rm SE}$ = $_{\rm SE}$ 360 $_{\rm K}$: $_{\rm ST}$ 0 $_{\rm SE}$ = $_{\rm SE}$ 360 $_{\rm K}$: $_{\rm ST}$ 0 $_{\rm SE}$ = $_{\rm SE}$ 350 $_{\rm K}$: $_{\rm SE}$

Уменьшение температур стенок до 350 и потока 360К приводит к потере устойчивости совмещенного полимеризационно-кристаллизационного фронта в виде периодических колебаний (рис. 7a). дальнейшем уменьшении температуры стенок реактора характер колебания меняется, возрастает амплитуда колебания (рис. 7б). С каждым периодом колебаний волна приближается к выходу из амплитуда реактора и, когда колебания волны доходит до конца реактора, полимеризационно-кристаллизационная

волна безвозвратно выносится из реактора, что приводит к прекращению процесса полимеризации.

Неожиданные результаты были получены при варьировании теплофизических

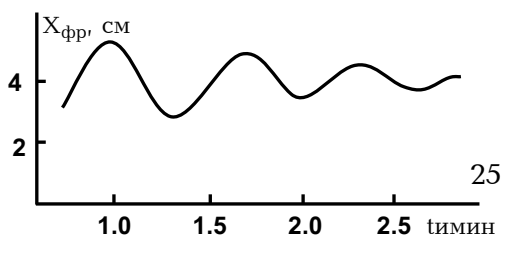


Рис. 8 Автоколебательный режим

характеристик плотности и коэффициента теплопроводности. Изменение ρ и λ по ходу численного счета проводилось следующим образом: изначально задавались определенные значения параметров ρ и λ , характерные для кристаллических мономеров. Затем, когда степень кристалличности полимера на волне полимеризации достигала 10%, численный счет продолжался уже до конца процесса с новыми значениями ρ и λ , превышающими их прежние значения. Интервал изменения отношений $\frac{\rho_1}{\rho}$ и $\frac{\lambda_1}{\lambda}$ составлял 1 - 1,2 и 1 - 1,4, соответственно. Здесь ρ , λ , λ_1 , ρ_1 -

ллотности и коэффициенты для аморфного и кристаллического полимера.

Оказалось, что, начиная со значений $\frac{\rho_1}{\rho} =$ 1,05 и $\frac{\lambda_1}{\lambda} =$ 1,2 , наблюдается

потеря устойчивости стационарных совмещенных полимеризационнокристаллизационных автоволн. На рис. 8 показано установление стационарного состояния при скачкообразном изменении плотности и коэф-

фициента теплопроводности. Дальнейшее увеличение отношения $\frac{\rho_1}{\rho}$ и

 $\frac{\lambda_I}{\lambda}$ не сказывается на характере колебания, а лишь действует на его частоту и амплитуду.

Для разделенных фронтальных режимов полимеризации и кристаллизации также задавались различные значения плотности и коэффициента теплопроводности для процессов полимеризации и кристаллизации. Однако в данном случае, в отличие от предыдущего, сразу же после завершения процесса кристаллизации задавались другие значения ρ и λ . Оказалось, что изменение значений ρ_1 и λ_1 в разумных пределах не влияет на стационарное состояние кристаллизационных автоволн, а лишь действует на расстояние между разделенными волнами. Влияние λ_1/λ при постоянстве ρ на расстояние между полимеризационным и кристаллизационным волнами показано на рис. 9.

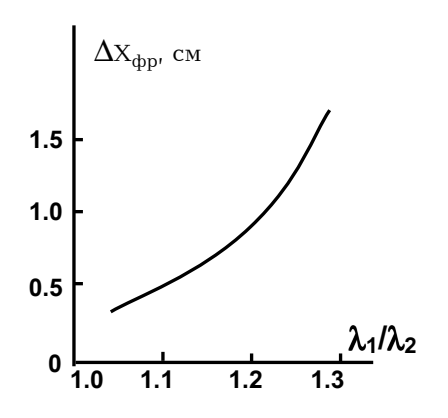


Рис.9я Влияниея отношенияя λ_1/λ_2 я наяя 2ℓ расс2ояниея междуя полимеризационнымя ия крис2аллизационным фрон2ами.

Учет сухого трения.

Для процессов фронтальной полимеризации (радикальная, ионная, поликонденсация) скорость распространения меняется от 0,5 до 3 *см/мин*. Поэтому при численном решении системы (1)', (2) - (3) с начальными и граничными условиями (5), (6)', (7)' скорость передви-

жения исходной реагирующей смеси и продуктов реакции по каналу трубчатого реактора варьировали в указанных пределах. Однако результаты численного счета показали, что при реальных значениях коэффициента сухого трения кристаллического Со-содержащего металлокомплексного мономера с металлической поверхностью и при значениях скорости перемещения полимера по каналу трубы 0,5-3 см/мин практически не наблюдается диссипативного тепловыделения. Этот результат позволяет считать, что наличие сухого трения не влияет на результаты, полученные в предыдущем параграфе. Варьирование величины $q_{\text{тр}}$ показало, что лишь при значениях, в 8-10 раз превышающих реальное значение коэффициента сухого трения в прилегающих к стенкам слоях реактора, происходит плавление кристаллического полимера из-за диссипативного тепловыделения. Образование расплавленного полимера у стенок реактора толщиной 0,4-0,6 мм не влияет на фронтальные тепловые режимы совмещенных процессов полимеризации и кристаллизации.

ՀՈՍՔԱՅԻՆ ԽՈՂՈՎԱԿԱՅԻՆ ՌԵԱԿՏՈՐՈՒՄ ԲՅՈՒՐԵՂԱԿԱՆ ՄՈՆՈՄԵՐՆԵՐԻ ՖՐՈՆՏԱԼ ՊՈԼԻՄԵՐԱՑՄԱՆ ՏԵՍՈՒԹՅԱՆ ՈՐՈՇ ՀԱՐՑԵՐ

Դ. Ս. ԴԱՎԹՅԱՆ, Լ. Ս. ՄԱՆՈՒԿՅԱՆ, Ա. Հ. ՏՈՆՈՅԱՆ և Ս. Ղ. ԴԱՎԹՅԱՆ

Աընդահատ գործողության խողովակային ռեակտորներում, հաշվի առնելով առաջացած պոլիմերի էներգիայի դիսիպացիան ռեակտորի պատերի հետ չոր շփման ժամանակ, իրականացված է ֆրոնտալ պոլիմերացման երկչափ խնդրի դրվածքը։ Թվային հաշվարկների արդյունքների վերլուծության հիման վրա ցույց է տրված, որ կախված հոսքի և ռեակտորի պատերի ջերմաստիձանից դիտվում է պոլիմերացման-բյուրեղացման ջերմային ալիքների միաձուլում կամ տարանջատում։

Ռեակտորի պատերի և հոսքի ջերմաստիձանների փոփոխությունը ցույց է տվել, որ տարանջատված ջերմային ալիքների համար դիտվում են կայունության կորստի երկու տարբեր ձևեր՝ կախված բյուրեղական պոլիմերի հալման և ռեակցիոն զոնայից դեպի շրջապատող միջավայր ջերմային կորուստի հետ։ Մտացիոնար ջերմային ալիքների կայունության կորուստ դիտվուոմ է նաև առաջացած պոլիմերի ջերմահաղորդականության գործակցի և խտության փոփոխման դեպքում։

Բյուրեղական պոլիմերի չոր շփումը ռեակտորի պատերի հետ բերում է դիսիպատիվ ջերմանջատմանը միայն այն դեպքում, երբ հոսքի արագությունը 8-10 անգամ գերազանցում է ֆրոնտի արագությանը։

SOME PROBLEMS OF THE THEORY OF FRONTAL POLIMERIZATION OF CRYSTALLIC MONOMERS IN FLOWING PIPE REACTOR

D. S. DAVTYAN, L. S. MANUKYAN, A.H. TONOYAN and S. P. DAVTYAN

A 2-dimensional solid phase frontal polymerization of crystallic monomers in continuous flowing pipe reactors, taking into account energy dissipation at dry friction of the obtained polymer with reactor walls. Basing on the numerical analysis of the results, it is shown polymerization-crystallization thermal waves either merge or split, depending on the flow and walls' temperature.

The variation of walls' and flow temperature reveals that for split thermal autowaves two types of stability loss are observed, related to melting of the crystallic polymer or convective heat transfer from reaction zone to surrounding medium. The stability loss of stationary thermal waves is observed in case of changes in heat conductivity factor and density of the obtained polymer.

The dry friction of crystallic polymer with reactor walls results in dissipative heat release at flow velocitices 8-10 exceeding that of the front.

ЛИТЕРАТУРА

- [1] *Бостанджиян С.А., Боярченко В.И., Жирков П.В., Зиненко Ж.А.* // Ж. прикл. мех. и теорет. физики, 1979, №1, с.130.
- [2] Ваганов Д.А. // Ж. прикл. мех. и теорет. физики, 1977, №1, с.114.
- [3] Бутаков А.А., Зенин А.М. // Физика горения и взрыва, 1978, №5, с.191.
- [4] Бутаков А.А., Максимов Э.И. // ДАН СССР, 1973, т.209, №3, с.643.
- [5] *Максимов Э.И., Смирнов Л.П.* // Критические явления распространения фронта при полимеризации. В сб. "Горение и взрыв". Материалы IV Всесоюзного симпозиума по горению и взрыву. М., Наука, 1977, с.164.
- [6] *Максимов Э.И.* Закономерности процессов в реакторе вытеснения с учетом продольного переноса и боковых теплопотерь. Препринт ОИХФ АН СССР, Черноголовка 1977.
- [7] Жирков П.В., Боярченко В.И., Бостанджиян С.А. // Квазистационарный подход к задаче о тепловом взрыве при течении реагирующих сред. В сб. "Горение и взрыв". Материалы IV Всесоюзного симпозиума по горению и взрыву. М., Наука, 1977, с. 282
- [8] Жирков П.В., Бостанджиян С.А., Бояречнко В.И. // Теорет. основы хим. технологии, 1980, т.14, №5, с.702.
- [9] Вольперт В.А., Давтян С.П. // ДАН СССР, 1983. т.268, с. 62.
- [10] Вольперт В.А., Давтян С.П. // ДАН СССР, 1983, т.273, с. 1155.
- [11] *Бегишев В.П., Вольперт В.А., Давтян С.П., Малкин А.Я.* // ДАН СССР, 1984, т.279, №4, с.909.
- [12] *Вольперт В.А., Меграбова И.Н., Давтян С.П.* // Физика горения и взрыва, 1985, №4, с 46
- [13] Помогайло А.Д., Давтян С.П., Тамчак А.А., Джарджималиева Г.И. // Материалы 8-ого Всесоюзного симпозиума. "Химическая физика процессов горения и взрыва", Ташкент, 1986, с.8.
- [14] Savostyanov V.S., Kritskaya D.A., Ponomarev A.N., Pomogailo A.D. // I. Polym. Sci, P.Ch., 1994, v.32. p.1201.
- [15] *Савостянов В.С., Помогайло А.Д.,. Белов Б.С., Критская Д.А., Пономарев А.М.* // Изв. АН СССР, Серия хим., 1990, №4, с.768.

- [16] Gurtis G., Hashenko V.M. // I. Am. Chem Soc., 1996, v.118, p. 3783.
- [17] Fortenberry D.I., Pojman I.A. // j. Polym. Sci.part A: Polym. Chem., 2000, v.38, p. 1129
- [18] Кипин И.А. Автореф. дисс. "Макрокинетика кристаллизации полимеров и ее приложение к моделированию процесса получения изделий из поликапроамида" канд. физ-мат. наук, Пермь, 1984.
- [19] *Малкин А.Я., Кипин И.А., Болгов С.А., Бегишев В.П.* // Инж. физ. ж. 1984, т.46, с.124
- [20] *Бегишев В.П., Кипин И.А., Малкин А.Я.* // ВМС, серия Б, 1982, т.24, №9, с.656.
- [21] *Бегишев В.П, Кипин И.А., Андрианова З.С., Малкин А.Я.* // ВМС, серия Б., 1983, т.25, с.343.
- [22] Волкова Т.В. Автореф. дисс. "Кинетические особенности анионной активированной полимеризации α -капролактама" канд. хим. наук. М., 1982.

ՀԱՅԱՍՏԱՆԻ ՀԱՆՐԱՊԵՏՈՒԹՅԱՆ ԳԻՏՈՒԹՅՈՒՆՆԵՐԻ ԱԶԳԱՅԻՆ ԱԿԱԴԵՄԻԱ

НАЦИОНАЛЬНАЯ АКАДЕМИЯ НАУК РЕСПУБЛИКИ АРМЕНИЯ

Հшишиншић рћићшиши ћшићи 55, №1-2, 2002 Химический журнал Армении

УДК 547.437

ЗОЛЬ–ГЕЛЬ МЕТОД ПОЛУЧЕНИЯ ТОНКИХ ПЛЕНОК ЦИРКОНАТА-ТИТАНАТА СВИНЦА, ДОПИРОВАННОГО ЛАНТАНОМ

С. Г. ГРИГОРЯН, А. Л. МАНУКЯН, А. Г. АЙРАПЕТЯН, А. М. АРЗУМАНЯН, Л. Г. РАШИДЯН и А. А. ТРОЗЯН

Армянский институт прикладной химии "АРИАК", Ереван

Поступило 10 IX 1999

Предложен модифицированный метод синтеза и описана технология получения тонких пленок цирконата-титаната свинца, допированного лантаном. Для получения тонких пленок и керамических порошков применен золь-гель метод. Для получения золя в реакции Шленка в качестве лантанового прекурсора впервые успешно использован лаурат лантана, обладающий высокой совместимостью с компонентами системы Pb-Zr-Ti.

Пленки формировались на подложках сапфира с или без промежуточного слоя титаната свинца. Проведены рентгеноструктурные и термогравиметрические исследования. Показано, что полученные пленки имеют структуру перовскита. Наличие на подложке сапфира промежуточного слоя из титаната свинца меняет преимущественную ориентацию пленки.

Рис. 4, библ. ссылок 10.

Сегнетоэлектрические тонкие пленки на основе свинца $PbTiO_3$. $Pb(Zr_1 \times Ti \times D_3)$ в последние годы вызывают к себе все более пристальное внимание [1-3] как потенциально перспективные материалы для применения в пироэлектрических детекторах, электрооптических устройствах и ячейках памяти. Одним из методов улучшения селективных характеристик этих материалов является их допирование, в частности, лантаном или ниодимом [4-6].

В настоящей статье описан золь-гель метод получения тонких сегнетоэлектрических пленок титаната цирконата свинца, допированного лантаном (PLZT).

Известны методы получения тонких пленок и порошков PLZT, в которых в качестве лантансодержащего прекурсора применяются

алкоголяты или хлорид лантана. Недостатками алкоголятов лантана являются их высокая склонность к гидролизу на воздухе, малая доступность и, как следствие, высокая стоимость. Известно также, что реакция Шленка является наиболее удобной реакцией для получения комплексных алкоголятов в золь-гель методе получения тонких керамических пленок [7]. Реакция Шленка подразумевает использование ацетата двухвалентного свинца и допанта также в виде соли. При частичной замене ацетата свинца солью лантана, в связи с тем, что валентность лантана отличается от 2 и равняется 3, необходимо вводить корректировку состава по титану и соблюдения нужного стехиометрического для Применение ацетата лантана в качестве прекурсора [7] имеет недостатки, последний содержит кристаллизационную [La(CH₃COO)₃1,5H₂O] и ограниченную растворимость в метилцеллозольве.

Нами впервые предлагается использовать лаурат лантана в качестве лантанового прекурсора. Последний обладает высокой растворимостью в органических растворителях и не содержит кристаллизационную воду. $(1-n)Pb(CH_3COO)_2 + nLa(C_{11}H_{23}COO)_3 + mZr(OR)_4 + (1-m)Ti(OR)_4$

→
$$Pb_{(1-n)} La_n O_2\{[Ti(OR)_2]_{(1-m)} [Zr(OR)_2]_m\}_{1+n/4} + nCH_3COOR + (1-n)C_{11}H_{23}COOR$$

n=0.09, m=0.52

В бутанол(изобутанол) качестве среды использовали метилцеллозольв. Переход золя в гель осуществлялся частичным гидролизом золя добавлением разбавленной азотной кислоты или воды в случае использования метилцеллозольва и бутанола (изобутанола), соответственно. Стабильность синтезированных PLZT гелей значительно выше в метилцеллозольве и близка к таковой для РZТ гелей [7], поэтому все проводились использованием дальнейшие исследования c метилцеллозольва в качестве растворителя. Конечные концентрации PLZT золя составляли 0,5 М для получения пленок и 1,0 М для получения керамических порошков. Конечная концентрация для гидролизованных растворов (гелей) составляла 0,20 М.

Проведены рентгеноструктурные и термогравиметрические исследования гель-порошка $Pb_{0.91}La_{0.09}(Zr_{0.5317}Ti_{0.4908})O_3$ (PLZT). Дифференциально-термический (ДТА) и термогравиметрический (ДТГ и ТГ) анализы проведены на дериватографе "Q-1500" в температурном интервале 20-700°C со скоростью изменения температуры $10 \ rpa_{zz}/muh$ на воздухе. Для этих измерений исходная гель с содержанием сушилась на воздухе при 100°C в течение двух часов. Согласно полученным экспериментальным данным (рис. 1), в температурном интервале 100-150°C наблюдается потеря веса порядка 4-5%, что, по-видимому, обусловлено

испарением остатков растворителя. Повышение температуры позволяет выделить два процесса. Первый процесс в интервале 200-400°C связан с разложением и испарением органических веществ и сопровождается, повидимому, образованием низковалентных окислов, например Рb. Второй процесс (выше 400°C) обусловлен окислением низковалентных окислов и образованием пирохлорной фазы, а затем, при температурах 490-510°C – перовскитной фазы.

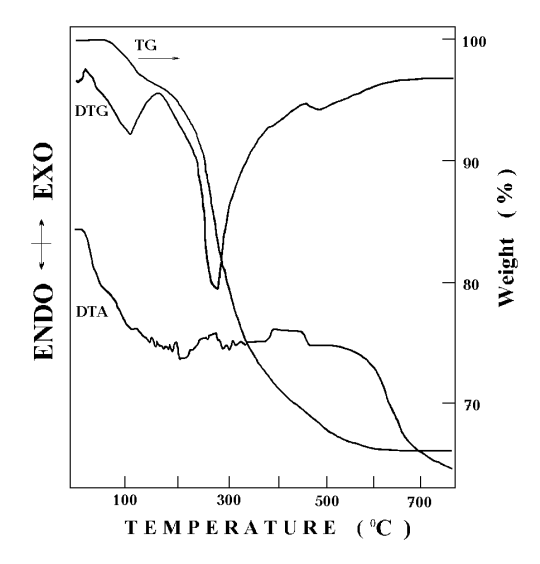


Рис. 1. ДТА, ДТГ и ТГ порошка PLZT.

Для рентгеноструктурных исследований образцы гель-порошков PLZT отжигались при 700°C на воздухе в течение двух часов. Дифрактограмма порошка PLZT представлена на рис.2.

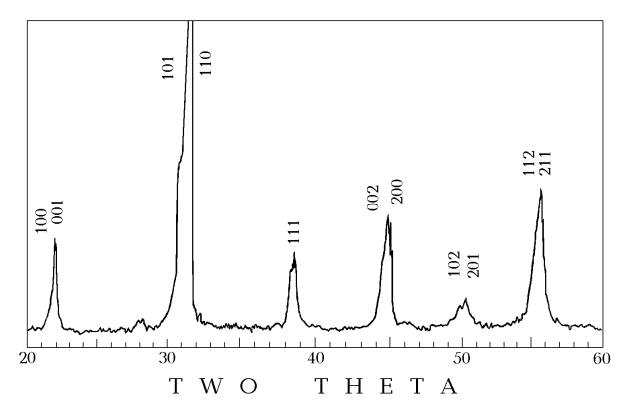


Рис. 2. Дифрактограмма порошка PLZT.

Согласно экспериментальным данным, исследуемые образцы PLZT имеют структуру перовскита и не содержат примесных фаз. Симметрия – тетрагональная класса 4 mm (сегнетоэлектрическая фаза). Рассчитанные из

дифрактограммы параметры решетки соединения PLZT следующие: a=b=3,950, c=4,035, отношение c/a-1,0215.

Пленки PLZT получали из синтезированной гели с концентрацией 0,2 моль/ π на подложках из сапфира (110). Дифрактограмма полученной пленки представлена на рис. 3. Как видно из рисунка, пленка имеет перовскитную структуру и в отличие от порошка преимущественно ориентирована в направлении (110).

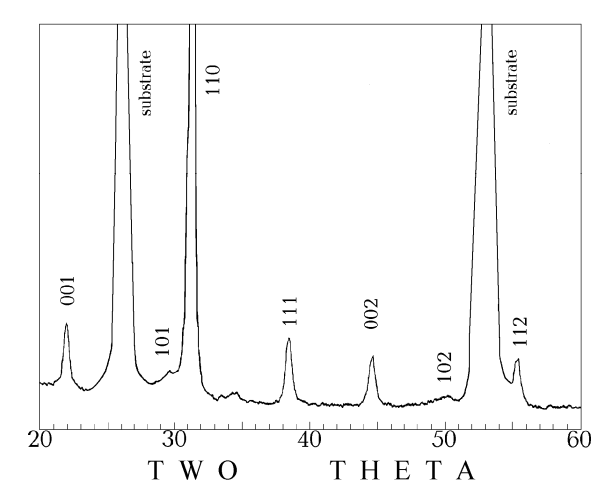


Рис.3. Дифрактограмма пленки PLZT на подложке сапфира (110).

Дифрактограмма пленки PLZT на сапфире с промежуточным слоем из титаната свинца приведена на рис. 4. При сравнении дифрактограмм (рис. 3 и 4) отчетливо видно, что наличие промежуточного слоя титаната свинца меняет преимущественную ориентацию пленки.

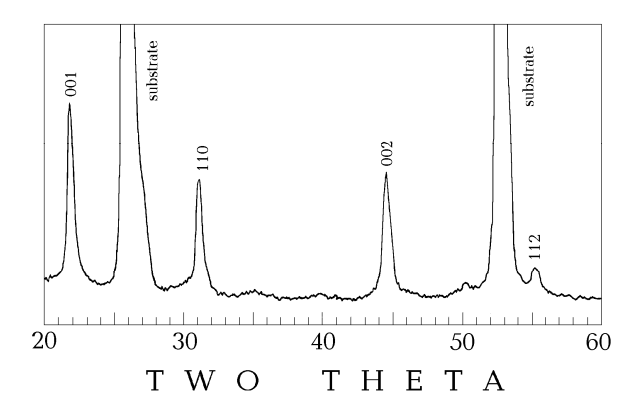


Рис.4. Дифрактограмма пленки PLZT на подложке сапфира (110) с промежуточным слоем титаната свинца.

Экспериментальная часть

Рентгеноструктурные исследования проводились на установке "ДРОН-2,0 2((CuK_l)", а термогравитаметрические – на дериватографе "Q-1500" на воздухе со скоростью нагревания 10 *град*/мин.

Лаурат лантана получали по методике Мехротры [8]. Комплексные алкоголяты циркония получали "in situ" из тетраацетилацетоната циркония по методике [9]. Изопропоксид циркония получали по методике [10].

Получение PLZT геля. 1,726 *г* (0,0045 *моля*) ацетата свинца [Pb(CH₃COO)₂(3H₂O] и 50 мл метилцеллозольва помещают в колбу с дефлегматором и добавляют 0,3312 г (0,00045 моля) лаурата лантана [La(C₁₁H₂₃COO)₃] и 20 мл метилцеллозольва. Ацетат свинца дегидратируют азеотропа метилцеллозольва с водой, затем метилцеллозольв, доводя общий объем раствора до 20 мл. Отдельно готовят раствор 0.697 г (0,00245 моля) изопропоксида титана [Ti(isoC₃H₇O)₄] в 20 мл метилцеллозольва, отгоняют метилцеллозольв, доводя объем до 10 мл, смесь охлаждают до 50°C и прибавляют 1,293 г (0,00265 моля) ацетилацетоната циркония $[Zr(C_5H_7O_2)_4]$ в 20 мл метилцеллозольва. Снова отгоняют метилцеллозольв, доводя объем до 20 мл. Второй раствор прибавляют к первому, отгоняют метилцеллозольв, доводя общий объем до 10 мл. раствор красного прозрачный цвета с концентрацией комплексного алкоголята 0,005 моля в 10 мл раствора.

Для приготовления геля берут 1 $\it m\pi$ раствора комплексного раствора и к нему прибавляют 0,144 $\it m\pi$ воды и 0,007 $\it m\pi$ азотной кислоты + 1,48 $\it m\pi$ метилцеллозольва. Смесь оставляют для "созревания" (частичного гидролиза) в течение 24 $\it u$.

Получение PLZT пленок. Исходная гель после фильтрования калибровочной пипеткой наносилась на предварительно химически очищенную подложку. Распыление гели на подложке проводилось на центрифуге со скоростью 3000 об/мин в течение 45 сек. После нанесения гели проводилась сушка при температуре 400°С на воздухе в течение 10 мин. Для достижения определенной толщины пленки вышеописанная операция повторялась 6-8 раз. Вслед за сушкой последнего нанесенного слоя пленка отжигалась в вертикальной печи с автоматическим подъемом температуры в среде кислорода при 700°С в течение 30 мин.

Порошки PLZT получались из высушенных гель-порошков отжигом на воздухе при 700°C в течение двух часов.

Настоящая работа стала возможной благодаря финансовой поддержке Национального фонда развития науки и передовых технологий-NFSAT и американского фонда CRDF. Грант АСН-008-98.

ԼԱՆԹԱՆՈՎ ԱՎԵԼԱՑՎԱԾ ԿԱՊԱՐԻ ՑԻՐԿՈՆԱՏ-ՏԻՏԱՆԱՏԻ ԲԱՐԱԿ ԹԱՂԱՆԹԻ ՍՏԱՑՈՒՄԸ ԶՈԼ-ՀԵԼ ԵՂԱՆԱԿՈՎ

Մ. Գ. ԳՐԻԳՈՐՑԱՆ, Ա. Լ. ՄԱՆՈՒԿՑԱՆ, Ա. Գ. ՀԱՅՐԱՊԵՏՑԱՆ, Ա. Մ. ԱՐՁՈՒՄԱՆՑԱՆ, Լ. Հ. ՌԱՇԻԴՑԱՆ և Ա. Հ. ՏՐՈԶՑԱՆ

Առաջարկված է լանթանով ավելացված կապարի ցիրկոնատ-տիտանատի բարակ թաղանթների ստացման տեխնոլոգիա և սինթեզի եղանակ։ Բարակ թաղանթների և կերամիկական փոշիների ստացման համար կիրառված է զոլհել եղանակը։ Զոլի ստացման համար Շլենկի ռեակցիայով լանթանային պրեկուրսորի դեպքում առաջին անգամ կիրառված է լանթանի լաուրատը։ Անցկացված են թերմոգրավիմետրիկ ուսումնասիրություններ։

SOL-GEL METHOD OF PREPARATION OF THIN FILMS OF LEAD TITANATE ZIRCONATE DOPED BY LANTHANUM

S. G. GRIGORYAN, A. L. MANUKIYAN, A. G. HAYRAPETYAN, A. M. ARZOUMANYAN, L.. H. RASHIDYAN and A. H. TROZYAN

The method of synthesis and technology of preparation of thin films of lead titanate zirconate doped by lanthanum are described. For preparation of thin films and ceramic powders sol-gel method has been applied. For preparation of the complexed alkoxide solution lanthanum laurate has been successfully used. The latter has shown high compatibility with the components of the Pb-Zr-Ti system.

The PLZT films was prepared on sapphire substrates with or without lead titanate interlayer. X-ray diffraction and thermal studies have been carried out. The films obtained showed perovskite structure. The interlayer presence changes crystallographic orientation of the films.

ЛИТЕРАТУРА

- [1] Sheppard L.M. // Ceram. Bull., 1992, v. 71, p. 85.
- [2] Scott J.F., Paz de Araujo C.A. // Scince, 1989, v. 246, p. 1400
- [3] Gnadinder F.P., Bondurant D. W. // IEEE Spectrum., 1989, v. 7, p. 30.
- [4] Dai X., Xu Z., Li J-F., Viehland D. // J. Appl. Phys., 1995, v. 77(10), p. 3354
- [5] Dai X., Xu Z., Viehland D. // J. Appl. Phys., 1995, v. 77(10), p. 5086.
- [6] Yeh M.H., Liu K.S., Ling Y.C., Wang J.P., Lin I.N. // J. Appl. Phis., 1995, v.77(10), p. 5335
- [7] Budd K.D., Dey S.K., Payne D.A. // British Ceramic Society. Proceedings. London, 1985, v.36, p. 107.
- [8] Misra S.N., Misra T.N., Mehrotra R.C. // J. Inorg. Nucl.Chem., 1964, No.7, p. 615.
- [9] Grigoryan S.G., Rashidyan L.H., Arakelova S.V., Mkrtichan N.E., Arzumanyan A.M., Manukyan A.L. // Chemical J. of Armenia, 1998, v. 51,N^o2, p.48.
- [10] Bradley D.C. // Progr. Inorg. Chem., 1960, v. 2, p. 303.

ՀԱՅԱՍՏԱՆԻ ՀԱՆՐԱՊԵՏՈՒԹՅԱՆ ԳԻՏՈՒԹՅՈՒՆՆԵՐԻ ԱԶԳԱՅԻՆ ԱԿԱԴԵՄԻԱ

НАЦИОНАЛЬНАЯ АКАДЕМИЯ НАУК РЕСПУБЛИКИ АРМЕНИЯ

Հшишиншић ррифшиши ншипћи 55, №1-2, 2002 Химический журнал Армении

УДК 541.27 + 547.711

КВАНТОВОХИМИЧЕСКОЕ ИССЛЕДОВАНИЕ МЕХАНИЗМА ПЕРЕГРУППИРОВКИ ТРИГАЛОГЕНМЕТИЛКАРБИНОЛОВ

А. В. МХИТАРЯН и А. А. АВЕТИСЯН

Ереванский государственный университет

Поступило 10 XI 1999

С помощью метода MNDO изучен механизм реакции перегруппировки тригалогенметилкарбинолов на примерах 2-пиридилтрихлорметилтрихлорметилкарбинолов. В отличие от всех других подобных карбинолов, продуктами перегруппировки которых являются о-хлоркарбоновые кислоты, бис-трихлорметилкарбинол превращается в трихлоракриловую кислоту. При этом только в данном случае стало возможным выделение промежуточного гем-дихлорэпоксида. В остальных случаях образование в ходе реакций гем-дихлорэпоксидов было лишь постулировано. Исходя из распределения зарядов на атомах эпоксидных колец 1(2-пиридил)- и 1(трихлорметил)-2,2-дихлорэтиленоксидов ранее было показано, что эти эпоксиды не могут являться ключевыми интермедиатами, на которые непосредственно идет нуклеофильная атака. Расчет заданных структур вторичных карбениевых ионов с пиридильной и трихлорметильной группами, полученными из соответствующих цвиттер-ионов, показал, что карбокатион с трихлорметильной группой существует в изомерной форме, обусловленной 1,2-переносом иона хлора от трихлорметильной группы на карбениевый центр. Образование нового карбокатиона в результате такой изомеризации является причиной аномальной перегруппировки бис-трихлорметилкарбинола. Предложенный механизм реакции перегруппировки тригалогенметилкарбинолов объясняет также 1(трихлорметил)-2,2-дигалогенэтиленоксидов относительную стабильность отношению к другим постулированным, но экспериментально не обнаруженным эпоксидам. Результаты расчетов подтверждают предположение о том, что в ходе реакций перегруппировки или нуклеофильного замещения тригалогенметилкарбинолов образуются гем-дигалогенэпоксиды. Однако лишь их последующая трансформация в цвиттер-ионы и затем в карбокатионы приводит к образованию конечных продуктов

Табл. 2, библ. ссылок 14.

Тригалогенметилкарбинолы (I) в основной среде подвергаются внутримолекулярной перегруппировке C образованием карбоновых кислот [1,2]. В результате реакций соединений I с мононуклеофилами образуются продукты дизамещения вицинального строения, а с бинуклеофилами – пяти- и шестичленные гетероциклические соединения [3-6]. Исходя из результатов этих исследований авторы полагают, что в ходе реакций образуются промежуточные гемдигалогенэпоксиды II, которые вследствие своей неустойчивости быстро изомеризуются в галогенангидриды ос-галогенкарбоновых кислот или в присутствии нуклеофилов подвергаются нуклеофильной атаке по оуглеродному атому эпоксидов (II). Такое заключение сделано на основании результатов реакций карбинолов I с 1,3- и 1,4 бинуклеофилами, свидетельствующих о региоселективности нуклеофильного замещения [5,6]. Из известны лишь 1(трихлорметил)-2,2стабильных эпоксидов II дигалогенэтиленоксиды [7,8].

Ранее [9] было рассчитано распределение зарядов на атомах 1(2-пиридил) – (III) и 1(трихлорметил)-2,2-дихлорэтиленоксидов (IV). Результаты расчетов показали, что эти эпоксиды не являются ключевыми интермедиатами, по которым непосредственно идет нуклеофильная атака, т.к. полученное распределение зарядов на атомах эпоксидных колец не может привести к факту региоселективности нуклеофильного замещения карбинолов (I). Поэтому реакции I должны классифицироваться как ступенчатые, в которых наряду с эпоксидами II участвует ряд других интермедиатов. Выбор их определяется возможностью раскрытия по связи C(1)-O(3), а также разрыва одной из связей C(2)-Cl эпоксидного кольца, приводящих к образованию цвиттер-ионов V и VI и карбокатионов VII и VIII, соответственно.

Если реакция многостадийна, выбор и описание каждого из интермедиатов могут в значительной мере прояснить ее механизм. Знание

теплот образования возможных интермедиатов, а также их геометрических строений позволяет судить о структуре переходного состояния и, следовательно, о механизме реакции.

С целью изучения механизма перегруппировки тригалогенметилкарбинолов методом MNDO [10] проведены расчеты предполагаемых интермедиатов, а также продуктов перегруппировки XIII и XIV 2-пиридилтрихлорметил- и бис-трихлорметилкарбинолов, соответственно.

Раскрытие эпоксидов III и IV по связи C(1)-O(3) приводит к образованию цвиттер-ионов V и VI, а разрыв связей C(2)-Cl(6) — к карбокатионам VII и VIII. Исследование геометрического строения этих интермедиатов показывает, что длины связей C(2)-O(3) в структурах V и VI сильно укорочены, а длины связей C(2)-Cl(6) удлинены по сравнению с соответствующими длинами связей в эпоксидах III и IV (табл.1). Индексы Вайберга [11] в V и VI для связи C(2)-O(3) соответственно равны 1,781 и 1,762, а для связи C(2)-Cl(6) — 0,611 и 0,682. В структурах VII и VIII сильно удлинены связи C(1)-O(3) и укорочена связь C(1)-C(2). Все это указывает на тенденцию перехода структур V-VIII в соответствующие карбиниевые ионы IX и X. Геометрическому строению переходных состояний для этих двух различных стадий, приводящих к структурам IX и X, должны соответствовать структуры, связанные с разрывом связей C(3)-Cl(6) и C(1)-O(3) и образованием новой связи C=O.

Несмотря на то, что значения индексов Вайберга для связи C(2)-Cl(6) в эпоксидах III и IV оказались наименьшими [9], необратимый разрыв этой связи менее вероятен, чем растяжение и разрыв связи C(1)-O(3). Поскольку для сильно эндотермических процессов перехода структур III в VII ((H=957,2 κ Дж/моль) и IV в VIII ((H=1040,8 κ Дж/моль) энергия активации не может быть меньше этих величин, то обратимые стадии перехода III в V 38

 $((H=192,6 \ \textit{кДж/моль}) \ \text{и IV в VI} \ ((H=279,5 \ \textit{кДж/моль}) \ \text{должны быть }$ энергетически предпочтительными.

Константа равновесия для любой обратимой реакции определяется разностью свободных энергий (ΔG) между реагентами и продуктами реакции:

$$-RT \ln K = \Delta G = \Delta H - T\Delta S$$
,

где ΔH и ΔS – изменения энтальпии и энтропии процесса, соответственно; R – газовая постоянная; T – абсолютная температура

Степень превращения эпоксидов III и IV в соответствующие цвиттерионы V и VI определяются величинами $K_I(III \xrightarrow{} V)$ и $K_2(IV \xrightarrow{} VI)$, которые в свою очередь представляют собой отношения констант скоростей прямой и обратной реакций. Количество интермедиата, присутствующего в реагирующей системе в любой момент времени, зависит от скорости стадии, в которой он образуется, и от скорости его последующего расходования. Поскольку структуры III и IV различаются группами, не принимающими непосредственного участия в процессе раскрытия эпоксидного кольца, то можно ожидать, что их энтропии равновесия могут оказаться одинаковыми. При этом влияние сольватации на два аналогичных процесса не должно приводить к заметному изменению величины ΔG , т.к. изменения в (S компенсируются соответствующими изменениями в ΔH [12]. Отношение констант равновесия в предположении, что $\Delta S_1 = \Delta S_2$, можно представить в следующем виде:

$$-RT \ln \frac{K_1}{K_2} = \Delta H_1 - \Delta H_2; \frac{K_1}{K_2} = e^{\frac{\Delta H_2 - \Delta H_1}{RT}}$$

В нашем случае K_1 и K_2 – константы равновесия для стадии перехода эпоксидов III и IV в их соответствующие цвиттер-ионные формы V и VI. Отношение этих констант, равное $4.9(10^{16},$ показывает, что концентрации и, следовательно, скорости образования и расходования цвиттер-иона V должны быть существенно выше соответствующих характеристик для цвиттер-иона VI. Если скорости образования и расходования цвиттер-иона V велики, то выделение промежуточного соединения III становится невозможным.

Таким образом, стабильность эпоксида IV по отношению к III и, очевидно, к другим постулированным, но экспериментально не обнаруженным эпоксидам, обусловлена величинами их относительных констант равновесия K_1 и K_2 .

В цвиттер-ионах V и VI связь C(2)-Cl(6) сильно удлинена, и при ее окончательном разрыве следовало бы ожидать образования карбениевых ионов IX и X. Рассчитанная структура IX показывает укорочение связей C(1)-C(2), C(2)-O(3) и C(1)-C(5) по сравнению с этими же связями в цвиттер-

ионе V. Однако расчет заданной структуры X приводит к изомерному карбокатиону XI. Очевидно, что структура X не соответствует локальному минимуму на поверхности потенциальной энергии и близка по геометрическому строению к структуре переходного состояния (активированный комплекс) для стадии перехода VI в XI.

Поскольку в цвиттер-ионе VI одна из связей C(4)-Cl трихлорметильной группы лежит в одной плоскости с вакантной P_z -орбиталью атома C(1) (двугранный угол Cl-C(4)-C(1)- $C(2)(90^\circ)$, то такое расположение обеспечивает максимальное взаимодействие между ними. Вследствие этого происходит изомеризация карбениевого иона X в термодинамически более выгодную структуру XI. Очевидно, что мостиковая форма XII является переходной структурой в процессе миграции иона хлора с центра C(4) на C(1). В карбокатионе XI связь C(1)-Cl(6) длиннее (табл.1) по сравнению с соседними связями C(4)-Cl (0,1691 и 0,1697 IM), а межатомное расстояние C(4)...Cl(6) равно 0,2707 IM.

Как и следовало ожидать, наибольший положительный заряд в IX находится на атоме C(1), а в XI – на атоме C(4) (табл.2). Такое распределение предполагает образование соответствующих зарядов продуктов перегруппировки XIII и XIV. Отличительная особенность перегруппировки бис-трихлорметилкарбинола состоит в том, что в результате изомеризации карбениевого иона IX в структуру XI образуется хлорангидрид трихлоракриловой XIV, а не 2,3,3,3-тетрахлорпропановой кислоты, которая должна получаться из карбокатиона Х. Подобная изомеризация невозможна для всех других карбениевых ионов типа IX, и потому их перегруппировка должна приводить к галогенангидридам α-галогенкарбоновых кислот. При этом если атака иона хлора на карбокатион IX может происходить как внутримолекулярно, так и межмолекулярно, то в случае карбокатиона X она происходит только внутримолекулярно.

Tаблица 1 Длины связей (Hм) в структурах III-XIV и их теплоты образования (KДж/моль) по данным MNDO расчетов

(14-4)14 1/107	,		- 12 O Pu					
Струк- туры	1-2	1-3	1 - 4	2-3	2-5	2-6	1-6	ΔΗ
III	0,1530	0,1428	0,1500	0,1394	0,1767	0,1772	_	29,96
IV	0,1534	0,1422	0,1535	0,1395	0,1761	0,1771	_	_
V	0,1549	· —	0,1431	0,1231	0,1769	0,1900	_	146,10
VI	0,1537	_	0,1521	0,1234	0,1768	0,1857	_	222,58
VII	0,1502	0,1518	0,1484	0,1293	0,1660	_	_	133,46
VIII	0,1503	0,1490	0,1543	0,1299	0,1658	_	_	987,25
IX	0,1503	_	0,1396	0,1206	0,1765	_	-	894,73
XI	0,1549	_	0,1513	0,1201	0,1766	_	0,1784	855,21
XIII	0,1537	_	0,1520	0,1210	0,1785	_	0,1803	781,58
XIV	0,1493	_	0,1355	0,1211	0,1786	_	0,1757	-74,89
								_
								153,40

 $\label{eq:Ta6} {\it Ta6лица}~2$ Заряды на атомах в структурах III-XIV по данным MNDO расчетов

Струк- туры	C(1)	C(2)	O(3)	C(4)	Cl(5)	Cl(6)
III	0,133	0,187	-0,233	0,008	-0.078	-0,093
IV	0,039	0,189	-0,190	0,229	-0,048	-0.071
V	0,361	0,426	-0.372	-0,137	-0,382	-0,394
VI	0,380	0,398	-0.371	0,112	-0,265	-0,273
VII	0,248	0,310	-0,063	-0,101	0,244	_
VIII	0,129	0,302	-0,013	0,141	0,302	_
IX	0,291	0,247	-0,127	-0,122	-0.073	_
XI	-0.035	0,264	-0.085	0,338	-0,088	_
XIII	0,122	0,308	-0,213	0,001	-0,170	-0,147
XIV	-0.068	0,360	-0,190	0,124	-0,168	-0.035

Исходя из строения продуктов нуклеофильного замещения бистригалогенметилкарбинолов можно сделать вывод, указанная изомеризация карбениевого иона X не успевает реализоваться и первичная атака нуклеофила идет по атому С(1) [7,13,14]. Более того, под действием третичных аминов смешанные хлор-, бромсодержащие гексагалогенизопропанолы подвергаются изомеризации с образованием галогенангидридов (-галогенкарбоновых кислот [13]. Такое поведение обусловлено блокировкой карбениевого центра Х неподеленной парой третичного амина, в результате чего становится невозможным 1,2-перенос иона хлора с атома С(4) на атом С(1), и галогенид-ион, находящийся во внешней сфере образующейся аммониевой соли, атакует атом С(1).

Расчет структур III-XIV, которые могут образоваться при последовательной трансформации реагентов в продукты, приводит к объяснению экспериментально наблюдаемой стабильности эпоксида IV по сравнению с другими эпоксидами и выявлению причины аномальной перегруппировки бис-трихлорметилкарбинола. Результаты расчетов рассматриваемых интермедиатов подтверждают предположение о том, что в ходе перегруппировки или нуклеофильного замещения карбинолов I образуются гем-дигалогенэпоксиды II. Однако лишь последующая их трансформация в карбениевые ионы типа IX, X или XI приводит к образованию конечных продуктов реакций.

ՏՐԻՀԱԼՈԳԵՆՄԵԹԻԼԿԱՐԲԻՆՈԼՆԵՐԻ ՎԵՐԱԽՄԲԱՎՈՐՄԱՆ ՌԵԱԿՑԻԱՅԻ ՄԵԽԱՆԻԶՄԻ ՔՎԱՆՏԱՔԻՄԻԱԿԱՆ ՀԵՏԱԶՈՏՈՒՄԸ

Ա. Վ. ՄԽԻԹԱՐՑԱՆ և Ա. Ա. ԱՎԵՏԻՍՑԱՆ

Ուսումնասիրվել է տրիհայոգենմեթիլկարբինոլների վերախմբավորման մեխանիցմը 2-պիրիդիլտրիքլորմեթիլտրիքյորմեթիլկարբինոլների օրինակների վրա MNDO մեթոդի օգնությամբ։ Ի տարբերություն մյուս նույնատիպ կարբինոյների, որոնց վերախմբավորման արգասիքները հանդիսանում են α–հայոգենկարբոնաթթուներ, տրիքլորմեթիլկարբինոլը վերախմբավորվում է տրիքլորակրիլաթթվի։ Ընդ որում միալն ալդ դեպքում է հնարավոր դառնում միջանկլալ հեմդիքլորէպօքսիդի անջատումը։ Նախկինում ցույց է տրվել, որ 1(2-պիրիդիլ)- և 1(տրիքլորմեթիլ)-2,2-դիքլորէթիլենօքսիդները, էպօքսիդային օղակների վրա լիցքերի բաշխման հետևանքով, չեն կարող հանդիսանալ ինտերմեդիատներ, որոնց վրա անմիջականորեն ընթանա նուկլեոֆիլ հարձակում։ Տրված 1(2պիրիդիլ)- և 1(տրիքլորմեթիլ)խմբերով կարբկատիոնների հաշվարկները ցույց են տալիս, որ վերջինս գոլություն ունի մի այլ իզոմերային ձևում։ Նոր առաջնային կարբկատիոնի առաջացումը հանդիսանում է բիս-տրիքյորմեթիլկարբինոլի անոմալ վերախմբավորման պատճառը։ Տրիհալոգենմեթիլկարվերախմբավորման ռեակցիալի առաջարկված մեխանիզմը՝ նաև 1(տրիքյորմեթիլի)-2,2-դիհայոգենէթիլենօքսիդների բացատրում է հարաբերական կալունությունը մնացած ուրիշ պոստուլացված, բայց փորձով չհայտնաբերված էպօքսիդների նկատմամբ։ Հաշվարկների արդյունքները հաստատում են այն ենթադրությունը, որ տրիհայոգենմեթիլկարբինոյների վերախմբավորման կամ նուկլեոֆիլ տեղակալման ռեակցիաների ընթացքում առաջանում են հեմ-դիհալոգենէպօքսիդներ։ Մակայն միայն նրանց փոխարկումները ցվիտտեր-իոնների հաջորդական այնուհետև կարբկատիոնների բերում է այդ ռեակցիաների վերջնական արգասիքների առաջացմանը։

QUANTUM-CHEMICAL INVESTIGATION OF THE MECHANISM OF TRIHALOGENMETHYLCARBINOLS REARRANGEMENT

A. V. MKHITARYAN and A. A. AVETISSYAN

The mechanism of the rearrangement reaction of trihalogenmethylcarbinols has been studied by MNDO method at the instance of 2-pyridyltrichloromethyl- and bistrichloromethylcarbinol. Unlike all other similar carbinols, the rearrangement products of which are α -chlorocarbonic acids, bis-trichloromethylcarbinol turns into the trichloroacrylic acid. And only in this case evolving of intermediate hemdichloroepoxide gets possible. In any other case hem-dichloroepoxides formation during the reaction was only postulated. It has been shown earlier, proceeding from the charge distribution on epoxide ting atoms of 1(2-pyridyl)- and 1(trichloromethyl)-2,2-dichloroethylepoxides, that these epoxides can't be the key intermediates, on which nucleophyl attack takes place immediately. The calculation of the given structures of secondary carbonic ions with pyridyl- and trichloromethyl groups, obtained from the corresponding zwitter-ions showed that carbocation with trichloromethyl group exists in

isomer form, stipulated by the 1,2-transfer of chloride-ion from the trichloromethyl group on the carbonic centre. Formation of the new carbocation as result of such isomerisation is the reason of abnormal rearrangement of bis-trichloromethylcarbinol. The suggested mechanism of rearrangement reaction of trihalogenmethylcarbinols explains also the relative stability of 1(thrichloromethyl)-2,2-dihalogenethylenoxides as related to the other postulated, but not discovered experimentally epoxides. Calculations results confirm the supposition that hem-dihalogenepoxides are formed during the rearrangement or nucleophylic substitution reactions of trihalogenmethylcarbinols. However, only their subsequent transformation into the zwitter-ions and then carbocations leads to the formation of final reaction products.

ЛИТЕРАТУРА

- [1] Reeve W., McKee R.Y., Brown R., Lakshmanan S., McKee G.A. // Canad. J. Chem., 1980, v. 58, N5, p. 485.
- [2] Reeve W., Barron E.R. // J. Org. Chem., 1975, v. 40, №13, p. 1917.
- [3] Weizman G., Shulzbacher M., Bergman E. // J. Am. Chem. Soc., 1948, v. 70, №3, p. 1153.
- [4] Гукасян А.О., Галстян Л.Х., Ханамирян А.А., Аветисян А.А. // ЖОрХ, 1988, т. 24, вып. I, с. 220.
- [5] Гукасян А.О., Галстян Л.Х., Аветисян А.А. // Арм. хим. ж., 1986, т. 39, №11, с. 685.
- [6] *Гукасян А.О., Аббас Ш.С., Галстян Л.Х., Аветисян А.А.* // Уч. зап. ЕГУ, 1990, №2, с. 97
- [7] Neunhoeffer O., Spange A. // Ann., 1960, bd. 632, Nº1-3, s. 22.
- [8] Гукасян А.О., Гукасян Н.Т., Галстян Л.Х., Аветисян А.А. // Арм. хим. ж., 1992, т. 45, №1-2, с. 79.
- [9] Мхитарян А.В., Аветисян А.А. // Хим. ж. Армении, 2001, т. 54, №1-2, с. 56.
- [10] Dewar M.J.S., Thiel W. // J. Am. Chem. Soc., 1977, v. 99, №15, p. 4899.
- [11] *Борисова Н.П.* Методы квантовой химии в молекулярной спектроскопии. Л., Изд. ЛГУ, 1981, с. 273.
- [12] Дьюар М., Догерти Р. Теория возмущений молекулярных орбиталей в органической химии. М., Мир, 1977, с. 172.
- [13] Галстян Л.Х., Гукасян А.О., Аветисян А.А. // Арм. хим. ж., 1994, т. 47, №1-3, с. 146.
- [14] Галстян Л.Х., Гукасян А.О., Аветисян А.А. // Арм. хим. ж., 1996, т. 49, №1-3, с. 112.

ՀԱՅԱՍՏԱՆԻ ՀԱՆՐԱՊԵՏՈՒԹՅԱՆ ԳԻՏՈՒԹՅՈՒՆՆԵՐԻ ԱԶԳԱՅԻՆ ԱԿԱԴԵՄԻԱ

НАЦИОНАЛЬНАЯ АКАДЕМИЯ НАУК РЕСПУБЛИКИ АРМЕНИЯ

Հայաստանի քիմիական հանդես 55, №1-2, 2002 Химический журнал Армении

УДК 547.128 + 546.55

КИНЕТИКА И МЕХАНИЗМ РЕАКЦИИ МЕТИОНИНА С ГИДРОПЕРОКСИДОМ КУМОЛА В ВОДНОЙ СРЕДЕ

С. К. ГРИГОРЯН, К. Р. ГРИГОРЯН, Г. Г. ПЕТРОСЯН, Г. Л. ГРИГОРЯН, Г. С. ГРИГОРЯН и Е. Я. ВАРДАНЯН

Ереванский государственный университет

Поступило 4 II 2000

Методом ЯМР ¹Н и йодометрии изучена кинетика и механизм реакции метионина (Met) с гидропероксидом кумола (ГПК- ROOH) в водной среде в интервале температур 303-333 К. Показано, что в отличие от других природных аминокислот Меt непосредственно взаимодействует с ГПК, в ходе реакции окисляясь, превращается в метионинсульфоксид. Скорость реакции выражается кинетическим уравнением:

 $W_o = -d[ROOH]/dt = K[Met]_o[ROOH]_o$.

Температурная зависимость константы скорости реакции подчиняется уравнению Аррениуса (энергия активации в \not Дж/моль):

K = $(1,59 \pm 0,04)$ 10^8 exp [-52000 \pm 400/RT], $\pi/\text{моль} \cdot \text{мин}$.

Установлено, что при комплексообразовании гидропероксид координируется с метионином через электронную пару серы. Состав комплекса 1:1. На основании экспериментальных данных приводится предполагаемая схема реакции.

Рис. 3, табл. 1, библ. ссылок 10.

В живом организме окисление белков, липидов, углеводов и других веществ протекает с образованием промежуточных гидропероксидных соединений, распад которых может привести к образованию свободных радикалов, которые в свою очередь могут взаимодействовать с кислородом, водой, образуя новые активные радикалы, способные разлагать липидные и протеиновые слои клетки, тем самым, провоцируя оксидативный стресс и деструкцию тканей [1]. Предотвращение этих нежелательных процессов имеет важное значение для сохранения и жизнедеятельности живых организмов. Поэтому поиск антиоксидантов и стабилизаторов для этих процессов является одним из главных целей наших исследований. Ранее

нами было изучено влияние аминокислот, а также их комплексов с переходными металлами на распад гидропероксидов кумола и трет-бутила (модельные объекты). В работах [2-5] показано, что многие природные аминокислоты, такие, как глицин, аланин, валин, гистидин, лизин и другие в водной среде не влияют на распад гидропероксидов, однако в присутствии щелочи комплексы этих аминокислот с ионами металлов проявляют каталитическую активность на распад гидропероксидов. В отличие от этих аминокислот в присутствии одного только метионина (αамино-у-метилмеркаптомасляная кислота CH₃-S-CH₂-CH(NH₂)-COOH) происходит распад гидропероксида. Цель данной работы – выяснение кинетики и механизма этой реакции, объяснение этого явления, получение новых кинетических параметров (константы скоростей, предэкспонент, энергия активации, влияние РН и др.) для использования их в моделировании изучаемых систем. В статье приводятся результаты исследования кинетики и механизма реакции ГПК с Меt в водной среде в интервале температур 303-333 К. За ходом реакции следили как по уменьшению концентрации гидропероксида (йодометрически), так и по (накоплению) образованию одного из продуктов метионинсульфоксида по методу ЯМР ¹Н. Для установления точности йодометрического метода параллельно проводились определение гидропероксида независимым физическим способом-методом жидкостной хроматографии.

Данные ЯМР ¹Н исследований

выяснения механизма взаимодействия гидропероксида метионином результаты кинетических исследований сопоставлены с данными ЯМР ¹Н. Спектры ЯМР сняты на спектрометре "TESLA BS-497" (100 *МГи*) в D₂O. Химические сдвиги измерены относительно внутреннего стандарта – трет-бутилового спирта. Как видно из приведенных на рис. 1 спектров (приведена только часть спектров – от 0 до 3 м.д.), синглет при 2,1, который соответствует группам d(CH₃) b(CH₂) метионина, уменьшается. В области 2,7 наблюдается синглет $d(CH_3)$ метионинсульфоксида, который в ходе реакции увеличивается. На спектрах ЯМР четко видны эти сигналы.

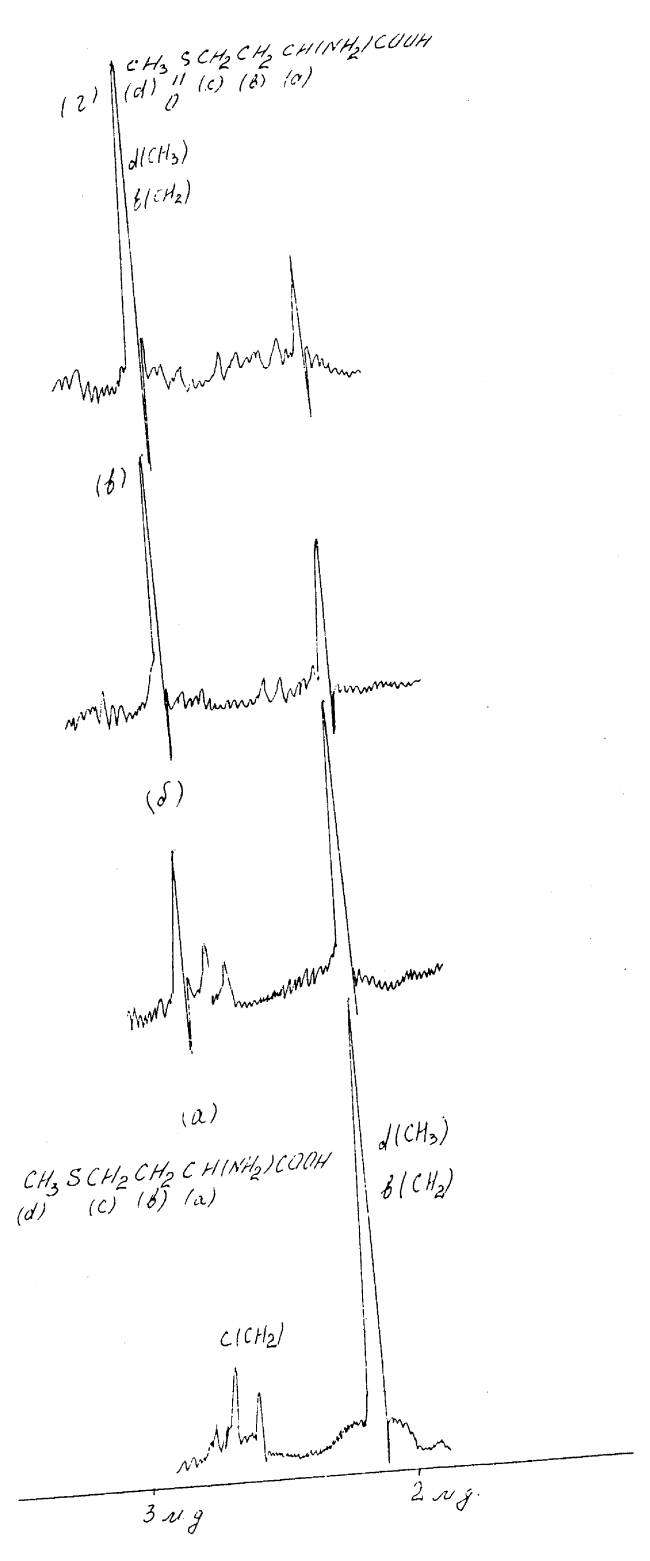


Рис. 1. ЯМР 1 Н спектры реакционной смеси ГПК–Меt при [ГПК] $_{\circ}$ =[Met] $_{\circ}$ = 0,05 моль/л: t=0 (a), t=30 мин (б), t=90 мин (в),t=120 мин (г).

Кинетические исследования реакции ГПК-Met

За скоростью реакции следили йодометрическим методом [6].

Из литературы [7] известно, что метионин также можно определить методом йодометрии, что основано на окислении метионина раствором йода в фосфатном буфере (при определенных количествах Na_2HPO_4 и NaH_2PO_4) с pH \sim 7,5.

В нашем случае при йодометрическом определении ГП реакционная проба (1 мл) добавляется в ледяную уксусную кислоту (10 мл), которая создает кислую среду с рН примерно 5, при которой метионин превращается в соль (а КЈ в НЈ) и которая уже не реагирует с йодом. Однако, невзирая на этот факт, для устранения всякого сомнения о якобы возможном расходовании йода (выделенного по реакции: ROOH + 2HJ -ROH + H₂O + J₂) при взаимодействии с метионином, имеющимся в пробе, нами проведено (параллельно с йодометрическими) количественное определение гидропероксида в пробах реакции другим независимым способом - методом газо-жидкостной хроматографии [9-10] на приборе "Varian Model-3600", колонка – стеклянный капилляр "J & W Scientific DB-5" (15 м), диаметр-0,53 мм, ширина пленки жидкой фазы 1,5 мк, поток газа гелия -20 *мл*/*мин*, подающий газ -40 *мл*/*мин*. Условия хроматографии: от 50 (1 *мин*) до 150°С (градиент 10-15°С в *мин*), испаритель 80°С, детектор 150°С (пламенно-ионизационный). В качестве внутреннего стандарта использовалось необходимое рассчитанное количество ацетона. Данные анализа приведены в таблице.

Tаблица Хроматографические данные анализа расхода гидропероксида в реакции $\Gamma\Pi K$ -Меt при 40°С, $[\Gamma\Pi K]_0 = [Met]_0 = 0,05$ моль/ π

t, <i>MUH</i>	$\stackrel{\mathrm{Xpomat}}{\mathrm{m}}$, Γ	Р-Х, моль/л	Х, моль/л	X/P-X
0	0,0466	0,0307	0	0
30	0,0347	0,0228	0,0079	0,347
50	0,0293	0,0193	0,0114	0,590
70	0,0229	0,0151	0,0156	1,003
90	0,0202	0,0133	0,0174	1,307

Экспериментальные результаты (расход гидропероксида X во времени t), полученные на основании хроматографического анализа совпадают с гидропероксида, данными йодометрического гидропероксида кумола (в пределе ошибки 3%). Константа скорости реакции ГПК-Met при 40°С, рассчитанная по данным таблицы, составляя графическую зависимость X/P-X t, получилась: К = 0,407 л/мольмин, что вполне совпадает со значением, полученным нами йодометрическим анализом гидропероксида — $K_p^{rp} = 0.411 \ \text{л/моль·мин}$. Итак, полученные значения констант скоростей, определенные двумя независимыми методами, подтверждают, что в пробе реакционной системы ГПК+Меt истинное количество гидропероксида можно определить методом йодометрии, не боясь присутствия метионина (при проведении определения ГПК в наших условиях).

Определена начальная скорость (W_o) реакции, зависимость которой от исходных концентраций гидропероксида и метионина выражается законом первого порядка. Начальные скорости рассчитаны по кривым x = f(t). Соотношение Womet/[Met] и $Wornk/[\Gamma\Pi K]$ постоянно. Это означает, что порядок реакции по реагентам (метионину и гидропероксиду) равняется единице. За скоростью реакции следили также по уменьшению концентрации метионина. Из спектров $SMP^{-1}H$ (рис.1) рассчитана [Met]=f(t). По этим данным определены значения констант скоростей по уравнению K=A/At(A-x), где A- исходная; (A-x)- текущая концентрация метионина; K- константа скорости реакции, рассчитанная по расходу метионина (рис.1а). Например, при 313К значение $K^{rp}=0,411$ (по расходу $\Gamma\Pi K$) и 0,400 $\pi/$ моль-мин (по расходу Met), т.е. они в пределах ошибки эксперимента совпадают. Таким образом, скорость реакции выражается следующим уравнением второго порядка: $W_o = -d[ROOH]/dt = K[Met]_o[ROOH]_o$.

Определена температурная зависимость константы скорости реакции в интервале температур 303-333 К (рис. 2а, б). Значения констант скоростей определены графически по рис.2а, составленному согласно кинетическому уравнению K = x/tP(P-x), где K – константа скорости реакции ($\pi/monb-muh$), P и (P-x) – исходная и текущая концентрации гидропероксида ($monb/\pi$). Из рис.2а по тангенсу уклона прямых $tg\phi = x/t(P-x) = KP$ определены значения констант скоростей при различных температурах: 333-1,90; 323-0,722; 313-0,411; 303 K-0,200 $\pi/monb-muh$.

Полученные данные удовлетворяют уравнению Аррениуса (рис.26). По этому рисунку графически определены средние значения энергии активации и предэкспонента реакции: $E_{rp}=12400~\kappa$ ал/моль= $52000~\mathcal{Д}$ ж/моль и $PZ=1,59.10^8$.

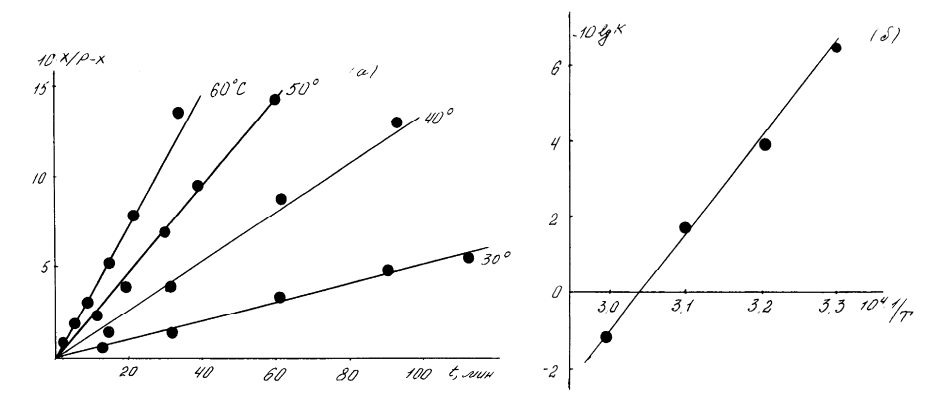


Рис. 2. (a) Зависимость функции X/P-X от времени при различных температурах, (б) зависимость констант скорости от температуры в аррениусовских координатах.

Для выяснения механизма этой реакции изучена возможность образования промежуточного комплекса гидропероксида с метионином и сделана попытка выявить природу активного центра в молекуле метионина. Поэтому реакцию проводили не только в нейтральной (когда в реакционной системе имеем молекулярную и цвиттерионную формы метионина), но и в щелочной (когда блокирована карбоксильная -СООН группа) и в кислой средах (когда блокирована амино-NH2 группа аминокислоты). Данные приведены на рис.3, из которого видно, что скорость реакции при указанных условиях практически не меняется. Это означает, что ни карбоксильная, ни аминная группы метионина не являются реакционным центром. Очевидно, что этим центром является атом серы метионина.

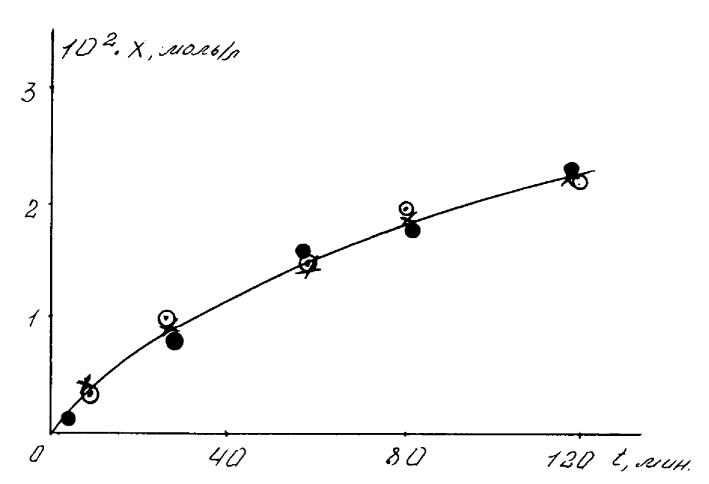


Рис. 3. Влияние щелочи и кислоты на реакцию ГПК-Met при 313K, $x - [\Gamma\Pi K]_o = [Met]_o = 0,05$ моль/л, $o - [\Gamma\Pi K]_o = [Met]_o = [KOH]_o = 0,05$ моль/л, $* - [\Gamma\Pi K]_o = [Met]_o = [H2SO_4]_o = 0,05$ моль/л.

Обсуждение результатов

Нами было показано, что многие аминокислоты (глицин, лизин, гистидин, глутамин и др.) не реагируют с гидропероксидами в водных средах, а становятся активными только в присутствии щелочей и ионов металлов [2-5]. Продолжая эти исследования, мы столкнулись с новым интересным явлением, когда серусодержащая аминокислота метионин СН₃-S-CH₂-CH₂-CH(NH₂)-СООН непосредственно взаимодействует с гидропероксидом. Кинетическим и ЯМР ¹Н методами показано, что образуется комплекс ГПК-Met состава 1:1 и что конечными продуктами реакции метионинсульфоксид CH₃-S(O)-CH₂-CH₂-CH(NH₂)-COOH и фенилизопропанол С6Н5С(СН3)2ОН. Мягкие условия, выбранные нами для реакции ΓΠK-Met, обеспечивают окисление метионина метионинсульфоксида, а в жестких условиях метионин, как известно, окисляется до метионинсульфона [8]. Порядок реакции по реагирующим компонентам равняется единице, а суммарный порядок - двум, что вытекает из закона скоростей реакции (1), причем в интервале температур 303(333 К эта закономерность не меняется. С целью выяснения предполагаемого механизма комплексообразования между реагентами исследовано влияние щелочи и кислоты на скорость реакции (рис.3). Установлено, что реакционным центром в молекуле метионина является атом серы, электронная пара которой участвует в комплексообразовании.

Таким образом, сопоставляя полученные нами спектроскопические и кинетические данные механизм реакции между гидропероксидом кумола и метионином можно представить по схеме:

ROOH + Met
$$\stackrel{\text{быстро}}{\rightleftharpoons}$$
 $\begin{bmatrix} \text{RO:OH....OH}_2\\ \\ \\ \\ \\ \\ \\ \\ \\ \\ \end{bmatrix}$ (I)

$$(I) \stackrel{\text{быстро}}{=\!\!\!=\!\!\!=} \begin{bmatrix} \delta^+ \delta^- \\ \text{RO}: \text{OH} \\ \uparrow \\ -\text{S}- \end{bmatrix} \xrightarrow{\text{Кнерад}} \begin{bmatrix} \overbrace{\text{RO}: \text{OH}}^+ & \text{OH}_2 \\ \uparrow \\ -\text{S}- \end{bmatrix} \longrightarrow$$

$$\longrightarrow ROH(C_6H_5C(CH_3)_2OH) + CH_3-S-CH_2-CH_2-CH(NH_2)-COOH + H_2O$$

Окисление метионина можно представить также следующей схемой:

$$: \overset{|}{S} : + ROOH \xrightarrow{GLICTD} \left(: S : \dots \xrightarrow{O-H} \xrightarrow{GLICTD} \xrightarrow{GLICTD} \right) \xrightarrow{GLICTD}$$

$$\rightarrow \left(: \overset{|}{S} : \overset{|}{CO-H} \xrightarrow{O-H} \xrightarrow{O-H} \xrightarrow{O-H} \xrightarrow{O-H} \xrightarrow{O-H} \xrightarrow{O-H} \xrightarrow{CO-H} \xrightarrow{C$$

ԿՈՒՄՈ ԼԻ ՀԻԴՐՈՊԵՐՕՔՍԻԴԻ ԵՎ ՄԵԹԻՈՆԻՆԻ ՄԻՋԵՎ ԸՆԹԱՑՈՂ ՌԵԱԿՑԻԱՅԻ ԿԻՆԵՏԻԿԱՆ ԵՎ ՄԵԽԱՆԻՉՄԸ ՋՐԱՅԻՆ ՄԻՋԱՎԱՅՐՈՒՄ

Ս. Կ. ԳՐԻԳՈՐՑԱՆ, Կ. Ռ. ԳՐԻԳՈՐՑԱՆ, Գ. Գ. ՊԵՏՐՈՍՑԱՆ, Գ. Լ. ԳՐԻԳՈՐՑԱՆ, Գ. Ս. ԳՐԻԳՈՐՑԱՆ և Ե. Ցա. ՎԱՐԴԱՆՑԱՆ

ՄՄՌ ¹H և յոդոմետրիայի եղանակներով ուսումնասիրվել է կումոլի հիդրոպերօքսիդի (ROOH) և մեթիոնինի (Met) միջև ընթացող ռեակցիայի կինետիկան և մեխանիզմը ջրային միջավայրում 303-333K ջերմաստիձանային միջակայքում։ Ցույց է տրված, որ ռեակցիայի հետևանքով մեթիոնինը օքսիդանում է մինչև մեթիոնինսուլֆօքսիդ։ Ռեակցիայի արագությունը արտահայտվում է երկրորդ կարգի կինետիկական հավասարումով՝

$$W_0 = -d[ROOH]/dt = k[Met]_0 [ROOH]_0$$
:

Ռեակցիայի արագության հաստատունի ջերմաստիձանային կախումը արտահայտվում է Արենիուսի հավասարումով՝

Պարզված է, որ ռեակցիայի սկզբնական փուլը 1։1 բաղադրությամբ ROOHմեթիոնին կոմպլեքսի առաջացումն է։ Կոմպլեքսագոյացումը հետևանք է

$$CH_3 - \overset{\cdot \cdot \cdot}{S} \overset{O - R}{\mathop{>} \downarrow}$$
 փոխազդեցության։

THE KINETICS AND MECHANISM OF THE REACTION OF CUMENE HYDROPEROXIDE WITH METHIONINE IN AQUEOUS SOLUTIONS

S. K. GRIGORYAN, K. R. GRIGORYAN, G. G. PETROSYAN, G. L.GRIGORYAN, G. S. GRIGORYAN and E. Ja.VARDANYAN

In our early works it has been shown that many natural aminoacids such as glycine, hystidine, lysine, glutamine and others don't react with cumene hydroperoxide (CHP) in aqueous solutions and they became active only at the presence of hydroxides and metal ions. In this conditions aminoacid-metal complexes are formed, which can be used as model homogen catalizators able to decompose hydroperoxides (ROOH). And only Scontaining aminoacid methionine (Met)-CH₃-S-CH₂-CH(NH₂)-COOH at the absence of hydroxide and metal ion reacts with hydroperoxide.

By NMR ¹H and iodometric methods the kinetics and mechanism of CHP decomposition under the influence of methionine has been investigated in quueous solutions at 303-333K temperature range.

From the analysis of NMR ^{1}H data it has been determined the products of the reaction which are: methioninesulphoxide CH_3 -S(O)- CH_2 - CH_2 - $CH(NH_2)$ -COOH and phenylisopropylalcohol $C_6H_5C(CH_3)_2OH$. The reaction obeys the second order rate law:

$$W_o = -d [ROOH]/dt = K[ROOH]_o[Met]_o$$

The temperature dependence of the rate constant submits to the Arrenhaus equation:

$$K=(1,59\pm0,04).10^8 \exp[-52000\pm400/RT], l/mol·m.$$

In order to find out the mechanism of the reaction influence of hydroxides and acids has been investigated. It has been established that the first step of the reaction is the 1:1 ROOH-Met intermediate complexformation. The sulfur atom of the methionine is the donor atom to which hydroperoxide coordinates.

Based on experimental data a probable mechanism of ROOH-Met reaction is given.

ЛИТЕРАТУРА

- [1] Carrico R.J., Deutch H.F. // J. Biol. Chem., 1995, 245, p.723.
- [2] Григорян С.К., Варданян Е.Я. // Арм. хим. ж., 1990, т.43, №4, с.217.
- [3] Григорян С.К., Григорян К.Р. // Уч. зап. ЕГУ (естеств. науки), 1990, т. 1 (173), с.74.
- [4] *Григорян С.К., Григорян К.Р., Григорян Г.Л., Варданян Е.Я., Маркарян Ш.А.* // Арм. хим. ж., 1992, т.45, №3-4, с.284.
- [5] *Григорян С.К., Бабаян М.А., Варданян Е.Я., Григорян Г.С.* // Арм. хим. ж., 1997, т.50, №3-4, с.15.
- [6] *Григорян С.К., Варданян Е.Я., Мелконян Л.Г.* // Уч. зап. ЕГУ (естеств. науки), 1973, т. 3, с. 70.
- [7] Руководство к лабораторным заниятиям по фармацевтической химии // под ред. Т.Л. Сенова. М., 1978, с. 225.
- [8] Кнунянц И. Л. Химический энциклопедический словарь, 1983, с. 339.
- [9] Мак-Нейр Г., Бонелли Э. Введение в газовую хроматографию, М., Мир, 1970, с. 142.
- [10] Вяхирев Д.А., Шушунова А.Р. Руководство по газовой хроматографии, М., Высшая школа, 1975, с. 125.

ՀԱՅԱՍՏԱՆԻ ՀԱՆՐԱՊԵՏՈՒԹՅԱՆ ԳԻՏՈՒԹՅՈՒՆՆԵՐԻ ԱԶԳԱՅԻՆ ԱԿԱԴԵՄԻԱ

НАЦИОНАЛЬНАЯ АКАДЕМИЯ НАУК РЕСПУБЛИКИ АРМЕНИЯ

Հայաստանի քիմիական հանդես 55, №1-2, 2002 Химический журнал Армении

НЕОРГАНИЧЕСКАЯ И АНАЛИТИЧЕСКАЯ ХИМИЯ

УДК 669.712.1.054

ПОЛУЧЕНИЕ КАЛИЕВЫХ И ПРЕИМУЩЕСТВЕННО КАЛИЕВЫХ АЛЮМИНАТНЫХ РАСТВОРОВ С СОДЕРЖАНИЕМ ДИОКСИДА КРЕМНИЯ, БЛИЗКИМ К ИСТИННЫМ РАВНОВЕСНЫМ КОНЦЕНТРАЦИЯМ SiO₂ B CИСТЕМЕ K₂O-Al₂O₃-SiO₂-H₂O

А. А. ХАНАМИРОВА, Л. П. АПРЕСЯН и А. Р. АДИМОСЯН

Институт общей и неорганической химии им. М.Г.Манвеляна НАН Республики Армения, Ереван

Поступило 15 XII 1998

Показано, что гидромоносиликаты двухвалентных элементов являются хорошими обескремнивающими добавками к калиевым и калий-натриевым алюминантным растворам, образующимся при переработке щелочными способами высококалиевых алюмосиликатных (нефелиновых и псевдолейцитовых) пород. При взаимодействии гидромоносиликатов двухвалентных металлов с алюминантными растворами из них в твердую фазу переводится более 75% растворенного диоксида кремния, а содержание SiO2 в обескремненных растворах, направляемых на карбонизацию, уменьшается до значений, близких к истинным равновесным концентрациям SiO2 в системе K2O–Al2O3–SiO2–H2O.

Табл. 3, библ. ссылок 20.

Возможные области применения глинозема в значительной степени зависят от дисперсности и чистоты (в основном по содержанию диоксида кремния и щелочных элементов, которое строго лимитируется [1]) исходного гидроксида алюминия [2]. Согласно принятой технологии [2,3], малощелочной малокремнеземнистый высокодисперсный альфа-глинозем (корунд) (ММВК), соответствующий техническим требованиям [1], получается кальцинацией технического гидроксида алюминия (ТГА) с промежуточной или последующей очисткой от содержащихся в нем примесей нерастворимых соединений SiO₂ и R₂O и тонким измельчением.

Альтернативным существующему способу приготовления ММВК является направление, заключающееся в воспрепятствовании попаданию SiO_2 и R_2O в $Al(OH)_3$ и образованию крупных кристаллов $T\Gamma A$ на стадии его синтеза при обескремнивании и карбонизации щелочных алюминатных растворов.

Алюминатные растворы, образующиеся при выщелачивании алюминатных спеков и поступающие на обескремнивание, пересыщены по кремнезему и содержат SiO_2 на уровне его метастабильной равновесной концентрации, а содержание SiO_2 в растворах после обескремнивания, направляемых на карбонизацию, приближается к истинным равновесным концентрациям SiO_2 в системе $R_2O-Al_2O_3-SiO_2-H_2O$. Известно, что равновесные концентрации SiO_2 в чисто калиевых алюминатных растворах ($KAlO_2$) или в преимущественно калиевых алюминатных растворах ($RAlO_2$) выше, чем в натриевых алюминатных растворах ($RAlO_2$) [4], в связи с чем обескремнивание $RAlO_2$ и $RAlO_2$ проходит труднее, а карбонизация лучше, чем $RalO_2$ [2,4].

Сравнение условий обескремнивания алюминатных растворов, обеспечивающих минимальное остаточное содержание диоксида кремния в растворах, с условиями их карбонизации, способствующими получению гидроксида алюминия, чистого по SiO_2 и R_2O , показывает [2-4], что для выделения чистого $Al(OH)_3$ из алюминатных растворов, по-видимому, целесообразно проводить их неглубокое обескремнивание, а карбонизацию частично обескремненных растворов осуществлять в условиях, обеспечивающих выделение $Al(OH)_3$ с заданными свойствами.

Целью настоящей работы было установление возможности проведения обескремнивания KAlO2 и RAlO2 с добавками гидромоносиликатов Me^{2+} (где Me^{2+} — Mg^{2+} , Ca^{2+} , Sr^{2+} , Ba^{2+}).

Экспериментальная часть

Для обоснования возможности применения гидромоносиликатов (ГМС) Me^{2+} в качестве обескремнивающих добавок и определения предела и условий перехода SiO_2 в твердую фазу при обескремнивании $KAlO_2$ и $RAlO_2$ с ГМС Me^{2+} необходимо знать величину их истинной растворимости в этих растворах. Эта величина, определяющая в конечном счете глубину обескремнивания, устанавливается по концентрации SiO_2 в равновесных растворах.

Исследование растворимости ГМС Me^{2+} в KAlO2 и RAlO2 и процесса их обескремнивания с добавками $MeSiO_3 \cdot nH_2O$ проводилось на синтетических алюминатных растворах, близких по составу к производственным растворам. Алюминатные растворы имели следующий состав, r/π : $R_2O_{\text{общ}} \cong 150$, $R_2O_{\text{кауст.}} \cong 135$, $R_2O_{\text{карб.}} \cong 15$, $Al_2O_3 \cong 85$, $SiO_2 \cong 3,7$ и $\alpha_{\text{кремн.}} \cong 23$ (при исследовании обескремнивания), $SiO_2 = 1,45$ $\alpha_{\text{кремн.}} \cong 58$ (при

исследовании растворимости ГМС Me^{2+}), $\alpha_{\text{кауст.}} \sim 1,69$, массовое отношение $K_2O: Na_2O$ в RAlO2 равно 8:2.

Растворимость ГМС Me^{2+} в $KAlO_2$ и $RAlO_2$ определяли в лабораторных автоклавчиках емкостью 25 $\mathit{mл}$, вращающихся "через голову" со скоростью 60 obl мин в термостате при температурах (Т) $100\text{-}175^{\circ}\mathrm{C}$ и продолжительности (τ)0,5-100 q до установления метастабильного или истинного равновесия. Обескремнивание $KAlO_2$ и $RAlO_2$ с добавкой ГМС Me^{2+} осуществляли в автоклаве емкостью 300 mn , снабженном якорной мешалкой (150 obl мин) и электрообогревом, при температурах $100\text{-}175^{\circ}\mathrm{C}$ и продолжительности 1-5 q .

Твердые и жидкие фазы, образующиеся в исследуемых процессах, изучали химическими, фотометрическими и кристаллооптическими методами, практикуемыми в глиноземной промышленности.

Исследование растворимости ГМС Me^{2+} показало, что взаимодействие всех гидромоносиликатов Me^{2+} с KAlO2 и RAlO2 имеет принципиально одинаковый характер. Оно характеризуется наличием двух периодов: интенсивного растворения исходного ГМС Me^{2+} до насыщения раствора диоксидом кремния (до установления метастабильного равновесия) и снижения содержания SiO_2 в растворах (до установления истинных равновесных концентраций). Как видно из табл. 1, время достижения метастабильного равновесия по SiO_2 (2,75-4,35 r/π) и значения истинных равновесных концентраций SiO_2 в KAlO2 и RAlO2 (0,32-0,59 r/π) зависят не только от общих факторов (температуры и относительного содержания Na_2O в RAlO2), но и от природы FMC Me^{2+} .

Время установления равновесия по SiO2 и значения метастабильных равновесных концентраций SiO2 в алюминатных растворах при прочих равных условиях увеличиваются в ряду $MgSiO_3 \rightarrow CaSiO_3 \rightarrow SrSiO_3 \rightarrow BaSiO_3$, а значения истинных равновесных концентраций SiO2 уменьшаются в ряду $CaSiO_3 \rightarrow SrSiO_3 \rightarrow BaSiO_3$ $\rightarrow MgSiO_3$ (TaGA.s1).sI/Зярассмотрен, яятаGA.s19, яможноязаключ, ть, ячтоя раствор, мостья $MeSiO_3 \cdot nH_2O$ 9 вя $KAIO_2$ 9, я $RAIO_2$ 9 вя 1.54-2.26 раза меньшея расGA.s19, мосGA.s19, хящелочных яг, дроалюмос, GA.s19, каGA.s29, я GA.s29, я GA

Равновесные концентрации SiO₂ (п/л) в алюминатных растворах при взаимодействии с ними гидромоносиликатов двухвалентных элементов

т (ч) – время установления равновесия

Метастабильные равновесные концентрации											
Т 06	,	MgSiO ₃ ·nH ₂			₂ O CaSiO ₃ ·nl		H ₂ O	SrSiO	₃·nH ₂ O	BaSiO	₃·nH ₂ O
T, °C		τ	SiC	O_2	τ	S	iO_2	τ	SiO_2	τ	SiO ₂
	Калиевые алюминатные растворы										
100		6	3,2	28	6	(7)	3,29	4	3,99	4	4,11
120		2	3,3	89	2	3	3,40	2	4,08	2	4,26
150		1	3,4	9	1	3	3,51	0,5	4,15	0,5	4,30
175		0,5	3,5	6	0,5	3	3,59	0,5	4,20	0,5	4,35
	Кал	ий-натр	иевые	алю	минатні	ые р	аствор	ы с масс	. отн. К2О	:Na2O=8	:2
100		4	2,7	¹ 5	4	2	2,75	4	3,86	4	4,07
120		2	3,0	8	2	3	3,16	1	4,00	1	4,08
150		1	3,1	7	1	3	3,20	0,5	4,08	0,5	4,15
175		0,5	3,2	27	0,5	3	3,28	0,5	4,18	0,5	4,21
			Ис	гинн	ые равн	овес	ные к	онцентра	ции		
T, °C	C MgSiO ₃ ·nH ₂ O			CaSiO ₃ ·nH ₂ O		SrSiC)₃·nH₂O	BaSiO ₃	nH ₂ O	ГАСК, ГАСН	
	l		I	Кали	евые алн	оми	натны	е раствој	ы	I	
100		0,52			0,59),58	0,5	8	1,050
120		0,50		0,54		0,52		0.50		0,965	
150		0,46		0,51		0,50		0,49		0,900	
175		0,45			0,50		0,48		0,4	0,47	
	Калий-натриевые алюминатные растворы с масс. отн. K ₂ O:Na ₂ O=8:2										
100		0,45			0,57		0,54		0,5	1	0,980
120		0,40		0,51		0,50		0,4	0,48		
150		0,37			0,50		(0,48	0,4	0,47	
175		0,32			0,47		(0,46	0,4	0,46	

Результаты проведенного одностадийного обескремнивания алюминатных растворов с добавкой ГМС Me²⁺ и, для сравнения, с CaO в наиболее характерных условиях представлены в табл. 2. Как видно, остаточное содержание SiO2 в растворах уменьшается по мере повышения температуры, увеличения продолжительности процесса, добавки ГМС Me^{2+} , уменьшения содержания в исходных растворах К2О от 100 до 80%, а также в зависимости природы гидромоносиликата ОТ $MgSiO_3 \rightarrow CaSiO_3 \rightarrow SrSiO_3 \rightarrow BaSiO_3$. Обескремнивающее действие на KAlO2 и RAlO2 одинаковых количеств добавляемых MgSiO3·nH2O и $CaSiO_3 \cdot nH_2O$ практически одинаково, а добавок $SrSiO_3 \cdot nH_2O$ и $BaSiO_3 \cdot nH_2O$ — более высокое, чем действие CaO, несмотря на меньшее атомарное отношение Me^{2+} в вводимых ГМС Me^{2+} (по сравнению с CaO) к раствора. табл. 3 приведены сравнительные условия обескремнивания KAlO₂ и RAlO₂ с добавками ГМС Me²⁺ до остаточного $\label{eq:Tаблица 2}$ Обескремнивание щелочных алюминатных растворов с добавкой гидромоносиликатов двухвалентных элементов

		Добавка гидромо-	Содержание SiO2 (п/л) в растворах после							
ТиоС ти		носиликата Me ²⁺ ,	обескремнивания с добавкой							
ТИС	$ u^{\circ}C _{q}$		MgSiO ₃ ·	СаSiO₃·я	SrSiO ₃ ·я	BaSiO ₃ ⋅я	СаОя			
		arGamma/arDelta	nH ₂ Оя	nH ₂ Oя	nH ₂ Оя	nH ₂ Оя				
-		Калиевые	яалюмина	2ныеярас2	ворыя					
	1я	0я	3и37я	3и37я	3и37я	3и37я	3и37я			
100я	1я	2ибя	3и31я	3и31я	3и30я	3и28я	3и30я			
	1я	25я	3и00я	3и05я	3и04я	3и02я	3и04я			
	1я	0я	2и₹0я	2и₹0я	2и₹0я	2и₹0я	2и₹0я			
150я	1я	2ибя	2и55я	2и50я	2и50я	2и50я	2и53я			
	1я	25я	1и14я	1и11я	1и00я	0и84я	1и10я			
	5я	0я	1и15я	1и15я	1и15я	1и15я	1и15я			
175я	5я	2ибя	0и∕96я	0и90я	0 к88я	0и82я	0и89я			
	5я	25я	0и40я	0ъ89я	0и34я	0и32я	0и42я			
Калий	і—н	а2риевыеяалюмина	2ныеярас:	2ворыясяма	асс.яо2н.я	K ₂ O:Na ₂ C) = 8:2 ₈			
	1я	0я	3и18я	3и18я	3и18я	3и18я	3и18я			
100я	1я	2ибя	3и10я	3и₁0я	3и₁0я	3и08я	3и08я			
	1я	25я	2и₹1я	2и₹1я	2и₹0я	2и₹0я	2и₹0я			
	2я	0я	2и45я	2и45я	2и45я	2и45я	2и45я			
135я	2я	2ибя	2и18я	1и99я	1и90я	1и50я	1и90я			
	2я	25я	1и19я	0и94я	0и70я	0и52я	0и88я			
	5я	0я	0и62я	0и62я	0и62я	0и62я	0и62я			
175я	5я	2ибя	0и60я	0иб6я	0иб4я	0и52я	0иб2я			
	5я	25я	0ъ9я	0и34я	0182я	0ъ80я	0ъЗя			

Я

Твердые фазы, образующиеся при взаимодействии KAlO2 и RAlO2 с ГМС Me^{2+} , согласно результатам химического и кристаллооптического анализов, состоят из карбогидроалюмосиликата магния, гидроалюмосиликатов кальция и бария, гидроалюмината стронция, гидросиликатов Me^{2+} , ГАСН и ГАСК.

Таблица 3 Условия обескремнивания щелочных алюминатных растворов с добавкой гидромоносиликатов двухвалентных элементов, обеспечивающие остаточное содержание SiO₂ в маточных растворах ≈0,90 $\rlap/$ $\rlap/$ $\rlap/$ $\rlap/$

A	MgSiO ₃ ·nH ₂ O			CaSiO ₃ ·nH ₂ O			SrSiO ₃ ·nH ₂ O			BaSiO ₃ ·nH ₂ O		
Алюминатные растворы	T, ∘C	τ, <i>ч</i>	l'' , ´	T, ∘C	τ, <i>ч</i>	добавка, <i>г</i> / <i>л</i>	T, ∘C	τ, <i>ч</i>	добавка, <i>г</i> / <i>л</i>	T, ∘C	τ, <i>ч</i>	добавка, <i>г</i> / <i>л</i>
Калиевые алюминатные растворы	120 150	5 2	22 22	120 150	5 2	21 20	120 150	5 2	18 17	120 150	5 1	16 24
Калий- натриевые алюминатные растворы (K ₂ O:Na ₂ O=8:2)	120 135	5	21 17	120 135	5	17 16	120 135	5 2	10 15	120 135	5 2	7 10

Обсуждение результатов

На основании литературных данных о свойствах ионов, атомов и химических соединений натрия, калия [4] и двухвалентных элементов [5-12] и анализа твердых и жидких фаз, образующихся при взаимодействии MeSiO₃·nH₂O с KAlO₂ и RAlO₂, можно следующим образом представить механизм этого процесса. Благодаря исключительно малому размеру иона $\mathrm{Si^{4+}}$ ($\mathrm{r_{s;^{4+}}}$ =0,39E) в сравнении с $\mathrm{r_{N_0+}}$ =0,98E и $\mathrm{r_{K^+}}$ =1,33E и высокой плотности зарядов на поверхности иона Si^{4+} (33,5 кулон/м²) в отличие от плотности зарядов на поверхности ионов Na^+ (1,33 кулон/ M^2) и K^+ (0,72 кулон/ M^2), происходит экранирование центрального иона Si⁴⁺ плотной сольватной оболочкой, тормозящей выделение его из щелочных (особенно калиевых) алюминатных растворов. Гидромоносиликаты Me²⁺, добавляемые к KAlO₂ и RAlO₂, разрушают сольватную структуру связанного кремния и выводят его из раствора в осадок. При этом происходят, по-видимому, такие реакции. Me^{2+} реагируют Гидромоносиликаты С каустической алюминатных растворов с разрывом связей Me^{2+} с ионом $[SiO_3]^{4-}$ и образованием при температурах до 150°C гидроалюминатов, а при температурах выше 150°С - гидроксидов соответствующих элементов и гидросиликатов калия и натрия [3]. Гидроксиды Me²⁺ реагируют с алюминатами и карбонатами калия и натрия алюминатных растворов, образуя карбогидроалюминат магния 4MqO·Al₂O₃·CO₂·H₂O [13] и гидроалюминаты кальция, стронция и бария $3\text{MeO·Al}_2\text{O}_3\cdot6\text{H}_2\text{O}$ [7,14,15], а с растворенным SiO₂ – гидросиликаты Me²⁺. Карбогидроалюминат магния и гидроалюминаты кальция и бария вступают во взаимодействие с SiO2 алюминатного раствора с образованием твердых растворов гидрогранатов [13,16]4MgO·Al₂O₃·SiO₂·CO₂·9H₂O $3\text{MeO}\cdot\text{Al}_2\text{O}_3\cdot\text{nSiO}_2\cdot(6-2\text{n})\text{H}_2\text{O}$. Гидроалюминат стронция раствора с SiO₂ не образует [14].

Различное влияние исследованных ГМС Me^{2+} на результаты процесса обескремнивания $KAlO_2$ и $RAlO_2$ вызвано различными свойствами и поведением ионов, атомов и соединений Me^{2+} . Уменьшение времени установления равновесия по SiO_2 и повышение значений метастабильных равновесных концентраций SiO_2 в алюминатных растворах в ряду $MgSiO_3 \rightarrow CaSiO_3 \rightarrow SrSiO_3 \rightarrow BaSiO_3$ (табл. 1) можно, по всей вероятности, объяснить тем, что гидратационная активность ГМС Me^{2+} в существенной степени зависит от вида катиона и определятся его электронной конфигурацией и свойствами. При одинаковой внешней электронной конфигурации ионы Mg^{2+} , Ca^{2+} , Sr^{2+} и Ba^{2+} отличаются друг от друга строением. В ряду формально изовалентных, но различных по размеру

ионов ${
m Mg^{2+}}{
m \to} {
m Ba^{2+}}$ уменьшается величина вторых ионизационных потенциалов, уменьшается прочность связи внешних валентных электронов с ядром и возрастает экранирующий эффект [11]. Естественно, ослабление силы связи валентных электронов при переходе от ${
m Mg^{2+}}$ к ${
m Ba^{2+}}$ влияет на характер химической связи, образуемой катионами ${
m Me^{2+}}$ с анионом ${
m [SiO_3]^4}$. Поскольку процесс взаимодействия исходных ГМС ${
m Me^{2+}}$ с водой и каустической щелочью алюминатного раствора предполагает разрыв этой связи, гидратационная активность ${
m MeSiO_3}{
m \cdot}{
m nH_2}{
m O}$ будет возрастать, а свободная энергия гидратации ионов будет соответственно убывать в ряду ${
m Mg^{2+}}{
m \rightarrow}{
m Ba^{2+}}$ [8].

Уменьшение значений истинных равновесных концентраций SiO2 в KAlO2 и RAlO2 при взаимодействии с ними ГМС Me^{2+} в ряду $CaSiO_3 \rightarrow SrSiO_3 \rightarrow BaSiO_3$ объясняется тем, что в направлении от Mg^{2+} к Ba^{2+} возрастает основной характер гидроксидов, повышается их растворимость в водных растворах, увеличивается константа диссоциации, облегчается взаимодействие $Me(OH)_2$ с Al_2O_3 в гидротермальных условиях и ускоряется гидротермальный синтез алюмосиликатных фаз [6,9]. Причиной наименьших значений истинных равновесных концентраций SiO_2 в алюминатных растворах, взаимодействующих с $MgSiO_3 \cdot nH_2O_3$, является, вероятно, более быстрое насыщение диоксидом кремния карбогидроалюмината магния, чем гидроалюминатов кальция и бария.

Из исследованных ГМС Me^{2+} лучшей обескремнивающей способностью для $KAlO_2$ и $RAlO_2$ обладают $SrSiO_3 \cdot nH_2O$ и $BaSiO_3 \cdot nH_2O$ (табл. 2,3), что объясняется приведенными выше свойствами ГМС Me^{2+} , а также изоморфизмом Sr^{2+} и Ba^{2+} с K^+ , особенно характерным для силикатных систем, и возможностью замещения иона K^+ ионами Sr^{2+} и Ba^{2+} [17-20].

Твердые фазы, образующиеся при обескремнивании KAlO2 и RAlO2 Me^{2+} , целесообразно гидромоносиликатами перерабатывать регенерации оксидов алюминия и двухвалентных металлов спеканием и выщелачиванием. Такие твердые фазы опробованы нами в качестве абразивной составляющей чистящих паст. Испытания показали, что паста, состоящая в основном (на 88-94%) из твердых фаз указанного ранее состава с добавкой небольших количеств неионогенного поверхностно-активного вещества (ОП-7) и триполифосфата натрия, обладает высокой чистящей способностью и производительностью, хорошими эксплуатационными свойствами. Паста гигиенична в работе, не токсична, легко смывается с любых поверхностей холодной водой. Она может быть использована для чистки загрязненных твердых глазурованных и неглазурованных поверхностей (стекло, фарфор, фаянс, керамика, санитарно-техническое оборудование).

Таким образом, можно заключить, что SrSiO₃·nH₂O и BaSiO₃·nH₂O являются хорошими обескремнивающими добавками к калиевым и преимущественно калиевым алюминатным растворам. Вырьируя

температуру, продолжительность обескремнивания и дозировку MeSiO₃(nH₂O, можно в определенных условиях перевести в твердую фазу из калиевых и калий-натриевых алюминатных растворов, содержащих SiO₂ на уровне условной метастабильной концентрации, основное количество (более 70%) диоксида кремния, а содержание SiO₂ в KAlO₂ и RAlO₂, направляемых на карбонизацию, снизить до значений, близких к истинным равновесным концентрациям SiO₂ в системе $K_2O-Al_2O_3-SiO_2-H_2O$.

ԿԱԼԻՈՒՄԱԿԱՆ ԵՎ ԱՌԱՎԵԼԱՊԵՍ ԿԱԼԻՈՒՄԱԿԱՆ ԱԼՅՈՒՄԻՆԱՏԱՅԻՆ ԼՈՒԾՈՒՅԹՆԵՐԻ ՍՏԱՅՈՒՄԸ ՍԻԼԻԿԱՀՈՂ ՊԱՐՈՒՆԱԿՈՒԹՅԱՄԲ՝ ՄՈՏԻԿ SiO₂-Ի ԻՍԿԱԿԱՆ ՀԱՎԱՍԱՐԱԿՇԻՌ ԿՈՆՅԵՆՏՐԱՑԻԱՅԻՆ

ՄՈՏԻԿ ՏiO₂-Ի ԻՍԿԱԿԱՆ ՀԱՎԱՍԱՐԱԿՇԻՌ ԿՈՆՑԵՆՏՐԱՑԻԱՅԻՆ K₂O–Al₂O₃–SiO₂–H₂O ՀԱՄԱԿԱՐԳՈՒՄ

Ա. Ա. ԽԱՆԱՄԻՐՈՎԱ, Լ. Պ. ԱՊՐԵՍՑԱՆ և Հ. Ռ. ՀԱԴԻՄՈՍՑԱՆ

Ապացուցված է, որ երկարժեք տարրերի հիդրոմիասիլիկատները հանդիսանում են կալիումական և կալիում-նատրիումական ալյումինատային լուծույթների լավ սիլիկազերծող հավելանյութեր։

Մեղմ պայմաններում կալիումական և առավելապես կալիումական ալյումինատային լուծույթների հետ MgSiO₃-nH₂O, CaSiO₃-nH₂O, SrSiO₃-nH₂O, BaSiO₃-nH₂O փոխազդեցության ժամանակ լուծույթներից պինդ ֆազ տեղափոխվում 75% ավել լուծված սիլիկահող, իսկ սիլիկազերծված և կարբոնացման ուղարկվող լուծույթների մեջ SiO₂-ի քանակը փոքրանում է մինչև իսկական հավասարակշիռ կոնցենտրացիայի K₂O-Al₂O₃-SiO₂-H₂O համակարգում։

OBTAINING POTASSIUM AND MAINLY POTASSIUM ALUMINATE SOLUTIONS CONTAINING SILICONE DIOXIDE, SIMILAR TO THE TRUE EQUILIBRIUM CONCENTRATION OF SiO_2 IN $K_2O-Al_2O_3-SiO_2-H_2O$ SYSTEM

A. A. KHANAMIROVA, L. P. APRESSYAN, and H. R. ADIMOSYAN

It has been shown that bivalent element hydromonosilicates are good disiliconizating additions for potassium and potassium-sodium aluminate solutions. During MgSiO $_3$ ·nH $_2$ O, CaSiO $_3$ ·nH $_2$ O, SrSiO $_3$ ·nH $_2$ O and BaSiO $_3$ ·nH $_2$ O interaction with potassium and mainly potassium aluminate solutions in soft conditions, more than 75% of dissolved silicon dioxide transferred into the solid phase and SiO $_2$ content in disiliconizated solutions that are being send to carbonization, diminished to the meanings, which are similar to the true equilibrium concentrations of SiO $_2$ in K $_2$ O-Al $_2$ O $_3$ -SiO $_2$ -H $_2$ O system.

ЛИТЕРАТУРА

- [1] Глинозем. Технические требования. ГОСТ 6912.1-93.
- [2] Ханамирова А.А. Глинозем и пути уменьшения содержания в нем примесей. Ереван, Изд. АН Арм.ССР, 1983, с. 243.
- [3] Лайнер А.И., Еремин Н.И., Лайнер Ю.А., Певзнер И.З. Производство глинозема. М., Металлургия, 1978, с. 344.
- [4] *Манвелян М.Г., Ханамирова А.А.* Обескремнивание щелочных алюминатных растворов. Ереван, Изд. АН Арм.ССР, 1973, с. 300.
- [5] Кондратьева И.П. // ЖНХ, 1996, т. 11, №10, с. 2207.
- [6] *Коттон Ф., Уилкинсон Дж.* Современная неорганическая химия. М., Мир, 1969, ч. 2, с. 494.
- [7] Дент-Глассер Л.С. // Кристаллография, 1971, т. 16, №6, с. 1188.
- [8] Басоло Ф., Пирсон Р. Механизмы неорганических реакций. М., Мир, 1971, с. 592.
- [9] Овраменко Н.Л., Овчаренко Ф.Д. // ДАН СССР, 1974, т. 219, №3, с. 617.
- [10] *Гурвич Л.В. и др.* Энергия разрыва химических связей. Потенциалы ионизации и сродство к электрону. М., Наука, 1974, с. 351.
- [11] Каушанский В.Е., Тимашов В.В. // ЖПХ, 1975, т. 48, №11, с. 2402.
- [12] Кислотно-основные свойства химических соединений элементов, минералов, горных пород и природных растворов. М., Наука, 1982, с. 396.
- [13] Волкова Н.С., Еремин Н.И. Теория и практика обескремнивания алюминатных растворов. М., Металлургиздат, 1971, с. 61.
- [14] Carlson E.T. // J. Res. Nat. Bur. Standarts, 1955, v. 54, Nº2, p. 329.
- [15] Невский Н.Н. // ДАН СССР, 1982, т. 264, №4, с. 857.
- [16] Аракелян О.И., Чистякова А.А. // Труды ВАМИ, 1965, №54-55, с. 121.
- [17] *Торопов Н.А., Исматов А.А.* // ДАН СССР, 1868, т. 180, \mathbb{N}^{0} 4, с. 889.
- [18] Винчелл Л.Н., Винчелл Г.В. Оптические свойства искусственных минералов. М., Мир, 1969, с. 458.
- [19] Урусов В.С. // Изв. АН СССР (неорг. матер.), 1970, т. 6, №7, с. 1229.
- [20] Эйтель В. Физическая химия силикатов. М., ИЛ, 1962, с. 1055.

ՀԱՅԱՍՏԱՆԻ ՀԱՆՐԱՊԵՏՈՒԹՅԱՆ ԳԻՏՈՒԹՅՈՒՆՆԵՐԻ ԱԶԳԱՅԻՆ ԱԿԱԴԵՄԻԱ

НАЦИОНАЛЬНАЯ АКАДЕМИЯ НАУК РЕСПУБЛИКИ АРМЕНИЯ

Հայաստանի քիմիական հանդես 55, №1-2, 2002 Химический журнал Армении

УДК 543.4+543.426+546.59+668.813

ЭКСТРАКЦИОННО-ФЛУОРИМЕТРИЧЕСКОЕ ОПРЕДЕЛЕНИЕ МИКРОКОЛИЧЕСТВ ЗОЛОТА(Ш) ОСНОВНЫМ КРАСИТЕЛЕМ АКРИДИНОВОГО РЯДА РИВАНОЛОМ В СОЛЯНОКИСЛОЙ СРЕДЕ

Н. О. ГЕОКЧЯН, К. Х. АВАКЯН, А. А. ЕГИАЗАРЯН, Дж. А. МИКАЕЛЯН и А. Г. ХАЧАТРЯН

Ереванский государственный университет

Поступило 18 VII 2000

Изучено взаимодействие хлоридного анионного комплекса золота (III) с органическим основным красителем акридинового ряда риванолом в солянокислой среде. Образующийся ионный ассоциат экстрагируется дихлорэтаном. Максимальное светопоглощение и флюоресценция наблюдаются при λ =370 и 490 μ , соответственно. Установлены оптимальные условия образования ионного ассоциата хлораурата (III) риванола и его экстракции в органическую фазу: кислотность водной фазы, концентрация реагента-красителя, диапазон определяемых содержаний золота (III). Изучена избирательность экстракции хлораурата (III) риванола в присутствии ряда мешающих и сопутствующих ионов.

Разработана методика экстракционно-флуориметрического определения микрограммовых количеств золота (III) в сульфидных рудах.

Табл. 1, библ. ссылок 6.

Риванол — 2-этокси-6,9-диаминоакридина лактат-моногидрат — является диаминопроизводным акридина. Он успешно применен нами для экстракционно-флуориметрического определения микрограммовых количеств благородных металлов в сульфидных рудах [1,2].

Из красителей акридинового ряда ранее для экстракционнофлуориметрического определения микроколичеств золота в качестве реагентов применялись акридиновый оранжевый, акридиновый желтый и акрифлавин [3-5]. Преимуществом акридиновых красителей перед широко распространенными родаминовыми красителями (в частности, риванола перед другими акридиновыми красителями) является низкое фоновое излучение органических экстрактов, обусловленное незначительным извлечением простых солей при экстракции как дихлорэтаном, так и сложными эфирами уксусной кислоты. По этой причине акридиновые красители, и особенно риванол, отличаются высокой избирательностью и низкими пределами обнаружения при определении микроколичеств целого ряда элементов.

В данной работе изучена флуоресцентная реакция золота(III) с риванолом и разработан экстракционно-флуориметрический метод определения микрограммовых количеств золота в солянокислой среде.

Стандартный раствор золота(III) готовили по методике, описанной в [6]. Раствор риванола готовили путем растворения точной навески предварительно перекристаллизованного медицинского препарата в теплой дистиллированной воде. Равновесные значения рН водных фаз измеряли при помощи рН-метра-милливольтметра "рН-121". Спектры светопоглощения органических экстрактов и водных растворов снимали на спектрофотометре "СФ-16". Спектры и интенсивность флуоресценции органических экстрактов измеряли на спектрофлуориметре "МРГ-43В" фирмы "Перкин-Элмер".

С целью выбора наиболее подходящего экстрагента были испробованы различные органические растворители: бензол и его гомологи, сложные эфиры уксусной кислоты, хлорзамещенные углеводороды, а также их бинарные смеси. Наиболее эффективным экстрагентом, обеспечивающим максимальные значения дифференциальной интенсивности флуоресценции экстрактов хлораурата(III) риванола и минимальные — фоновой флуоресценции "холостых" экстрактов, оказался дихлорэтан. Соотношение объемов водной и органической фаз 1:1 (по 5 мл каждой).

Максимумы на спектрах возбуждения и испускания дихлорэтановых экстрактов образующегося в системе ионного ассоциата хлораурата(III) риванола наблюдаются при 370 и 490 *нм* соответственно. Флуоресценцию возбуждали монохроматическим световым потоком, генерируемым ксеноновой лампой. В качестве диспергирующего элемента использовалась дифракционная решетка (1440 *штрих/мм*).

Дифференциальную интенсивность флуоресценции (разность между интенсивностью флуоресценции экстрактов хлораурата(III) риванола (I) и интенсивностью флуоресценции "холостых" экстрактов, не содержащих золото(III) (I $_{0}$)) измеряли в широком интервале кислотности водной фазы pH от 4,0 до 7,0 моль/ $_{\pi}$ по соляной кислоте. Максимальную и постоянную интенсивность флуоресценции имеют экстракты, полученные из водных растворов с кислотностью pH от 1,0 до 0,5 моль/ $_{\pi}$. Исходя из практических соображений в дальнейшем экстракцию проводили из водных растворов с концентрацией соляной кислоты 0,5 моль/ $_{\pi}$. В указанной области кислотности интенсивность флуоресценции экстрактов ионного ассоциата хлораурата(III) риванола достигает максимального значения при добавлении в водную фазу 2,0-2,4 $_{\pi\pi}$ 0,04% раствора риванола.

В установленных оптимальных условиях при равных объемах водной и органической фаз фактор извлечения ионного ассоциата хлораурата(III) риванола дихлорэтаном составляет R=85%. Равновесие экстракции устанавливается после встряхивания в течение одной минуты. Интенсивность флуоресценции дихлорэтановых экстрактов ионного ассоциата хлораурата(III) риванола остается постоянной в течение 2 суток.

В оптимальных для образования и экстракции хлораурата (III) риванола условиях изучена зависимость интенсивности флуоресценции указанных экстрактов от концентрации золота (III) в водной фазе. Линейная зависимость наблюдается в интервале концентраций золота (III) 0.70-4.25 мкг/мл.

Изучено также мешающее влияние различных посторонних ионов на экстракцию ионного ассоциата хлораурата(III) риванола дихлорэтаном. Полученные данные приведены в таблице.

 $\begin{tabular}{ll} $\it Tаблица$ \\ \begin{tabular}{ll} \it Допустимые мольные соотношения сопутствующих ионов \\ при экстракционно-флуориметрическом определении \\ \it 30лота(Ш) при концентрации 1,2 <math>\cdot 10^{-5}$ *моль*/ π

Ион элемента	Соотношение [элемент]/[Аи(III)]						
Ni ²⁺	4,1·10 ⁴						
Co ²⁺	4,1·10 ⁴						
Ca ²⁺	4,1·10 ⁴						
Mg^{2+}	4,1·10 ⁴						
Al ³⁺	3,3·10 ⁴						
Cd ²⁺	2,5·10 ⁴						
Mn ²⁺	4,1·10 ⁴						
Zn ²⁺	5,0·10 ⁴						
Cu ²⁺	0,8·10 ³						
Определению золота не	Определению золота не мешают также 100-кратные						
количества NO ₃ -ионов							
Определению мешают Tl(III) и Sb(V):							
в виде йодидного ком	иплекса – Pt(IV) и Pd(II).						

На основании полученных результатов разработана методика экстракционно-флуориметрического определения золота в сульфидных рудах.

Ход анализа. Навеску тонкоизмельченного образца сульфидной руды или золотосодержащего концентрата (около 1,0 *r*) обрабатывают 10 *мл* смеси (1:3) концентрированных соляной и азотной кислот. После прекращения бурной реакции добавляют соляную кислоту и упаривают до влажных солей, повторяя указанную операцию еще два-три раза. Остаток растворяют в 20-30 *мл* горячей дистиллированной воды, отфильтровывают и промывают остаток на фильтре горячей водой. К фильтрату добавляют раствор,

содержащий 0.15 r теллура в виде теллурита натрия и 4-5 $m\pi$ концентрированной соляной кислоты, нагревают до кипения и добавляют 15 мл 20% раствора хлорида олова(II) в соляной кислоте. Образующийся осадок отфильтровывают и на фильтре обрабатывают разбавленной (1:20) соляной кислотой, содержащей несколько капель концентрированной азотной кислоты. Фильтрат собирают в химический стакан, а осадок на фильтре промывают горячей дистиллированной водой. Фильтрат и промывные воды объединяют и добавляют 1,0 мл 30% раствора пероксида водорода, 5 мл соляной кислоты и выпаривают досуха на водяной бане при температуре 80°C. Сухой остаток растворяют в 0,1 *моль*/л соляной кислоты, переносят в мерную колбу вместимостью 100 мл и доводят объем до метки. Переносят аликвотный объем полученного раствора в делительную воронку, добавляют 2,2 мл 0,04% раствора риванола и доводят объем водной фазы до 5,0 мл при помощи 0,5 моль/л раствора соляной кислоты. Встряхивают с 5,0 мл дихлорэтана в течение одной минуты и после фаз измеряют на спектрофлуориметре интенсивность разделения флуоресценции полученного экстракта.

Содержание золота рассчитывают из данных градуировочного графика или по методу добавок.

В стандартном образце золотосодержащей руды с паспортным содержанием золота 4,30 r/r (определено пробирным методом) найдено золота по предлагаемой методике 4,48 r/r; при числе параллельных определений n=6, P=0,95 и $s_r=0,096$.

ՈՄԿՈՒ(III) ՄԻԿՐՈՔԱՆԱԿՆԵՐԻ ԷՔՍՏՐԱԿՑԻՈՆ-ՖԼՈՒՈՐԱՉԱՓԱԿԱՆ ՈՐՈՇՈՒՄԸ ԱԿՐԻԴԻՆԱՅԻՆ ՀԻՄՆԱՅԻՆ ՆԵՐԿԱՆՅՈՒԹ՝ ՐԻՎԱՆՈԼՈՎ ԱՂԱԹԹՎԱՅԻՆ ՄԻՋԱՎԱՅՐՈՒՄ

Ն. Օ. ԳՅՈԿՉՅԱՆ, Կ. Խ. ԱՎԱԳՅԱՆ., Ա. Ա. ԵՂԻԱՋԱՐՅԱՆ, Ջ. Ա. ՄԻՔԱՅԵԼՅԱՆ և Հ. Գ. ԽԱՉԱՏՐՅԱՆ

Աղաթթվային միջավայրից րիվանոյով քյորաուրատը յուծահանելու համար առավել արդյունավետ էքստրագենտ է հադիսանում դիքյորէթանը, որն ապահովում է իոնական ասոցիատի օրգանական էքստրակտների օպտիկական խտության և ֆյուորեսցենցիայի ինտենսիվության առավել "կույր" էքստրակտների օպտիկական խտության իսկ ֆյուորեսցենցիայի ինտենսիվության՝ նվազագույն արժեքներ։ Լուսակյանման և լուսարձակման (ֆյուորեսցենցիայի) սպեկտրներում մաքսիմումները դիտվում են համապատասխանաբար 370 և 490 նմ ալիքների տակ։ Ջրալին ֆազի օպտիմալ թթվության տիրույթն է՝ pH 1,0 – 0,5 մոլ/լ ըստ աղաթթվի։ Րիվանոլի օպտիմալ կոնցենտրացիան ապահովվում է (2,0-2,4) մլ 0,04% լուծույթի ավելացմամբ։ Կորզման աստիձանը R = 85,0%։ Իոնական ասոցիատր կայուն է ondu րնթացքում։ Ոսկու(III) որոշվող կոնցենտրացիաների սահմաններն են՝ 0,7-4,25 մկգ ջրային ֆազի մեկ միլիլիտրում։ Ուսումնասիրվել է ոսկուն ուղեկցող և խանգարող մի շարք իոնների ազդեցությունը րիվանոլով նրա լուծահանման գործընթացի վրա։ Որոշմանը խանգարում են Tl(III), Sb(V), ինչպես նաև Pt(IV) և Pd(II) իոնները յոդիդային կոմպլեքսների ձևով։ Մշակվել է րիվանոլով ոսկու միկրոքանակների որոշման էքստրակցիոն-ֆլուորաչափական եղանակ, որը կիրառվել է սուլֆիդային հանքերում։

EXTRACTION-FLUORIMETRIC DETERMINATION OF GOLD(III) MICROQUANTITIES USING RIVANOL ACRIDINIC BASIC DYE IN HYDROCHLORIC ACID MEDIUM

N. O. GEOKCHYAN, K. Kh. AVAKYAN, A. A. EGHIAZARYAN, J. A. MICKAELYAN and H. G. KHACHATRYAN

Dichloroethane could serve as most efficient extragent for extracting chloroaurate(III) from hydrochloric acid solutions. It prove the maximal optical density and intensity of fluorescence of organic extracts leaving in the same time corresponding characteristics of "blind" extracts minimal.

The maximal optical density and intensity of fluorescence of organic extracts observed at 370 and 490 *nm* correspondingly.

The optimal acidity range for aqueous phases is pH 1,0-0,5 mol/l by hydrochloric acid. The optimal concentration of Rivanol is proved by adding of (2,0-2,4) ml 0,04% aqueous solution.

The extraction factor R = 85%. The optical density and intensity of fluorescence of dichloroethanic extracts of ionic associates are invariable during two days.

The boundaries of gold determining concentrations are $0,7-4,25 \ mcg$ per $1 \ ml$ of aqueous phase.

The influence of series of accompanying and interfering ions on the extraction of gold has been studied. It has been estimated that Tl(III), Sb(V), as well as Pt(IV) and Pd(II) by means of iodide complexes, interfere on gold determination by Rivanol.

An extraction-fluorimetric method for gold determination in the sulfide ores.

ЛИТЕРАТУРА

- [1] *Микаелян Дж.А., Григорян Л.А.* Тезисы докладов Республиканского совещания "Физико-химический анализ неорганических соединений", Ереван, изд. ЕГУ, 1986, с. 19
- [2] $\it Микаелян$ Дж.А., $\it Xачатрян$ А.Г. // Укр. хим. ж., 1988, т. 54, №5, с. 522.
- [3] *Григорян Л.А., Микаелян Дж.А., Тараян В.М.* // Заводская лаборатория, 1982, т. 48, №7, с. 19.
- [4] Григорян Л.А., Микаелян Дж.А., Тараян В.М. // Арм. хим. ж., 1980, т. 33, №7, с. 545.
- [5] *Григорян Л.А., Микаелян Дж.А., Тараян В.М.* // Журнал аналитической химии, 1980, т. 35, №1, с. 45.
- [6] *Геокчян Н.О., Егиазарян А.А., Микаелян Дж.А., Хачатрян А.Г.* // Уч. зап. ЕГУ, 1998, №2, с. 110.

ՀԱՅԱՍՏԱՆԻ ՀԱՆՐԱՊԵՏՈՒԹՅԱՆ ԳԻՏՈՒԹՅՈՒՆՆԵՐԻ ԱԶԳԱՅԻՆ ԱԿԱԴԵՄԻԱ

НАЦИОНАЛЬНАЯ АКАДЕМИЯ НАУК РЕСПУБЛИКИ АРМЕНИЯ

Հшишиншић рћићшиши ћшићи 55, №1-2, 2002 Химический журнал Армении

УДК 543742 + 546.562 + 547.288.4

ВЗАИМОДЕЙСТВИЕ МЕДИ С НЕКОТОРЫМИ НЕПРЕДЕЛЬНЫМИ ДИАЛКИЛАМИНООКСИМАМИ

С. В. ВАРТАНЯН, В. Е. КАРАПЕТЯН, Н. П. ЧУРКИНА, Φ . С. КИНОЯН и С. Т. КОЧАРЯН

Ереванский государственный университет Институт органической химии НАН Республики Армения, Ереван

Поступило 29 XII 1997

Методами УФ и ИК спектроскопии доказано образование комплексов меди (II) с оксимами. Методами ионообменной хроматографии и электрофореза установлено, что комплексы не заряжены. Два из исследуемых комплексов предложены как индикаторы при титровании слабых кислот слабыми основаниями.

Табл. 1, библ. ссылок 6.

Ранее было показано, что синтезированные нами оксимы ненасыщенных диалкиламинокетонов являются ценными реагентами для фотометрического определения меди [1,2]. Выяснилось, что некоторые из них отличаются избирательностью по отношению к меди и позволяют определить ее в присутствии большого количества сопутствующих элементов. Во всех случаях взаимодействие происходит в слабощелочной среде с образованием комплексных соединений желто-зеленого цвета с мольным соотношением Си (II): R=1:2. На электронных спектрах поглощения максимумы светопоглощения находятся при 370-380 *нм*.

Настоящая работа посвящена выявлению степени окисления меди в комплексах, т.к. возможно предварительное восстановление меди (II) оксимами; определению заряда образовавшихся комплексов для представления вида связи и типа комплексных соединений; определению возможности применения этих комплексов как кислотно-основных индикаторов.

Экспериментальная часть

Методики синтеза оксимов приведены в предыдущих сообщениях [1,2]. Для выяснения представленных задач использованы оксимы 3-диметиламино-5-гексен-, 3-(N-пиперидил)-5-гексен-, 3-(N-морфолил)-5-гексен- и 3-диметиламино-4-фенилбутан-2-онов.

а) Определение степени окисления меди в комплексах. В литературе имеются примеры, когда до комплексообразования идет окисление или восстановление металл-иона реагентом, после чего происходит образование комплекса [3]. Комплексы были получены следующим образом: к 2,0 мл 10-2 М раствора Си (II) добавлено по 5,0 мл 10-2 М растворов реагентов, 0,5 мл 10% раствора NH4OH; после разбавления водой до 25 мл комплексы экстрагированы хлороформом. После выпаривания экстрагента сухие остатки растворены в воде (зеленые растворы). После разложения комплексов серной кислотой в растворе проведены качественные реакции обнаружения Си (II) и Си (I). Для обнаружения Си (II) к аликвотной части раствора добавлен К1, через 5 мин центрифугированием отделен осадок, который после промывания водой стал белым (СиI), в растворе крахмалом был обнаружен I2. Полученные данные свидетельствуют о присутствии в растворе Си (II).

В другой части раствора капельным методом проведено обнаружение Cu (I). Для этого на фильтровальной бумаге исследовано взаимодействие раствора с $AgNO_3$. Отсутствие черного пятна на бумаге свидетельствует о том, что ионов Cu (I) в растворе нет.

Таким образом, в исследуемых комплексах медь находится в степени окисления +2.

б) Определение заряда образовавшихся комплексов проведено методами ионообменной хроматографии и электрофореза.

При хроматографическом методе применены катионит КУ-2 (в Нформе) и анионит АВ-17 (в ОН-форме). Водные растворы комплексов получены как описано выше. Полученные водные растворы разделены на 2 части и пропущены через катионит и анионит. В обоих случаях окрашенные комплексы полностью переходили в раствор. Это дает право предположить, что комплексы являются электронейтральными. Электрофорез проведен на приборе Чайковского. После помещения водных растворов в прибор и включения тока в течение 30 мин граница раздела комплекс-побочный раствор не передвигалась, что еще раз подтверждает нейтральность комплексов.

Для определения характера взаимодействия Cu (II) с исследуемыми оксимами были сняты УФ и ИК спектры реагентов и полученных соединений. Соединения получены двумя способами. В первом случае к 5 $m\pi$ 10^{-2} М раствора Cu (II) добавлено по 10,0 $m\pi$ 10^{-2} М растворов реагентов и 0,5 $m\pi$ 10% NH4OH. Полученные растворы объединены и высушены на

водяной бане. Во втором случае комплексы получены добавлением к 5 $\it m\pi$ 10^{-2} М раствора Cu (II) по 15,0 $\it m\pi$ 10^{-2} М растворов реагентов, 0,5 $\it m\pi$ 10% NH4OH и экстрагированы хлороформом. В обоих случаях для каждого реагента поставлено параллельно 5-6 опытов. После объединения экстрактов растворитель удален при комнатной температуре. Для сухих остатков (0,1-0,12 $\it r$) сняты УФ и ИК спектры. Полученные данные приведены в таблице.

 $\label{eq:2.2} \textit{Таблица}$ Данные УФ и ИК спектров реагентов и полученных соединений

	λ_{max}	λ_{max}	ИК спектры	ИК спектры	
Формула розголия	реагента, полученных		реагентов, см	полученных	
Формула реагента	HM	соединений,	1	соединений,	
		HM		CM ¹	
	204	205, 225	905, 995	900, 990,	
ÇH ₂ CH=CH ₂		275, 360	1640, 3080	1635, 3085	
			$(CH = CH_2),$	$(CH = CH_2),$	
(CH ₃) ₂ NCH – C=NOH			1660(C = N)	1650(C = N)	
			3200 - 3500	950 $(N - O)$,	
CH ₃			(OH), 930	630 (Me $-$ O)	
			(N-O)		
	204	205, 228,	710, 770,	705, 760,	
a		288, 370	1610, 1875	1600, 1870,	
CH₂—♥			1950, 3030	1955, 3030,	
			$3065 (C_6H_5),$	$3060 (C_6H_5),$	
$(CH_3)_2NCH - C=NOH$			1660 (C = N),	1650 (C=N),	
			3200 - 3500	950 (N-O),	
CH ₃			(OH), 930	630 (Me – O)	
			(N – O)		

Как видно из таблицы, в УФ спектрах соединений появляются новые максимумы при 225, 275-288, 360-370 μ M, свидетельствующие об образовании новых соединений – комплексов. При сравнении ИК спектров видно, что в них исчезает полоса поглощения ОН-группы при 3200-3500 μ M гм место которой появляется новая полоса поглощения при 630 μ M гм характерная для МеО-группы. На основании этого можно сделать вывод, что при взаимодействии Си (II) с исследуемыми оксимами происходит обмен водородов ОН-группы на Си (II) [4,5].

Исходя из вышеизложенного образовавшиеся комплексы можно представить следующей общей формулой:

$$R' - CH_2 - CH - N - R_2$$
 $R_2 - N - CH - CH_2 - R'$
 $C = N - O - Cu - O - N = C$
 CH_3 CH_3

 $R'=C_6H_5$, $CH=CH_2$ $R_2=(CH_3)_2$ $(CH_2)_5$, $(CH_2-CH_2)_2O$

в) Определение возможности применения комплексов как кислотноосновных индикаторов. Показано, что полученные комплексы имеют желто-зеленую окраску только в слабощелочной среде, а в кислой – бесцветны, и переход окраски является обратимым. Он наблюдается при рН 7.

Это навело на мысль, что комплексы могут применяться как кислотноосновные индикаторы. Наибольший интерес такие индикаторы представляют при титровании слабых кислот слабыми основаниями (или наоборот), т.к. в этом случае известные pH-индикаторы не пригодны из-за отсутствия скачка pH вблизи конечной точки титрования [6].

Нами была изучена возможность титрования уксусной кислоты гидроксидом аммония и наоборот. Точные концентрации растворов были установлены потенциометрическим титрованием с рабочими растворами NaOH или HCl. Для титрования были взяты два аликвотных раствора уксусной кислоты ($N_{\text{CH}_3\text{COOH}}=0.055$) или аммиака ($N_{\text{NH}_4\text{OH}}=0.032$), добавлены 0,25 *мл* заранее приготовленных смесей (Cu (II): реагент = 1:2). Появление или исчезновение желто-зеленой окраски совпало с конечной точкой титрования (рH 7). Выяснилось, что два из изученных комплексов с лигандами 3-(N-морфолил)-5-гексен- и 3-(N-пиперидил)-5-гексен-2-онов могут быть предложены как индикаторы при титровании слабых кислот слабыми основаниями. Относительная ошибка титрования не превышает $\pm 1.7\%$. Подобного вида индикаторы применяются и в других методах титриметрического анализа, например, в окислительно-восстановительном [6]. Что касается их применения в реакции кислотно-основного титрования, то такие данные в литературе не известны и описаны нами впервые.

ՊՂԻՆՁ(II)-Ի ԵՎ ՄԻ ՔԱՆԻ ՉՀԱԳԵՑԱԾ α-ԴԻԱԼԿԻԼԱՄԻՆՕՔՍԻՄՆԵՐԻ ՓՈԽԱԶԴԵՑՈՒԹՅԱՆ ՄԱՍԻՆ

Մ. Վ. ՎԱՐԴԱՆՅԱՆ, Վ. Ե. ԿԱՐԱՊԵՏՅԱՆ, Ն. Պ. ՉՈՒՐԿԻՆԱ, Ֆ. Մ. ՔԻՆՈՅԱՆ և Մ. Տ. ՔՈՉԱՐՅԱՆ

Ուսումնասիրվել են Cu(II)-ի ու մի քանի չհագեցած դիալկիլամինօքսիմների փոխազդեցության հետ կապված որոշ տեսական հարցեր։ Ելնելով ՈւՄ և ԻԿ սպեկտրներից եղրակացվել է, որ փոխազդեցության արդյունքում առաջանում են կոմպլեքսներ, որոնցում N-OH Իոնափոխանակային ջրածինը փոխանակված է Cu(II)-nd: խմբի քրոմատոգրաֆիական և էլեկտրոֆորեզի եղանակներով հաստատվել է, որ առաջացած կոմպլեքսները լիցք չեն կրում։ Համապատասխան որակական փորձերով որոշվել է, որ կոմպլեքսի բաղադրության մեջ մտնող պղինձր գտնվում է Cu²+-ի վիճակում։ Այս բոլորի հիման վրա առաջարկվել է առաջացած կոմպլեքսների համար ընդհանուր բանաձև։ Ուսումնասիրվող կոմպլեքսներից երկուսը առաջարկվել են որպես ինդիկատոր ջրային միջավայրում թույլ թթուն թույլ հիմքով տիտրելու համար (կոմպլեքսները հիմնային միջավայրում դեղնականաչ են, թթվայինում անգույն և անցումը մի ձևից մյուսին դարձելի պրոցես է)։ Տիտրման հարաբերական սխալը ±1,7% է։

THE INTERACTION OF COPPER (II) WITH SOME UNSATURATED α-DIALKYLAMINOOXIMES

S. V. VARTANYAN, V. E. KARAPETYAN, N. P. CHURKINA, F. S. KINOYAN and S. T. KOCHARYAN

It has been shown by the UV and YR spektroskopical methods that copper (II) forms with some unsaturated α -dialkylaminooximes the complexes. The interactions runs because of the hydroxy group hydrogen by copper (II).

It has been found by the ionexchange chromatography and electrophoreze methods that the obtained complexes are chargeless. Two of the investigated complexes have been proposed as indicators in time of titration of the weak acides by the weak bases.

ЛИТЕРАТУРА

- [1] Вартанян С.В., Разина Т.Л., Карапетян В.Е., Григорян В.В., Кочарян С.Т., Бабаян А.Т. // Арм. хим. ж., 1991, т. 44, №4, с. 202.
- [2] *Вартанян С.В., Разина Т.Л., Григорян В.В., Карапетян В.Е., Кочарян С.Т., Бабаян А.Т.* // Арм. хим. ж., 1994, т. 47, №1-3, с. 30.
- [3] Алексеев В.Н. Курс качественного химического полумикроанализа. М., Химия, 1973, с. 346.
- [4] Наканиси К. Инфракрасные спектры и строение органических соединений. М., Мир, 1965.
- [5] *Накамато К.* Инфракрасные спектры неорганических и координационных соединений. М., Мир, 1996, с. 289, 294.
- [6] Алексеев В.Н. Количественный анализ. М., Химия, 1972, с. 271, 368.

ՀԱՅԱՍՏԱՆԻ ՀԱՆՐԱՊԵՏՈՒԹՅԱՆ ԳԻՏՈՒԹՅՈՒՆՆԵՐԻ ԱԶԳԱՅԻՆ ԱԿԱԴԵՄԻԱ

НАЦИОНАЛЬНАЯ АКАДЕМИЯ НАУК РЕСПУБЛИКИ АРМЕНИЯ

Հայաստանի քիմիական հանդես 55, №1 – 2, 2002 Химический журнал Армении

ОРГАНИЧЕСКАЯ ХИМИЯ

УДК 542.97:542.91+547.254.6

НОВЫЕ ХИРАЛЬНЫЕ САЛЕНОВЫЕ КОМПЛЕКСЫ Ті $^{\text{IV}}$ КАК КАТАЛИЗАТОРЫ ДЛЯ АСИММЕТРИЧЕСКОЙ РЕАКЦИИ ТРИМЕТИЛСИЛИЛЦИАНИРОВАНИЯ БЕНЗАЛЬДЕГИДА

А. С. САГИЯН^а, А. А. АМБАРЦУМЯН^а, С. А. ДАДАЯН^а, С. Р. АРУТЮНЯН^а, А. Х. ОГАНЕСЯН^а, А. М. ОГАНЕСЯН^а А. А. АВЕТИСЯН^а, В. И. ТАРАРОВ⁶, В. И. МАЛЕЕВ⁶, Ю. Н. БЕЛОКОНЬ⁶ и М. НОРТ^а

 g Ереванский государственный университет G Институт элементоорганических соединений им А.Н.Несмеянова РАН, Москва g Университет Северного Уэльса, г. Бангор, Великобритания

Поступило 18 II 2000

Синтезированы хиральные димерные биметаллические комплексы ${\rm Ti}^{{\rm IV}}$ на основе оснований Шиффа 1,2-диаминов, полученных из s-замещенных L-цистеинов (s-бутил-, s-бензил-, s-фенил-) и 3,5-ди-трет-бутилсалицилового или незамещенного салицилового альдегида и исследована их каталитическая активность в реакции триметилсилилцианирования бензальдегида. Показано, что комплекс на основе диамина, содержащий s-фенильную группу в боковом радикале диаминного остатка, является эффекивным катализатором для этой реакции.

Рис. 1, табл. 1, библ. ссылок 9.

Асимметрический каталитический синтез энантиомерно чистых циангидринов представляет большой практический интерес, т. к. последние являются важными исходными соединениями для получения энантиомерно чистых физиологически активных β -аминоспиртов [1], а также пиретроидов [2]. Хиральные катализаторы триметилсилилцианирования альдегидов, сконструированные на основе комплексов $\mathrm{Ti}^{\mathrm{IV}}$, представляют в этом отношении особый интерес, т. к. конечные продукты реакции — триметилсилильные производные циангидринов могут быть легко превращены в β -аминоспирты без рацемизации асимметрического центра циангидринов [3].

Ранее было показано, что хиральные комплексы $\mathrm{Ti^{IV}}$ симметрии $\mathrm{C_2}$, полученные *in situ* из $\mathrm{Ti}(\mathrm{OPr^i})_4$ и тетрадентатного лиганда основания Шиффа ($\mathit{IR,2R}$)-[(N,N'-бис-(2'-гидроксибензилиден)] циклогексан-1,2-диамина (\underline{A}), являются эффективными катали-заторами триметилсилилцианирования ряда алифатических и ароматических альдегидов [4].

На следующем этапе были синтезированы аналогично построенные саленовые комплексы Ti^{IV} симметрии C_1 с хиральными диаминами, полученными из соответствующих (S)- β -аминокислот $(\underline{\textbf{\textit{B}}})$, и испытаны в качестве хиральных катализаторов в реакциях триметилсилилцианирования альдегидов [5].

Показано, что эти комплексы являются эффективными асимметрическими катализаторами этой реакции, причем наилучший каталитический эффект наблюдался в случае использования в качестве катализатора комплекса $\mathrm{Ti^{VI}}$ с лигандом на основе диамина, полученного из L-метионина (R=CH3SCH2CH2-). Предполагалось, что сравнительно высокая каталитическая активность этого комплекса связана с наличием в боковом радикале диаминного остатка атома S , который может дополнительно координироваться с ионом $\mathrm{Ti^{VI}}$, создавая при этом дополнительное стерическое окружение при координационной сфере иона $\mathrm{Ti^{VI}}$, через которую происходит конденсация триметилсилилцианида с альдегидом.

Принимая в основу данную гипотезу, мы предположили уменьшить расстояние между атомами S и Ti, что по теоретическим соображениям могло бы усилить координацию атома S с ионом $\mathrm{Ti^{VI}}$ и привести к большему каталитическому эффекту. Для решения данной задачи в настоящей работе нами синтезированы s-замещенные производные L-цистеина по ранее разработанной методике [6], углеродная цепь которых на одну CH2-группу короче по сравнению с L-метионином. Эти аминокислоты использовались в качестве исходных соединений для получения соответствующих хиральных диаминов, лигандов и катализаторов.

s-Замещенные производные L-цистеина (s-бензил-, s-бутил-, s-фенилцистеины) были превращены в соответствующие хиральные лиганды по обычной схеме, включающей синтез эфиров аминокислот, их превращение в амиды, восстановление амидов до диаминов с помощью LiAlH4 и взаимодействие диаминов с 3,5-ди-*t*-бутилсалициловым альдегидом с образованием бис-лигандов в виде оснований Шиффа (схема 1).

CXEMA 1.

Все промежуточные соединения (эфиры, амиды, диамины, лиганды) были выделены и охарактеризованы современными методами физико-химического анализа — 1 H-ЯМР, элементный анализ, поляриметрические измерения (эксп. часть).

Установлено, что полученные хиральные димерные лиганды ($\mathbf{5}$ a, 6, 8) в среде CH₂Cl₂ взаимодействуют с TiCl₄ с образованием дихлоридных комплексов Ti^{VI} симметрии C₁ ($\mathbf{6}$ a, b, b), которые в присутствии триэтиламина димеризуются с образованием комплексов Ti^{VI} симметрии C₂ ($\mathbf{7}$ a, b, b) (схема 2). При этом катализаторы b, b, b не выделялись в чистом виде; из реакционной смеси удалялся растворитель и к полученной сухой массе добавлялись бензальдегид и триметилсилилцианид. Аналогичным образом из диамина b и незамещенного салицилового альдегида был синтезирован комплекс b. Комплексы b0, b1 и b2 были испытаны в качестве хиральных катализаторов в реакции триметилсилилцианирования бензальдегида. Реакцию триметилсилилцианирования проводили при комнатной, 2 и -78°C температурах (схема 3).

RSCH₂-CH—CH₂

$$HC = N$$
NCH
$$TiCI_4, CH_2CI_2$$

$$OH HO$$

$$5 = a, 6, 8$$

$$CXEMA 3.$$

$$RSCH2-CH—CH2
$$HC = N$$
NCH
$$TiCI_4, CH_2CI_2$$

$$HC = N$$
NCH
$$TiCI_4, CH_2CI_2$$

$$TiCI_4, CH_2CI_2$$$$

$$C_6H_5-C$$
 + $(CH_3)_3SiCN$ $\xrightarrow{}$ CN CN $CSi(CH_3)_3$ C_6H_5

Триметилсилильные производные выделяли хроматографически на SiO_2 , его энантиомерный состав анализировали методом ГЖХ хирального энантиомерного анализа (табл.).

Как видно из представленных в таблице данных, только катализатор на основе диамина, полученного из s-фенилцистеина, оказался эффективным в изучаемой реакции. Можно было ожидать увеличения эффективности этого катализатора при проведении триметилсилилцианирования бензальдегида при температуре -78оС, как это было показано ранее на примере аналогично построенных комплексов. Однако в данном случае при такой температуре комплекс выпадает в осадок и не участвует в каталитическом акте.

Таблица

Nº*	Катали-	R	T°C	Время,	Выход,	Энантиомерная
	затор			(4)	(%)	чистота, (%) **
1.	<u>7</u> a	$CH_3(CH_2)_3$	25°C	12	76	0
		_				
2.	- "-	- "-	2°C	24	71	0
3.	<u>7</u> б	$C_6H_5CH_2$ –	25°C	12	80	0
4.	- "-	- "-	2°C	24	75	0
5.	7 B	C_6H_5 -	25°C	1	78	57,4
6.	7 B	C_6H_5 -	2°C	12	74	64
7.***	7 B	C_6H_5 -	_	24		0
			78°C			
8.	<u>8</u>	C_6H_5 -	25°C	24	74	15

^{* –} Во всех опытах соотношение субстрат–катализатор составляет 100/1;

Сравнение эффективностей катализаторов 7a,6,8 и 8 показывает, что, как и следует ожидать, введение трет-бутильной группы в положении 3,5увеличивает салицилового резко энантиоселективность альдегида триметилсилилцианирования бензальдегида ОТ 15 до 64%. Неэффективность комплексов $\overline{2}a$ и δ , содержащих соответственно sбензильный и s-бутильный заместители в боковом радикале диаминного остатка, по-видимому, связана с дополнительной координацией атома S этих заместителей в координационной сфере иона Ti^{VI}. При такой координации атом S занимает место в координационной сфере иона Ti^{VI}, предназначенное для СМ- иона и приводит к полной инактивации катализатора (рис. 1 a). В случае комплекса **7***B*, содержащего s-фенильную группу в боковом радикале, вследствие делокализации электронов атома S в сопряженную систему бензольного ядра, исключается возможность его дополнительной координации с ионом Ti^{VI}. В таком димерном биметаллическом комплексе дополнительные координационные места двух ионов Ti^{VI} занимают соответственно CN- и бензальдегид и на координационной сфере ионов TiVI происходит конденсация триметилсилилцианида C бензальдегидом, приводит предпочтительному образованию стереоизомера (S)-абсолютной конфигурации (рис. б).

^{** –} Энантиомерную чистоту продуктов и их (S)-абсолютную конфигурацию (сравнением со стандартом) определяли методом ГЖХ на хиральной фазе;

^{*** –} При температуре -78°C комплекс выпадает в осадок и не участвует в каталитическом акте.

Рис. Переходное состояние реакции триметилсилилцианирования бензальдегида: а) Эффективный асимметрический катализ с участием комплекса **7**в; б) Неэффективный асимметрический катализ с участием комплексов **7**а и б ($R=C_6H_5CH_2-$; $CH_3(CH_2)_3-$)

Для подтверждения правильности данной гипотезы предполагается синтезировать другие аналогично построенные комплексы, содержащие различные заместители (t -бутиловый, u30-амиловый и др.) в боковом радикале диаминного остатка и исследовать их каталитическую активность в реакции триметилсилилцианирования альдегидов.

Мы надеемся, что дальнейшая модификация позволит значительно увеличить эффективность катализаторов, содержащих тетрадентатные лиганды с симметрией С₁ и С₂.

Экспериментальная часть

Спектры ЯМР ¹Н получены на приборе "Brucker WP-200-SY" (внешний стандарт С6Н6). Измерения оптического вращения образцов проводили на "Perkin-Elmer-241". Энантиомерный поляриметре состав аминокислот определяли методом ГЖХ в виде N-трифторацетильных производных на капиллярной кварцевой колонке (23 м х 0,22 мм) с фаз типа Chirasil-Valиспользованием хиральных Энантиомерный состав триметилсилильных производных циангидринов определяли методом ГЖХ на хиральных фазах производных уциклодекстринов [5]. При этом эфиры (S)-конфигурации имели большее время удерживания, чем эфиры (R) - конфигурации. Для колоночной хроматографии использовали силикагель марки "Kieselgel 60 (Merk)". Дихлорметан перед применением перегоняли над P2O5. Триметилсилилцианид (Fluka) применяли без дальнейшей очистки. Бензальдегид перегоняли перед реакцией. 3,5-ди-трет -бутилсалициловый и салициловый альдегиды применяли без дальнейшей очистки. s-Замещенные цистеины синтезировали по ранее разработанной методике

Эфиры аминокислот получали по методике [8]. Для этого к 1 *молю* з-замещенного цистеина в среде метанола добавляют ацетил хлористый. Смесь перемешивают при кипении 6 ч. За ходом реакции можно следить методом ТСХ. После завершения реакции удаляют растворитель и кристаллизуют целевые продукты из смеси этилацетат-метанол (3:1).

Гидрохлорид метилового эфира s-бутил-L-цистеина (2a). Т.пл. 98-99°С. Найдено, %: С 42,64; Н 7,96; N 6,02. СвН1вNO2SCl. Вычислено, %: С 42,20; Н 7,91; N 6,15. Спектр ЯМР 1 Н (CDCl 3, δ , м.д.): 0,91 т (3H, CH3-, J=7,5 Γ μ); 1,43 м (2H, C-CH2-C-C-S, J=7,5 Γ μ); 1,58 м (2H, C-C-CH2-C-S, J=7,5 Γ μ); 2,6 т (2H, C-C-C-CH2-S, J=7,5 Γ μ); 3,02 и 3,15 2д (1H, CHAS, J=6,36 и 14,0 Γ μ); 3,06 и 3,18 2д (1H, CHBS, J=6,4 и 13,8 Γ μ); 3,87 с (O-CH3, 3H); 4,3 2д (1H, α -H, J=3,81 и 6,36 Γ μ).

Гидрохлорид метилового эфира s-фенил-L-цистеина (2в). Т.пл. 143-144°C. Найдено, %: С 50,64; Н 6,36; N 5,02. С₁₀Н₁₄NO₂SCl. Вычислено,%: С 48,48; Н 5,66; N 5,66. Спектр ЯМР ¹Н (CDCl₃, δ , м.д.): 3,67 с (O-CH₃, 3H); 3,76

д (2H, S-CH₂-); 4,48 т (1H, α -H); 7,53 - 7,8 м (5H, Ph). [α] D^{25} = -11,94° (c=5, H₂O).

Получение амидов аминокислот проводили по методике [9]. Для этого метиловый эфир s-замещенных цистеинов растворяют в растворе метанола, насыщенного амиаком. Реакционную смесь оставляют в течение 7-10 суток. За ходом реакции следят методом ТСХ. По завершению реакции удаляют растворитель при комнатной температуре, добавляют CH₂Cl₂ и фильтруют. Кристаллы промывают 2-3 раза CH₂Cl₂.

Гидрохлорид s-бутил-L-цистеинамида (3a). Т.пл. 220-221°С. Найдено, %: С 36,64; Н 7,96; N 12,02. С7H₁₇N₂OSCl. Вычислено, %: С 36,76; Н 7,44; N 12,25. Спектр ЯМР ¹Н (CDCl₃, δ, м.д.): 0,68 т (3H, CH₃-, J=7,5 Γμ); 1,18 м (2H, C-CH₂-C-C-S, J=7,5 Γμ); 1,31 м (2H, C-C-CH₂-C-S, J=7,5 Γμ); 2,31 т (2H, C-C-C-CH₂-S, J=7,5 Γμ); 2,55 и 2,65 2д (1H, CH_ΔS, J=6,30 и 13,6 Γμ); 2,6 и 2,68 2д (1H, CH_ΔS, J=6,3 и 14 Γμ); 3,4 2д (1H, α-H, J=3,8 и 6,4 Γμ).

Гидрохлорид s-бензил-L-цистеинамида (36). Т.пл. 190-191°С. Найдено, %: С 50,64; Н 6,36; N 5,02. Свонь N2OSCl. Вычислено, %: С 48,68; Н 6,09; N 11,36. Спектр ЯМР 1 Н (CDCl3, δ , м.д.): 2,83 2д (1H, CHaS-, J=7 и 14 Γ и); 3,0 д (1H, CHaS-, J=3,8 и 14,0 Γ и); 3,82 д (2H, S-CH2,); 4,02 2д (1H, α -H, J=3,8 и 6,4 Γ ц); 7,28 - 7,5 м (5H, Ph). [α] 25 = +11,92° (c=1, δ N HCI).

Гидрохлорид s-фенил-L-цистеинамида (3в). Т.пл. 183-184°С. Найдено, %: С 46,64; Н 6,01; N 11,82. С9H₁₃N₂OSCl. Вычислено, %: С 46,45; Н 5,59; N 12,04. Спектр ЯМР ¹Н (CDCl₃, δ , м.д.): 3,55 2д (CH_A, 1H, J=6,4 и 13,6 Γ д); 3,78 2д (1H, CH_B -, J=3,8 и 13,8 Γ д); 4,22 2д (1H, α -H); 7,5 - 7,8 м (5H, Ph). [α]D²⁵ = + 30,29 ° (c=1, 2N HCl).

Получение диаминов (общая методика). Четырехкратный избыток абсолютном ТГФ при LiAlH₄ суспендируют И интенсивном В перемешивании порциями добавляют 0,05 ммоля небольшими гидрохлорида амида аминокислоты. Смесь перемешивают при кипении 12 ч. После соответствующей обработки образовавшийся осадок xAl2O3. yH2O отфильтровывают, фильтрат упаривают, и остаток перегоняют в вакууме.

- (\$)-1,2-диамино-4-тиаоктан (4а). Т.пл. 198-200°С. Найдено, %: С 51,63; Н 10,81; N 17,62. С7Н18N2S. Вычислено, %: С 51,85; Н 11,11; N 17,28. Спектр ЯМР ¹Н (CDCl₃, δ, м.д.): 0,93 т (3H, CH₃-, J=7,5 Гҵ); 1,42 м (2H, C-CH₂-C-C-S, J=7,5 Гҵ); 1,57 м (2H, C-C-CH₂-C-S, J=7,5 Гҵ); 2,42 и 2,65 2м (2H, -CH₂-NH₂); 2,82 и 3,0 2м (2H, -SCH₂); 3,67 2д (1H, α H, J=3,8 и 6,4 Гҵ).
- (S)-1,2-диамино-3-бензилтиапропан (4б). Т.пл. 164-165°С. Найдено, %: С 50,64; Н 6,36; N 5,02. С $_{10}$ Н $_{15}$ N $_{2}$ OSCl. Вычислено, %: С 48,68; Н 6,09; N 11,36. Спектр ЯМР $_{1}$ Н (CDCl $_{3}$, $_{5}$, м.д.): 2,34 2д (1H, CH $_{4}$ S-, J=7 и 14 $_{7}$ $_{1}$); 2,52 2д (1H, CH $_{8}$ S-, J=3,8 и 14,0 $_{7}$ $_{1}$); 3,52-2,8 2д (4H, CH $_{2}$ N- и S-CH $_{2}$); 3,52 м (1H, $_{2}$ -H); 7,18 7,34 м (5H, Ph).
- (**S)-1,2-диамино-3-фенилтиапропан (4в) (3в).** Т.пл. 192-195°C. Найдено, %: С 46,64; Н 6,01; N 11,82. С9H₁₄N₂S. Вычислено, %: С 59,34; Н 7,69; N 15,38.

Спектр ЯМР 1 Н (CDCI $_3$, $_6$, м.д.): 2,66 и 2,78 2 м (2H, CH $_2$ -N-); 2,85 2 Д (CH $_4$, 1H, J=6,4 и 14,2 2 Д); 3,0 2 Д (1H, CH $_8$ -, J=3,8 и 13,8 2 Д); 3,66 2 Д (1H, α -H); 7,12 - 7,52 м (5H, Ph).

Получение оснований Шиффа из 1,2-диаминов проводили по следующей методике: к раствору 4 ммолей диамина в 10 мл сухого бензола добавляют 4 ммоля 3,5-ди-трет-бутилсалицилового альдегида. Реакционную смесь кипятят с MgSO4 в течение 9 u, затем упаривают, остаток (масло) сушат в вакууме при 50°С в течение 3 u.

- (S)-[N,N-Бис(2'-гидрокси-3',5'-ди-t-бутилбензилиден)]-1,2-диамино-4-тиаоктан (5а). Т.пл. 70-71°С. Найдено, %: С 74,36; Н 9, 42; N 5,04. С37Н58N2O2S. Вычислено, %: С 74,75; Н 9,76; N 4,71. Спектры ¹Н ЯМР (CDCl3, δ, м.д.): 0,86 т (3H, CH3, J=7,5 Гц); 1,3 с (18H, 2·(3-C(CH3)3); 1,43 с (18H, 2·(5-C(CH3)3); 1,40 м (2H, C-CH2-C-C-S, J=7,5 Гц); 1,54 м (2H, C-C-CH2-C-S, J=7,5 Гц); 2,58 т (2H, C-C-C-CH2-S, J=7,5 Гц); 2,82 2д (1H, S-CHA, J=6,36 и 14,0 Гц); 2,97 2д (1H, S-CHB, J=3,81 и 6,54 Гц); 4,07 2д (1H, α -H, J=3,8 и 6,4 Гц); 7,06-7,42 м (4H, Ph); 8,38 и 8,44 2с (2H, 2·(-CH=N)). [α]p²⁵ = 0,0° (c=1, CHCI3).
- (S)-[N,N-Бис(2'-гидрокси-3',5'-ди-t-бутилбензилиден)]-1,2-диамино-3-бензилтиопропан (56). Т.пл. 78-80°С. Найдено, %: С 76,36; Н 8, 42; N 4,84. С40H56N2O2S. Вычислено, %: С 76,43; Н 8,92; N 4,46. Спектры 1 H ЯМР (CDCl3, 8 , м.д.): 1,32 с (18H, 2·(3-C(CH3)3); 1,44 с (18H, 2·(5-C(CH3)3); 2,68 2д (1H, CHAS, J=6,4 и 14,0 $^{\Gamma}$ и); 2,83 2д (1H, CHB-S, J=4,00 и 14,0 $^{\Gamma}$ и); 3,56 м (1H, 8 -H); 3,71 2м (4H, S-CH2- и CH2-N); 7,2-7,4 м (9H, Ph); 8,35 с (2H, 2·(-CH=N)). [8]D25 = -72,75° (c=1, CHCl3).
- (S)-[N,N-Бис(2'-гидрокси-3',5'-ди-t-бутилбензилиден)]-1,2-диамино-3-фенилтиопропан (5в). Т.пл. 65-67°С. Найдено, %: С 76,02; Н 8, 32; N 5,14. С39Н54N2O2S. Вычислено, %: С 76,22; Н 8,79; N 4,56. Спектры 1 H ЯМР (CDCl3, 8, м.д.): 1,30 с (18H, 2·(3-C(CH3)3); 1,46 с (18H, 2·(5-C(CH3)3); 3,18 2д (1H, CHAS, J=6,38 и 13,8 Γ д); 3,4 2д (1H, CHBS, J=3,8 и 14,0 Γ д); 4,08 м (1H, α -H); 3,67-3,88 2м (2H, CH2-N); 6,9-7,4 м (9H, Ph); 8,27 и 8,35 2с (2H, 2·(-CH=N)). $[\alpha]$ D²⁵ = -5,8° (c=1, CHCI3).

Получение дихлоридных комплексов иона Ti^{IV} проводили по следующей методике: к раствору 4 ммолей оснований Шиффа $\underline{\mathbf{5}}$ a, δ , b в 10 мл сухого CH_2Cl_2 добавляют 4 ммоля $TiCl_4$, смесь перемешивают в атмосфере аргона в течение 24 u. Затем удаляют растворитель, добавляют гексан и фильтруют. Осадок дихлоридного комплекса промывают эфиром.

Комплекс 6а. Т.пл. 310°С. Найдено, %: С 63,02; Н 8,06; N 3,23. С37H56N2O2SCl2Ti. Вычислено, %: С 62,46; Н 7,88; N 3,94. Спектры 1 H ЯМР (CDCl3, δ , м.д.): 0,84 т (3H, CH3, J=7,5 Γ μ); 1,54-1,72 м (22H, 2·(3-C(CH3)3 + C-CH2-C-C-S + C-C-CH2-C-S); 2,18 м (2H, C-C-C-CH2-S); 2,86-2,98 м (2H, S-CH2); 3,67 м (18H, 2·(5-C(CH3)3); 3,82 (2д., 1H, α -H, J=3,8 и 6,36 Γ μ); 7,1 5-7,36 м (4H, Ph); 7,45 и 7,5 2с (2H, 2·(-CH=N)).

Комплекс 6б. Т.пл. 268-270°С. Найдено, %: С 60,32; Н 7,56; N 3,23. С₄₀Н₅₄N₂O₂SCl₂Ti. Вычислено, %: С 59,9; Н 7,17; N 3,63. Спектры ¹Н ЯМР

(CDCI 3, δ , м.д.): 1,35 д (18H, $2\cdot$ (3-C(CH₃)₃); 1,5 д (18H, $2\cdot$ (5-C(CH₃)₃); 2,96 2д (1H, CH_A-S, J=7,0 и 14,0 Γ *и*); 3,17 2д (1H, CH_B-S, J=4,0 и 14,0 Γ *и*); 3,78-3,93 м (3H, S-CH_A и CH₂-N); 4,06 м (1H, α -H); 4,55 м (S-CH_B, 1H); 6,82-7,62 м (9H, Ph); 8,3 и 8,33 2 с (2H, $2\cdot$ (-CH=N)).

Комплекс бв. Т.пл. 302-305°С. Найдено, %: С 63,32; Н 7,36; N 4,23. С₃₉Н₅₂N₂O₂SCl₂Ti. Вычислено, %: С 63,04; Н 7,10; N 4,04. Спектры ¹Н ЯМР (CDCI ₃, δ , м.д.): 1,34 с (18H, 2·(3-C(CH₃)₃); 1,52 с (18H, 2·(5-C(CH₃)₃); 3,34 2д (1H, SCH_A, J=6,4 и 14,0 Γ *ц*); 3,9 2д (1H, SCH_B, J=4,0 и 13,8 Γ *ц*); 4,56-4,63 2м (2H, CH₂-N); 4,1 м (1H, α -H); 7,18 -7,6 м (9H, Ph); 8,3 и 8,33 2 с (2H, 2·(CH=N)).

Значения т. пл. и $[\mbox{\sc I}]_{\mbox{\sc D}}$ для ряда промежуточных соединений, которых не удалось получить в чистом виде, не приводятся.

Получение димерных биметаллических комплексов **7** а, б, в и **8** проводили по следующей методике: к раствору 4 ммоля дихлоридных комплексов **6** а, б, в в 10 мл сухого СН2СІ2 добавляют 8 ммоля триэтиламина и 4 ммоля Н2О. Смесь перемешивают в течение 5-6 ч в атмосфере аргона. Затем удаляют растворитель, добавляют сухой эфир, фильтруют, фильтрат упаривают под вакуумом и полученную массу используют в реакции триметилсилилцианирования бензальдегида в качестве хирального катализатора.

По аналогичной схеме из (S)-1,2-диамино-3-фенилтиапропана $(\underline{\textbf{4}}\textbf{\textit{B}})$ и незамещенного салицилового альдегида был получен лиганд (S)-[N,N-бис(2'-гидроксибензилиден)]-1,2-диамино-3-фенилтиапропан, который через промежуточный дихлоридный комплекс был превращен в димерный биметаллический комплекс $\underline{\textbf{8}}$ и испытан в реакции триметилсилилцианирования в качестве хирального катализатора.

Триметилсилилцианирование бензальдегида проводили по методике [4]. Строение полученных триметилсилиловых эфиров циангидринов подтверждено спектрами ЯМР Н1, оптическую чистоту определяли хиральной ГЖХ при сравнении с заведомыми образцами. Результаты приведены в таблице.

Работа выполнена при финансовой поддержке Международного Европейского научного фонда INCO-COPERNICUS (грант ICIS-CT96-0722) и Международного научно-технического центра (грант ISTC A-356).

Ti^{IV} ԻՈՆԻ ՆՈՐ ՔԻՐԱԼԱՅԻՆ ՍԱԼԵՆԱՅԻՆ ԿՈՄՊԼԵՔՄՆԵՐԸ՝ ՈՐՊԵՄ ԲԵՆԶԱԼԴԵՀԻԴԻ ՏՐԻՄԵԹԻԼՍԻԼԻԼՑԻԱՆԱՑՄԱՆ ՌԵԱԿՑԻԱՅԻ ԱՍԻՄԵՏՐԻԿ ԿԱՏԱԼԻԶԱՏՈՐՆԵՐ

Ա. Ս. ՍԱՂՅԱՆ, Հ. Հ. ՀԱՄԲԱՐՁՈՒՄՅԱՆ, Ս. Ա. ԴԱԴԱՅԱՆ, Ս. Ռ. ՀԱՐՈՒԹՅՈՒՆՅԱՆ, Ա. Խ. ՀՈՎՀԱՆՆԻՍՅԱՆ, Ա. Մ. ՀՈՎՀԱՆՆԻՍՅԱՆ, Ա. Ա. ԱՎԵՏԻՍՅԱՆ, Վ. Ի. ՏԱՐԱՐՈՎ, Վ. Ի. ՄԱԼԵՑԵՎ, Յու. Ն. ԲԵԼՈԿՈՆ և Մ. ՆՈՐՏ

Սինթեզվել են Ti[™] իոնի քիրալային բիմետալիկ դիմեր կոմպլեքսները, կազմված s-տեղակալված L-ցիստեինների (s-բուտիլ-, ֆենիլցիստեիններ) lı 3,5-դի-*տրետ*-բուտիլսալիցիլալդեհիդի չտեղակալված սալիցիլալդեհիդի Շիֆֆի հիմքերից։ Հետազոտվել է ալդ կոմայեքսների կատալիտիկ ակտիվությունը՝ որպես կատալիզատորներ, բենզալդեհիդի ասիմետրիկ տրիմեթիլսիլիլցիանացման ոեակցիայում։ Պարզվել է, որ կոմպլեքները, կազմված s-բուտիլ- և s-1,2-դիամիններից, բենցիլցիստեիններից ստացած էֆեկտիվ կատալիցատորներ են վերոհիշյալ ռեակցիայի իսկ hամար, ֆենիլցիստեինից ստացած 1,2-դիամին պարունակող կոմպլեքսր, որի դիամինալին մնացորդի կողմնալին խումբը պարունակում է s-ֆենիլալին տեղակալիչ, օժտված է բարձր կատալիտիկ ակտիվությամբ։ Բենզալդեհիդի և տրիմեթիլսիլիլցիանիդի ասիմետրիկ կոնդենսացման ռեակցիան ընթանում է 64% ասիմետրիկ ելքով։

NEW CHIRAL SALEN COMPLEXES OF TI^{U} AS CATALYST FOR THE REACTION OF ASYMMETRIC TRIMETHYLSILYLCYANATION OF BENZALDEHYDE

A. S. SAGHIYAN, H. H. HAMBARCUMYAN, S. A. DADAYAN, S. R. HAROUTUNYAN, A. Ch. HOVHANNESYAN, A. M. HOVHANNESYAN, A. A. AVETISYAN, V. I. TARAROV, V. I. MALEEV, Yu. N. BELOKON' and M. NORTH

New chiral bimetallic titanium salen complexes of Schiff's bases by a 1,2-diamines, derived from S-protected L-cysteines (S-butyl-L-cysteine, S-benzyl-L-cysteine, S-phenyl-L-cysteine) and 3,5-di-t-butyl salicylaldehyde or salicylaldehyde were synthesized and used as chiral catalyst for the reaction of trimethylsilylcianation of benzaldehyde. The catalytic effects of the complexes in a reaction of the asymmetric addition of trimethylsilyl cyanide to benzaldehyde has been investigated. It can bee seen from the data the only complex which had a kind of catalytic activity was derived from S-phenyl-L-cysteine. In this case the enantiomeric purity of the product was 64% at the ambient temperature. All the other complexes, containing alkyl-sulpher substituents were inactive. One hypothetical cause of the phenomenon might be the apical coordination of the sulpher atom to the Ti center which inhibits the coordination of the aldehyde. The phenyl group might make the lone pair on Sulpher atom less basic because of the resonance delocalization of the pair and thus secure the catalytic center on Ti^{IV} from the competitive inhibition by the Sulpher containing group.

ЛИТЕРАТУРА

- [1] *Kleemann A., Engel J.* //Pharmazeutische Wirkstoffe, Synthesen, Patente, Anwendungen, 2-nd ed., Thieme, Stuttgard, 1982, and 1987 supplement.
- [2] *Naumann K.* // Chemistry of plant protection, 5: Synthetic Pyrethroid Insecticides: Chemistry and Patents, Springer, Berlin, 1990.
- [3] Jackson W.R., Jacobs H.A., Matthews B.R., Jayatilake G.S., Watson K.G. // Tetrahedron Lett., 1990, v.31, p.1447.
- [4] Belokon' Yu., Ikonnokov N., Moscalenko M., North M., Orlova S., Tararov V., Yashkina L. // Tetrahedron Asymmetry, 1996, v.7, p. 851.
- [5] Белоконь Ю.Н., Яшкина Л.В., Москаленко М.А., Чесноков А.А., Кублицкий В.С., Иконников Н.С., Орлова С.А., Тараров В.И., Норт М. // Изв. РАН, Сер.хим.,1997, №11, с. 2040.
- [6] Belokon' Yu.N., Sagyan A.S., Djamgaryan S.M., Bakhmutov B.I., Belikov V.M. // Tetrahedron, 1988, v.44, №17, p. 5507.
- [7] Saporovskaya M., Volkova L., Pavlov V. // Zh. Anal. Khim., 1989, v.44, p.525.
- [8] *Greenstein J.P. and Winitz M.* // Chemistry of the Amino Acids, Wiley, New-York, 1961, v.II, p.926.
- [9] Amundsen A., Whelen J., Bosnich B. // Inorg. Chem., 1979, v.18, p.207.

ՀԱՅԱՍՏԱՆԻ ՀԱՆՐԱՊԵՏՈՒԹՅԱՆ ԳԻՏՈՒԹՅՈՒՆՆԵՐԻ ԱԶԳԱՅԻՆ ԱԿԱԴԵՄԻԱ

НАЦИОНАЛЬНАЯ АКАДЕМИЯ НАУК РЕСПУБЛИКИ АРМЕНИЯ

Հայաստանի քիմիական հանդես 55, №1-2, 2002 Химический журнал Армении

УДК 541.182 + 547.514 + 661.185

СИНТЕЗ И НЕКОТОРЫЕ КОЛЛОИДНО-ХИМИЧЕСКИЕ СВОЙСТВА ХЛОРИСТЫХ СОЛЕЙ АЛКОКСИКАРБОНИЛМЕТИЛДИМЕТИЛ (4-П-ХЛОРФЕНИЛОКСИБУТИН-2-ИЛ)АММОНИЯ

А. В. БАБАХАНЯН, С. А. ОВАКИМЯН и Р. С. АРУТЮНЯН

Армянский государственный педагогический университет им. Х.Абовяна, Ереван

Ереванский государственный университет

Поступило 7 V 2001

Синтезирован ряд хлористых солей алкоксикарбонилметилдиметил(4-п-хлорфенилоксибутин-2-ил)аммония и изучены их некоторые коллоидно-химические свойства. Установлено, что указанные соединения являются мицеллообразующими поверхностно-активными веществами, обладающими пеноустойчивым, стабилизирующим эмульсию типа масло/вода свойствами и антимикробной активностью в отношении грамположительных и грамотрицательных микроорганизмов.

Рис. 2, табл. 2, библ. ссылок. 12.

Ранее нами было показано, что четвертичные аммониевые соединения (ЧАС), содержащие наряду с гидрофобным радикалом функционально замещенную бутенильную группу, являются мицеллообразующими поверхностно-активными веществами (ПАВ) [1-3] и проявляют антимикробные свойства [3,4]. Выявлено также, что ЧАС с бутин-2-ильной группой и их композиции с пероксидом водорода обладают бактерицидным действием в отношении грамположительных и грамотрицательных микроорганизмов [5].

Учитывая антимикробную активность поверхностно-активных ЧАС с арилоксибутенильной группой [6], представляло интерес синтезировать и исследовать ЧАС, содержащих гидрофобный алкоксикарбонилметильный радикал и арилоксибутинильную группу.

В настоящей работе приведены результаты синтеза и изучения некоторых коллоидно-химических свойств ЧАС, содержащих 4-п-хлорфенилоксибутин-2-ильную группу. Указанные соединения (I-VI) синтезированы взаимодействием 1-диметиламино-(4-п-хлорфенилоксибутина-2) [6] с соответствующими алкиловыми эфирами монохлоруксусной кислоты в эквимольных количествах при комнатной температуре (табл. 1):

Критическую концентрацию мицеллообразования (ККМ) синтезированных ЧАС и поверхностные характеристики на границе раздела фаз воздух/водный раствор определены из изотерм поверхностного натяжения и удельной электропроводности водных растворов соединений I-VI, измеренных при температуре 323 ± 0.1 К согласно [7]. На рис. 1 приведены изотермы поверхностного натяжения (σ) на границе раздела фаз воздух/водный раствор ЧАС. Полученные результаты свидетельствуют, что синтезированные соединения I-VI являются мицеллообразующими ПАВ. С удлинением алкильного радикала в сложноэфирной группе поверхностная активность (G) и величина предельной адсорбции (Γ) увеличиваются, а площадь, приходящаяся на одну молекулу ЧАС в насыщенном адсорбционном слое на границе раздела фаз (σ), и поверхностное натяжение (() уменьшаются (табл. 1).

Из полученных данных следует, что изменение G в изученном ряду ЧАС отклоняется от правила Дюкло-Траубе, что часто наблюдается для коллоидных ПАВ [8]. Из зависимости $\lg C_{\Delta\delta}=f(n)$ [7] (п-число атомов углерода в алкильном радикале) графически определены адсорбционный потенциал для одного моля метиленовых групп (N $_{\Delta\phi}$), где N — число Авогадро, а по значениям поверхностной активности (G) по формуле $\ln G_{n+1}/\ln G_n=-\Delta W/RT$ [7] рассчитано изменение работы адсорбции ($_{\Delta}W$) для одной метиленовой группы ($_{\Delta}W=-N_{\Delta\phi}$). Совпадение значений $N_{\Delta\phi}$ и $_{\Delta}W$ удовлетворительно (табл.1) и согласуется с литературными данными для коллоидных ПАВ [1,8,9].

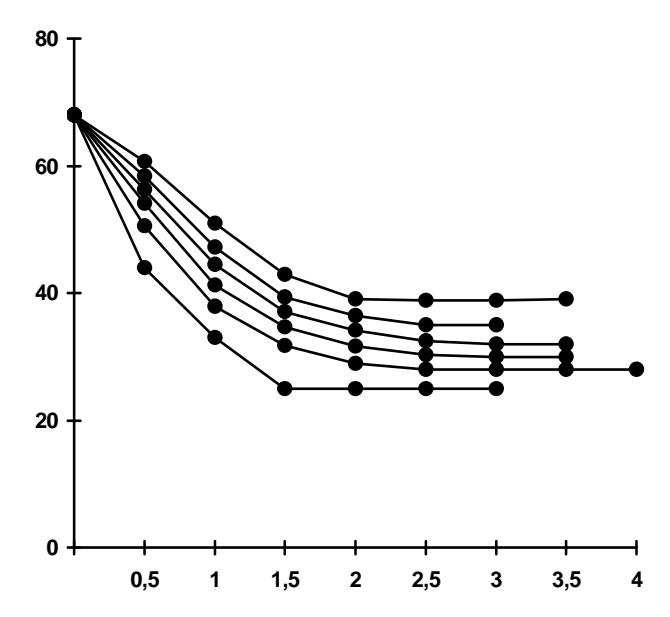


Рис. 1. Изотермы поверхностного натяжения водных растворов ЧАС ((VI (номера кривых соответствуют числу атомов углерода в алкильном радикале). Т=323К.

Как и следовало ожидать, в гомологическом ряду ЧАС с удлинением алкильного радикала ККМ закономерно уменьшается (табл. 1), и эта зависимость описывается известным уравнением

lnKKM=A-Bn,

где A и B — постоянные, значения которых (A=2,0 κ моль/ κ ³, B=0,1) определены графически [lnKKM=f(n)] и расчетным путем [3,8].

Установлено также, что с удлинением алкильного радикала (R) свободная энергия мицеллообразования (ΔG) уменьшается, а ее величины для одного атома углерода, определенные расчетным путем (ΔG_1) и графически (ΔG_1) [3], практически совпадают и не зависят от R, что наблюдалось нами ранее [3].

Учитывая то обстоятельство, что на мицеллообразование значительно влияют неорганические и органические добавки, нами изучено влияние ряда спиртов (метанол, этанол, н-бутанол и н-гексанол) и солей (КСl, K_2CO_3) на ККМ при $T=323\pm0.1$ К. На рис. 2 приведены кривые зависимости ККМ ЧАС VI от концентрации указанных спиртов, при этом выявлено, что метанол увеличивает, этанол практически не влияет, а бутанол и гексанол уменьшают ККМ. Нами установлено также, что соли уменьшают ККМ (при концентрации КСl и K_2CO_3 0,1 κ моль/ κ ККМ равна $0.3\cdot10^{-3}$ и $0.2\cdot10^{-3}$ κ моль/ κ соответственно). Аналогичная зависимость ККМ от концентрации, природы спиртов и солей нами установлена и для других ненасыщенных ЧАС [3].

Константы, коллоидные и термодинамические характеристики синтезированных ЧАС I-VI

G — поверхностная активность, Γ — величина предельной адсорбции, S — площадь приходящаяся на одну молекулу ЧАС в адсорбционном слое. $N_\Delta \phi$ и $_\Delta W$ — работа адсорбции, ККМ — критическая концентрация мицеллообразования, (ккм — поверхностное натяжение при ККМ. G — свободная энергия мицеллообразования, $_\Delta G_1$ и $_\Delta G_1$ — свободная энергия мицеллообразования, приходящаяся на 1 атом углерода, определенная расчетным путем и графически.

Сое- дине -ние	Вы- ход, %		дено, % СІ-	Вычи ,с N	слено % СІ-	Тпл∙	G, нм²/ кмо ль	Г·10 ⁹ , кмо лы/м 2	S·10 ¹ 9, <i>M</i> ²	N _{Δφ} , <i>кдж</i> / <i>моль</i>	-∆W, <i>кдж</i> / <i>моль</i>	КК M·10 ³ , кмо ль/м	Оккм ⁻ 10 ³ <i>H</i> / <i>M</i>	-∆G, <i>кдж</i> / <i>моль</i>	ΔG(1) <i>кдж</i> / <i>моль</i>	ΔG'(1) , кдж/ моль
I	85	3,59	9,03	3,48	8,81	129 - 130	6,5	2,4	6,9	1,8	1,6	2,48	37	26,8	0,5	0,6
II	83	3,46	8,34	3,36	8,51	123 - 124	12	2,7	6,0	1,8	1,8	1,91	35	27,5	0,5	0,6
III	80	3,66	8,27	3,25	8,24	122 - 123	24	2,9	5,7	1,8	1,8	1,55	33	28,1	0,5	0,6
IV	82	3,20	7,66	3,15	7,98	121 - 122	48	3,1	5,3	1,8	1,8	1,30	30	28,6	0,5	0,6
V	81	3,33	7,81	3,06	7,73	120 - 121	96	3,3	5,1	1,8	1,8	1,09	29	29,0	0,5	0,6
VI	79	3,05	7,12	2,88	7,29	117 - 118	185	3,6	4,6	1,8	1,8	0,80	25	29,7	0,5	0,6

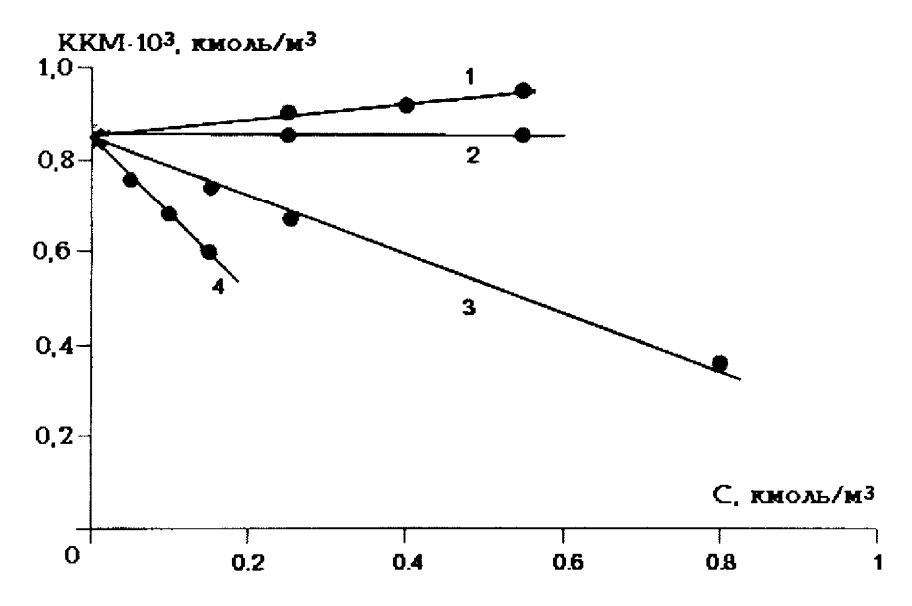


Рис. 2 Кривые зависимости ККМ (ЧАС VI) от концентрации спиртов: (1) метанол, (2) этанол, (3) н-бутанол, (4) н-гексанол Т=323К.

Влияние температуры на ККМ, в основном, зависит от природы и строения молекул ПАВ [7, 8, 11]. Следует отметить, что отсутствует определенная зависимость ККМ от температуры. Проведенные исследования показали, что с повышением температуры в интервале 323÷343 К ККМ практически не изменяется.

Определены также величина площади предельной эмульсии S_{∞} (площадь эмульсии, которую может стабилизировать данное ПАВ) [10] и время полураспада эмульсии стирол/вода, стабилизированной данным ЧАС (табл.2). Расчеты $S_{\rm C}$ проводились при концентрации ЧАС $5\cdot 10^{-2}$ κ моль/ κ 3 (для 1 κ 7 раствора при объемном соотношении фаз $V_{\rm H_2O}$: $V_{\rm Opr.=2:1}$). С удлинением алкильного радикала (R) S_{∞} уменьшается, однако за счет уменьшения при этом ККМ и (стабильность эмульсии увеличивается (табл.2). Таким образом, исследованные ЧАС можно рекомендовать в качестве стабилизаторов эмульсий типа масло/вода.

Одной из важных характеристик ПАВ, имеющих практическое значение, является устойчивость и кратность пены [8]. Пенообразующую способность оценивали определением пеноустойчивости водных растворов ЧАС, определяя отношение высоты столба пены через 5 мин после образования к начальной высоте [11]. Из данных, приведенных в табл. 2, следует, что с ростом R устойчивость пены увеличивается, а изменение кратности не существенно, и можно заключить, что синтезированные ЧАС являются хорошими пенообразующими агентами.

Необходимо также отметить, что ЧАС I-VI обладают бактерицидным действием в отношении кишечной палочки (штамм 1257) и золотистого стафилококка (штамм 906) [12].

Время полураспада($\tau_{1/2}$) эмульсии стирол/водный раствор ЧАС, площадь предельной эмульсии (S_{∞}), устойчивость (h) и кратность (K) пен при 298K. [ЧАС]= $5\cdot 10^{-2}$ кмоль/ M^3 , соотношение фаз стирол/водный раствор=1:2

n	$S_{\infty} \cdot 10^{-4}$, M^2	$\tau_{1/2}$	h	K								
Без ЧАС	_	10 c	_	1								
6	2,1	100 мин	0,61	10,7								
8	1,7	5 суток	0,75	11,3								
10	1,5	9 суток	0,85	11,3								
12	1,4	12 суток	0,88	11,5								

Экспериментальная часть

ИК спектры сняты на приборе "UR-20". Чистота ЧАС контролировалась методом ТСХ на пластинках "Silufol UV-254" в системе н-бутанол-этанол-вода-уксусная кислота, 10:7:6:4, проявитель – пары йода.

Общее описание синтеза ЧАС I-VI. Смесь 0,02 *моля* 1-диметиламино-4-п-хлорфенилоксибутина-2 и 0,02 *моля* соответствующего алкилового эфира монохлоруксусной кислоты выдерживали при комнатной температуре. Образовавшуюся соль промывали абсолютным эфиром и высушивали.

Выходы и константы приведены в табл.1.

ИК спектр, у, *см*¹; 1740 (СОО); 1595,1580,1498 (п-ClC₆H₄).

ԱԼԿՕՔՍԻԿԱՐԲՈՆԻԼՄԵԹԻԼԴԻՄԵԹԻԼ(4-պ-ՔԼՈՐՖԵՆԻԼՕՔՍԻԲՈՒՏԻՆ–2-ԻԼ)ԱՄՈՆԻՈՒՄԻ ՔԼՈՐԱԿԱՆ ԱՂԵՐԻ ՍԻՆԹԵԶԸ ԵՎ ԿՈԼՈԻԴ-ՔԻՄԻԱԿԱՆ ՀԱՏԿՈՒԹՅՈՒՆՆԵՐԸ

Ա. Վ. ԲԱԲԱԽԱՆՅԱՆ, Ս. Ա. ՀՈՎԱԿԻՄՅԱՆ և Ռ. Ս. ՀԱՐՈՒԹՅՈՒՆՅԱՆ

Մինթեզված է ալկօքսիկարբոնիլմեթիլդիմեթիլ(4-պ-քլորֆենիլօքսիբուտին-2-իլ)ամոնիումի քլորական աղերի շարք և ուսումնասիրված են որոշ կոլոիդ-քիմիական հատկություններ։ Հաստատված է, որ նշված միացությունները հանդիսանում են միցելագոյացնող մակերևութային-ակտիվ նյութեր, որոնք փրփրակայուն են, կայունացնում են յուղ/ջուր տիպի էմուլսիան և օժտված են հակամանրէային ակտիվությամբ գրամդրական և գրամբացասական մանրէների նկատմամբ։

SYNTHESIS AND SOME COLLOID CHEMICAL PROPERTIES OF CHLORIDES OF ALKOXICARBONYLMETHYLDIMETHYL (4-p-CHLORPHRNYLOXIBUTYN-2-YL)AMMONIUM

A. V. BABAKHANYAN, S. A. HOVAKIMYAN and R. S. HAROUTYUNYAN

A number of chlorides of alkoxicarbonylmethyldimethyl(4-p-chlorphenyloxibutyn-2-yl)ammonium (alkyl C_6H_{13} ÷ $C_{12}H_{25}$) was synthesized by the interaction of 1- dimethylamino(4-p-chlorphenyloxibutyn-2) with alkyl ethers of monochloracetic acid with the aim of the studying of colloid chemical and antimicrobic properties.

Critical concentration of micelloformation (CCM) and surface characteristics on the boarders of the division of air/aqueous solution phases were determined from the isotherms of surface tension and specific eletroconductance of aqueous solutions of synthesized QAC. Obtained results testify, that the studied cumpounds are micelleforming surface-active substances. The influence of a number of alcohols and salts on CCM was studied.

It has been established as well that QAC possess foamresistant and stabilizing emulsion of oil/water type properties and antimicrobic activity in accordance to standard strains Escherichia coli (str. 1257) and Staphylococcus aureus (906).

ЛИТЕРАТУРА

- [1] Haroutyunian R.S., Beylerian N.M., Babakhanian A.V. // J. Surf. Sci. Technol., 1995, v.11, №1-4, p. 21
- [2] *Арутюнян Р.С., Кауас Х., Григорян Дж.Д., Бабаханян А.В., Бейлерян Н.М.* // Хим.ж. Армении, 1996, т. 49, №1-3, с. 158.
- [3] Haroutyunian R.S., Babakhanian A.V., Beylerian N.M. // J. Surf. Sci. Technol., 1998, v.14, №1-4, p. 55
- [4] Бабаханян А.В., Бабаян Ж.Р. // Биол. ж. Армении, 1995, №3, с. 26
- [5] Казарян А.Э., Бабаханян А.В., Овакимян С.А., Бабаян Ж.Р., Кочарян С.Т. Тезисы докладов международного симпозиума "Диагностическая медицина", 1999, Ереван, с. 91.
- [6] *Худавердян Г.А., Бабаханян А.В., Бабаян В.О.* Тезисы докладов 38 науч. сессии АГПИ им. Х. Абовяна, Ереван, 1982, с. 85.
- [7] Практикум по коллоидной химии (под ред.Р.Э.Неймана.), М., Высшая школа, 1972, с. 126, 136.
- [8] Абрамзон А.А. Поверхностно-активные вещества. Л., Химия, 1979.
- [9] Абрамзон А.А., Зайченко Л.П., Файнгольд С. И. Поверхностно-активные вещества. Л., Химия, 1988, с. 169.
- [10] Абрамзон А.А., Славина З.Н. // ДАН СССР, 1969, т. 186, №1, с. 116.
- [11] Поверхностно-активные вещества. Справочник (под ред. Абрамзона А.А., Гаевого Г.М.), Λ ., Химия, 1979.
- [12] Бабаханян А.В., Худавердян Г.А., Бабаян Ж.Р. // Актуальные вопросы краевой инфекцион. патологии, 1990, в. 9, с. 22.

ՀԱՅԱՍՏԱՆԻ ՀԱՆՐԱՊԵՏՈՒԹՅԱՆ ԳԻՏՈՒԹՅՈՒՆՆԵՐԻ ԱԶԳԱՅԻՆ ԱԿԱԴԵՄԻԱ

НАЦИОНАЛЬНАЯ АКАДЕМИЯ НАУК РЕСПУБЛИКИ АРМЕНИЯ

Հայшиտшնի քիմիшկшն ншնդես 55, №1-2, 2002 Химический журнал Армении

УДК 547.491.8.07 (088.8)

СИНТЕЗ И ПРЕВРАЩЕНИЯ ПИРАЗОЛИЛАЗИНОВ

Э. Н. АМБАРЦУМЯН, А. С. ВОРСКАНЯН, Т. А. ГОМКЦЯН, А. П. ЕНГОЯН и В. В. ДОВЛАТЯН

Армянская сельскохозяйственная академия, Ереван

Поступило 10 XII 1999

Взаимодействием 2-амино(алкиламино)-4-метил(алкил, диалкиламино)-6-гидразиноазинов (пиримидина, симм-триазина) с пентандионом-2,4 получены 6-(3', 5'-диметилпиразолил-І')производные, которые под действием 2-хлорбензолсульфоизоцианата и арилсульфохлоридов переведены в соответствующие N-азинил- N'-2-хлорфенилсульфонилмочевины и 2-арилсульфамидо-4-метил-6-(3',5'-диметилпиразолил-І')пиримидины. Последние синтезированы также действием 2-арилсульфамидо-4-метил-6-гидразинопиримидинов на пентандион-2,4.

Арилсульфамидопроизводные, будучи N-H кислотами, с едким кали образуют соли, которые алкилированы диметилсульфатом и монохлорметилацетатом.

Табл. 2, библ. ссылок 5.

В поисках новых физиологически активных соединений нами осуществлен синтез пиразолилазинов из ранее полученных [1,2] гидразиноазинов (пиримидинов и симм-триазинов I). Установлено, что пиразолилазины II_{a-3} с удовлетворительными выходами получаются при продолжительном нагревании соединений I_{a-3} с пентандионом-2,4 в диоксане.

 $I_{a},\ II_{a}\ X=CH,\ R=CH_{3};\ R_{1}=R_{2}=H,\ I_{6-3},\ II_{6-3}\ X=N,\ I_{6},\ II_{6}\ R=CH_{3},\ R_{1}=R_{2}=H,\ I_{B},\ II_{B}\ R=R_{1}=CH_{3},\ R_{2}=H,\ I_{R},\ II_{B}\ R=R_{1}=CH_{3},\ R_{2}=H,\ I_{R},\ II_{B}\ R=R_{1}=CH_{3},\ R_{1}=H,\ R_{2}=CH_{2}-C_{6}H_{5};\ I_{6},\ II_{6}\ R=C_{1}+R_{2}+$

Исходя из ценности сульфаниламинопиримидинов и гетерилсульфонилмочевин в качестве лекарственных веществ и гербицидов [3,4] соединения II_{a-6} под действием арилсульфохлоридов и 2-хлорбензолсульфоизоцианата были переведены в арилсульфамидопиримидины III_{a-r} и N-азинил-N'-2-хлорфенилсульфонилмочевины $IV_{a,6}$.

III.a Ar=4-CH3C6H4, III.6 Ar=2-ClC6H4, III.B Ar=4-CH3CONHC6H4, III.r Ar=C6H5, IV.a X=N, IV.6 X=CH

Соединения III_{a-r} были синтезированы также альтернативным способом – взаимодействием ранее [5] полученных 2-арилсульфамидо-4-метил-6-гидразинопиримидинов с пентандионом-2,4.

Соеди-	Т.пл.,	Rf	Выход,	N, %		Брутто-	ПМР спектры, δ, м. д.
нение	°C		%			формула	
				найде	вычис		
				но	лено		
II_{6}	188-190	0,54	80	40,8	41,17	$C_9H_{12}N_6$	2,2c (3H,4-CH ₃), 2,33c
							(3H,3'-CH ₃), 2,6c (3H,5'-
							CH ₃), 6,5c (IH,CH), 7,5c
							(2H, NH ₂)
$II_{\scriptscriptstyle B}$	104-106	0,37	90	38,81	38,52	$C_{10}H_{14}N_6$	2,2c (3H,4-CH ₃), 2,45c
							(3H,3'-CH ₃), 2,63c (3H,5'-
							CH ₃), 3,23 c (3H,N-CH ₃)
							5,86с (ІН, СН), 8,0 ш.с
							(IH, NH)
Π_{Γ}	95-97	0,41	80	34,42	34,69	$C_{12}H_{16}N_6$	2,18c (3H,4-CH ₃), 2,36c
							(3H,3'-CH ₃), 2,60c (3H,5'-
							СН3), 4,0т (2Н,СН2), 5,1 д
							(2H, <u>CH</u> 2=CH) 5,86-5,9м
							(<u>CH</u> =CH ₂), 5,88c (IH, CH),
							7,96т (IH, NH)
$\Pi_{\mathcal{A}}$	162-164	0,43	92	28,57	28,92	$C_{16}H_{18}N_6$	2,25c (3H,4-CH ₃), 2,35c
							(3H,3'-CH ₃), 2,65c (3H,5'-
							CH ₃), 4,35c (2H,CH ₂), 6,0c
							(IH, CH), 7,15-7,25
							ш.с(5H,Ph) 7,35ш.с (ІН,
							NH)
II_e	132-133	0,45	90	36,95	37,54	$C_{12}H_{19}N_7$	1,4т (6Н,2-СН3), 2,25с
							(3H,3'-CH ₃), 2,7c (3H,5'-
							CH ₃), 3,4c (4H,2-CH ₂),
							6,15с (ІН, СН), 7,6т (2Н,
							2NH)
II_{*}	183-185	0,38	88	33,71	33,91	$C_{14}H_{23}N_7$	1,45т (12Н,4-СНз), 2,3с
							(3H,3'-CH ₃), 2,6c (3H,5'-
							CH ₃), 4,2c (2H,2CH), 6,2c
							(ІН, СН), 7,6 ш.с (2Н,
							2NH)
II_3	139-140	0,51	90	37,90	37,59	$C_{12}H_{19}N_7$	2,22c (3H,3'-CH ₃), 2,6c
							(3H,5'-СН ₃), 3,1 и 3,13с
							(по 6H, N(CH)2), 6,03c(IH,
							CH)

 $\label{eq:2.2} \mbox{ 2--Арилсульфамидо-4-метил-6-(3',5'-диметилпиразолил-1') пиримидины \ III <math display="inline">\mbox{\tiny 2-1}$

Соеди-	Ar	Т.пл., °С	Rf	Выход, %	N, %		Брутто- формула	ПМР спектры, σ, м. д.
					найде	вычисле	1 1 /	
					но	но		
III_a	4-	210-	0,4	77	19,23	19,60	$C_{17}H_{19}N_5O$	2,2c (3H,4-CH ₃), 2,4c (3H,3'-
	CH_3	212					$_2$ S	CH ₃), 2,42c (3H,C ₆ H ₄ -CH ₃),
	C ₆ H							2,55c (3H,5'-CH ₃), 5,92c
								(IH,CH пиразол), 7,25c (IH,
	4							СН пиримидин) 7,25-7,8м
								(4Н, С6Н4), 11,6 ш.с.
								(IH,NH),
III_{6}	2Cl	182-	0,3	72	18,91	18,54	$C_{16}H_{16}ClN$	2,2c (3H,4-CH ₃), 2,4c (3H,3'-
	C_6H	184					$_{5}\mathrm{O}_{2}\mathrm{S}$	CH ₃), 2,58c (3H,5'-CH ₃),
	4							5,95c (IH,CH пиразол),
								7,25(IH, СН пиримидин)
								,7,4-8,1м (4Н,А2), 12,2 ш.с
								(IH, NH)
$III_{\scriptscriptstyle B}$		220-//	0,51	75	20,75	21,00	$C_{18}H_{20}N_6O$	2,05c (3H,COCH ₃), 2,2c
	О	222					$_3$ S	(3H,4-CH ₃), 2,4c (3H,3'-
	4-	\						CH ₃), 2,5c (3H,5'-CH ₃),
	CH ₃							5,95с(ІН,СН пиразол),
	C							7,26c (IH, СН пиримидин),
		/						7,7-7,9м(4Н,А2), 10,0с
	NH							(IH, CONH), 11,4 ш.с (IH,
	G **							SO ₂ <u>NH</u>)
	C ₆ H							
III_{r}	C_6H	198-	0,35	70	20,08	20,40	$C_{16}H_{17}N_5$	2,20c (3H, 4-CH ₃), 2,45c (3H,
	5	200	,		,	ĺ	O_2S	3'-CH ₃), 2,55c (3H,5'-CH ₃),
								5,95c (IH,CH пиразол),
								7,25c (IH, CH пиримидин),
								7,4 -7,9 м (5Н,Рһ) 11,9ш.с
								(IH, NH)

Соединение III_a , будучи NH- кислотой, под действием едкого кали переходит в соль, которая с диметилсульфатом и метилмонохлорацетатом образует продукты N-алкилирования — N-метил- и N-метоксикарбонилметилпроизводные $VI_{a,6}$.

IIIa
$$\frac{(CH_3O)_2SO_2}{CICH_2COOCH_3}$$

$$VI_a R=CH_3; VI_6 R=CH_2COOCH_3.$$

$$VI_{ab}$$

Экспериментальная часть

ИК спектры сняты на спектрометре «UR-10» в вазелиновом масле, ПМР спектры — на приборе «Mercury-300», ТСХ проведена на пластинках «Silufol UV-254», элюент — ацетон-гексан (3:1), проявление 2% AgNO₃ -2% БСФ -4% лимонной кислоты.

2-Амино(алкиламино)-4-метил[алкил(диалкил)амино]-6-(3',5'-диметил-пиразолил-I')-симм-триазины II₆₋₃. Смесь 0,01 *моля* 2-амино(алкиламино)-4-метил(алкил(диалкил)амино)-6-гидразино-симм-триазина I_{6-3} и 4 *мл* пентандиона-2,4 в 10 *мл* диоксана нагревают при 120-125°C 10-12 *ч.* Удаляют часть растворителя, из остатка продукт осаждают водой, отфильтровывают и перекристаллизовывают из диоксана (табл. 1).

2-Амино-4-метил-6-(3',5'-диметилпиразолил-I')пиримидин II_a. Смесь 0,7 r (0,05 m0 π 2) 2-амино-4-метил-6-гидразинопиримидина (I_a), 2-3 m π пентандиона-2,4 в 4-5 m7 диоксана нагревают при 120-125°C 10-12 u. Удаляют часть растворителя, из остатка продукт осаждают водой и фильтруют. Выход соединения II_a 0,75 r (75%), т. пл. 114-115(С (из диоксана). R_f 0,51. Найдено, %: N 34,75. C₁₀H₁₃N₅. Вычислено, %: N 34,43. ИК спектр, V₇ C₆M¹: 1500,1580,1600 (C=C, C=M), 3300, 3400 (M1M2). D₈ D₈ D₉ D

2-Арилсульфамидо-4-метил-6-(3',5'-диметилпиразолил-I')пиримидины III_{а-г.} а) Смесь 1 r (0,05 mоля) 2-амино-4-метил-6-(3',5'-диметилпиразолил-I')пиримидина (II_а) и 0,05 mоля арилсульфохлорида в 3-4 mл пиримидина оставляют при комнатной температуре на 2 дня. Прибавляют 10-15 mл воды. Выпавший осадок отфильтровывают и перекристаллизовывают из диоксана (табл. 2).

б) Смесь 0,005 *моля* 2-арилсульфамидо-4-метил-6-гидразинопиримидина (V) [5], 3 *мл* пентандиона-2,4 в 3-4 *мл* диоксана нагревают при $110-120^{\circ}$ С 10-12 ч. Удаляют часть растворителя, остаток осаждают водой и отфильтровывают (табл. 2).

N-4-Метил-6-(3',5'-диметилпиразолил-I')-симм-триазинил-2-N'-2-хлор-фенилсульфомочевина (VI_a). Смесь 1 r (0,005 m0 π 0) 2-амино-4-метил-6-(3',5'-диметилпиразолил-I')-симм-триазина (II₆) и 1,1 r (0,005 m0 π 0) 2-хлорбензолсульфоизоцианата в 10 m π 1 абс. бензола в присутствии каталитических количеств пиридина оставляют при комнатной температуре на ночь. К смеси прибавляют 10-15 m π 1 гексана и полученные кристаллы отфильтровывают. Выход 1,9 r (90%) т. пл. 168-170 °C (из диоксана). r0,45 (ацетон-гексан, 2:3). Найдено,%: N 23,68; Cl 8,40. r1 в,40. r2 вычислено, %: N 23,27; Cl 8,08. ИК спектр, r3 сr4 гексана (С=C, C=N), 1630 (C=O), 3220, 3320 (NH), 1130,1170 (SO₂). ПМР спектр, (ДМСО-d₆), r5, r7,4 в,0м(4H, Ar), 7,1ш.с. (IH, NH), 7,3 r7 с(IH, NH).

Аналогично из 1 r (0,005 моля) соединения II_a и 1,1 r (0,005 моля) 2-хлорбензолсульфоизоцианата получают 2 r (95%) соединения IV_6 , т. пл. 157-158 °C (из диоксана). R_f 0,41 (ацетон-гексан, 2:3). Найдено,%: N 20,4; Cl 8,43. $C_{17}H_{17}CIN_6O_3$.. Вычислено, %: N 20,1; Cl 9,03. ИК спектр, v, \textit{cm}^1 : 1500-1600 (C=C, C=N), 1640 (C=O), 3290, 3330 (NH), 1120,1200 (SO₂).

Аналогично из 0,71 r (0,002 moля) соединения III_а и 0,24 r (0,0022 moля) метилмонохлорацетата получают 0,7 r (83%) соединения VI₆, т.пл. 139-140°C, R_f0,41(ацетон-гексан, 1:1). Найдено,%: N 15,9. С20H23N5O4. Вычислено, %: N 16,3. ИК спектр, v, cm^1 : 1550-1600 (C=C, C=N), 1720 (C=O), 1080,1100 (C-O-C), 1150,1200 (SO₂). ПМР спектр, (ДМСО-d₆), δ , м.д.: 2,2c (3H, 4-CH₃), 2,4c (3H, 3'-CH₃), 2,46c (3H, C₆H₄-CH₃), 2,5c (3H, 5'-CH₃), 3,75c (3H, OCH₃), 4,9c (2H,CH₂) 5,96c. (IH, CH пиразол), 7,36 с (IH, CH пиримидин), 7,3-8,0 м (4H, Ar).

ՊԻՐԱԶՈԼԻԼԱԶԻՆՆԵՐԻ ՄԻՆԹԵԶՆ ՈՒ ՓՈԽԱՐԿՈՒՄՆԵՐԸ

Է. Ն. ՀԱՄԲԱՐՁՈՒՄՅԱՆ, Ա. Ս. ՈՐՄԿԱՆՅԱՆ, Տ. Ա. ԳՈՄԿՑՅԱՆ, Ա. Փ. ԵՆԳՈՅԱՆ և Վ. Վ. ԴՈՎԼԱԹՅԱՆ

Հիդրազինապիրիմիդինների(սիմ-տրիազինների) և 2,4-պենտանդիոնի փոխազդեցության հիման վրա սինթեզվել են 3',4'-դիմեթիլպիրազոլիլ-1'-պիրիմիդիններ (սիմ-տրիազիններ)։ Ստացված պիրազոլիլամինաազինները արիլսուլֆոքլորիդների և 2-քլորբենզոլսուլֆոիզոցիանատի ազդեցությամբ փոխարկվել են արիլսուլֆոնիլամինապիրիմիդինների և 2-քլորբենզոլսույֆոնիլմիզանյութի ածանցյայների։

Ցույց է տրվել, որ արիլսուլֆոնիլամինապիրազոլիլպիրիմիդինները հաջողությամբ կարող են ստացվել նաև ալտերնատիվ եղանակով՝ արիլսուլֆոնիլամինահիդրազինապիրիմիդինների կոնդենսմամբ պենտանդիոն-2,4-ի հետ։ Արիլսուլֆոնիլամինապիրազոլիլպիրիմիդինները լինելով NH թթուներ, առաջացնում են աղեր, որոնք ալկիլվել են դիմեթիլսուլֆատով և մոնոքլորմեթիլացետատով։

SYNTHESIS AND TRANSFORMATIONS OF PYRAZOLYLAZINES

E. N. HAMBARTZUMYAN, A. S. VORSKANYAN, T. A. GOMKTSYAN, A. P. YENGOYAN and V. V. DOVLATYAN

By interaction of hydrazinopyrimidines (S-triazine) and 2,4-pentanndione the 3',4'-pyrazolyl-1'-pyrimidines(S-triazine) are synthesized. By the reaction of obtained pyrazolylaminoazines with arylsulfochlorides arylsulfonylamidopyrimidines are formed, which are obtained by alternative method- with condensation of arylsulfonylaminohidrazinopyrimidines with pentandione-2,4 also.

The interaction of pyrazolylaminoazines with 2-chlorobenzenesulfoisocyanate is studied. It is shown that in this case corresponding derivatives of 2-chlorobenzenesulfonylureas are obtained.

Arylsulfonylaminopyrazolylpyrimidines as NH acids form salts, which are alkylated by dimethilsulfate or monochloromethylacetate into corresponding N-alkyl-N-arylsulfonylaminopyrazolylpyrimidines.

ЛИТЕРАТУРА

- [1] Довлатян В.В., Хачатрян Н.Х. // Арм.хим.ж., 1978, т. 25, №7, с. 614.
- [2] Довлатян В.В., Гомкцян Т.А., Хачатрян Н.Х. // Арм.хим.ж., 1983, т. 36, №11, с. 727.
- [3] Промоненков В.К., Сорокин В.И., Нестерова Л.М., Федорова О.Н., Гранина Г.Е. Обзор. инф. сер. хим. средств защиты растений, М., НииТЭХИМ, 1985., с. 1-37.
- [4] Баскаков Ю.А. // ЖВХО им. Менделеева, 1988, т. 33, №6, с. 631.
- [5] Довлатян В.В., Оганисян М.Г. // ХГС, 2000, №8.

ՀԱՅԱՍՏԱՆԻ ՀԱՆՐԱՊԵՏՈՒԹՅԱՆ ԳԻՏՈՒԹՅՈՒՆՆԵՐԻ ԱԶԳԱՅԻՆ ԱԿԱԴԵՄԻԱ

НАЦИОНАЛЬНАЯ АКАДЕМИЯ НАУК РЕСПУБЛИКИ АРМЕНИЯ

Հայաստանի рիմիական հանդես 55, №1-2, 2002 Химический журнал Армении

УДК 547.841.07+615.31

СИНТЕЗ N-АРИЛАЛКИЛЗАМЕЩЕННЫХ ПРОИЗВОДНЫХ 1,4-БЕНЗОДИОКСАН-2-ИЛЭТИЛ- И МЕТИЛАМИНОВ И ИЗУЧЕНИЕ ИХ АНТИГИПОКСИЧЕСКОГО СВОЙСТВА

С. О. ВАРТАНЯН, А. С. АВАКЯН, Э. А. МАРКАРЯН, Э. А. ШИРИНЯН и Т. Г. ГУКАСЯН

Институт тонкой органической химии им. А. Л. Мнджояна НАН Республики Армения, Ереван

Поступило 18 V 2000

С целью изучения биологической активности взаимодействием 1,4-бензодиоксан-2-ил-метил- и (1,4-бензодиоксан-2-ил)-1-этиламинов с нитро-, гидрокси-, ди- и триметоксибензальдегидами синтезированы основания Шиффа. Последние восстановлены боргидридом натрия до соответствующих аминов. Изучены их антигипоксические свойства.

Табл. 2, библ. ссылок 8.

Ранее нами был получен целый ряд биологически активных соединений, сочетающих арилалкиламинные фрагменты с разнообразными гетероциклами, в том числе и кислородсодержащими [1,2]. Среди них особый интерес представляют производные 1,4-бензодиоксана (Б. д.), многие из которых проявляют высокую биологическую активность в отношении сердечно-сосудистой системы [3,4]. Исходя из этого нами предпринят синтез новых производных 1,4-бензодиоксана XIII-XXII через имины III-XII, которые представляют также интерес с точки зрения биологической активности [5]. Синтеза их осуществлен по схеме:

R=H, CH₃, Ar= $C_6H_4-n-NO_2$, $C_6H_4-m-NO_2$, C_6H_4-n-OH , C_6H_3-2 ,4(OCH₃)₂, C_6H_2-2 ,4,5(OCH₃)₃

Взаимодействием аминов I и II с бензальдегидамиисодержащими электронодонорные и электроноакцепторные заместители, получены основания Шиффа III-XII, которые являются устойчивыми кристаллическими веществами. Для получения целевых аминов XIII-XX в качестве восстановителя нами выбран боргидрид натрия, т.к. он является избирательным восстановителем.

В ИК спектрах целевых аминов XIII-XXII имеются полосы поглощения в области 1510, 1600 cm^1 , характерные для ароматического кольца, 3320 cm^1 для N-H связи и отсутствуют полосы поглощения в области 1660-1680 cm^1 , характерные для C=N связи оснований Шиффа III-XII. Строение и чистота синтезированных соединений подтверждены также данными ПМР спектров и хроматографически.

Антигипоксическое свойство производных 1,4-бензодиоксана изучали на 96 белых мышах массой 23-26 r на модели нормобарической гипоксической гипоксич по [6]. Испытуемые соединения в виде взвеси (твин 80 + физ. раствор) вводились в дозе 50 mr/kr за 15 mu до воздействия однократно, внутрибрюшно в объеме 0,2 m. В качестве препарата сравнения использовали известное лекарственное средство Кавинтон. Полученные данные показали, что у целевых аминов XIII-XX антигипоксические свойства выражены значительно меньше, чем у иминов III-XII. Так, соединения VIII, X, XI достоверно повышают длительность жизни животных к недостатку кислорода во вдыхаемом воздухе на 58-83%. В аналогичных условиях антигипоксическая активность кавинтона составляла 35-40%.

Экспериментальная часть

ИК спектры сняты на спектрометре "UR-20", спектры ЯМР¹Н — на приборе "Varian", "Меркурий 300" с частотой 300 МГц в DMSO-d⁶ в рамках программы USCRDF RESC 17-5. ТСХ проведено на пластинках марки "Silufol-UV-254", проявитель — пары йода. Температуры плавления определены на микронагревательном столике "Боэциус".

- **1,4-Бензодиоксан-2-ил метиламин (I)** получен по [7] с выходом 60%.
- **1,4-Бензодиоксан-2-ил-1-этиламин (II)** получен по [8] с выходом 75%.

Основания Шиффа III-XII. Смесь 0,01 моля амина I или II с 0,01 моля замещенного бензальдегида в 50 мл абс. бензола кипятят в аппарате Дина-Старка до прекращения выделения воды 8-10 ч. Отгоняют растворитель, остаток кристаллизуют из абс. эфира и перекристаллизовывают из смеси абс. бензол-абс. эфир (1:5) (табл. 1).

Таблица 1 Основания Шиффа III-XII

Соеди-			Выход,	T.	Най	дено,	%	Брутто-	Вычи	ислен	0, %
нение	R	Ar	%	пл., °С	С	Н	N	формула	С	Н	N
III	Н	$n-NO_2$	62,1	126 —	64,81	4,31	9,72	$C_{16}H_{14}N_2O_4$	64,42	4,62	9,39
IV	Н	$M - NO_2$	55,6	127	64,62	4,50	9,10	$C_{16}H_{14}N_2O_4$	64,42	4,62	9,39
V	Н	n-OH	56,6	80 –	64,21	5,31	5,01	$C_{16}H_{15}NO_3$	64,82	5,51	5,20
VI	Н	$2,4(CH_3O)_2$	62,0	81	69,31	6,41	4,52	$C_{18}H_{19}NO_4$	69,00	6,01	4,47
VII	Н	$2,4,5(CH_3O)_3$	57,2	166 — 168	65,45	6,70	4,38	$C_{19}H_{21}NO_5$	65,25	6,34	4,22
VIII	CH_3	$n-NO_2$	64,1	100 -	65,67	5,11	9,05	$C_{17}H_{16}N_2O_4$	65,38	5,13	8,97
IX	CH_3	$M - NO_2$	50,0	103	65,59	5,38	9,13	$C_{17}H_{16}N_2O_4$	65,38	5,13	8,97
X	CH_3	n-OH	51,0	82 —	71,92	5,87	5,20	$C_{17}H_{17}NO_3$	72,08	6,00	4,95
XI	CH_3	$2,4(CH_3O)_2$	60,0	83	65,33	6,71	4,55	$C_{19}H_{21}NO_4$	69,72	6,42	4,28
XII	CH ₃	2,4,5(CH ₃ O) ₃	51,3	116 – 117	67,48	6,21	3,76	$C_{20}H_{23}NO_5$	67,22	6,44	3,92
				84 – 85							
				183 — 185							
				64 — 65							
				105 — 107							

 $\label{eq:Tаблица 2}$ Оксалаты бензодиоксанилалкиламинов XIII-XXII

Соеди-	R	Ar	Выход,	Т. пл., °С	Найдено N	Брутто- формула	Вычислено, % N	Rf och.*
XIII XIV XV XVI XVII XVIII XIXI XXX XXI XXI	H H H CH ₃ CH ₃ CH ₃	$M - NO_2$ n - OH $2,4(CH_3O)_2$	48,5 46,6 25,5 57,3	193 - 194 175 - 176 196 - 197 180 - 181 145 - 146 141 - 170 175 - 176 131 - 132 77 - 78	8,51 8,32 4,52 3,58 3,38 8,12 8,00 4,50 4,0 3,75	C ₁₇ H ₁₇ N ₂ O ₆ C ₁₇ H ₁₇ N ₂ O ₆ C ₁₇ H ₁₈ NO ₅ C ₁₉ H ₂₂ NO ₆ C ₂₀ H ₂₄ NO ₇ C ₁₈ H ₁₉ N ₂ O ₆ C ₁₈ H ₂₀ NO ₅ C ₂₀ H ₂₄ NO ₆ C ₂₁ H ₂₆ NO ₇	8,11 4,46 3,88 3,20 7,80 7,80 4,23	0,60 0,51 0,42 0,47 0,61 0,53 0,52 0,48 0,43 0,35

^{*} Rf – бутанол-уксусная кислота-вода (5:3:3).

ПМР спектр III, δ , м.д.: 8,6 с (1H, CH=N); 8,3 д (2H, аром.), 8,0 д (2H, аром.), 6,85 с (4H, аром. Б.д.), 4,5 д (2H, O–CH₂–), 4,15 м (1H, O–CH–), 3,95 д (2H, CH₂–N). ПМР спектр IV, δ , м.д.: 8,6 с (1H, CH=N); 8,3 д (2H, аром.), 8,05 д (2H, аром.), 6,85 с (4H, аром.), 4,3 д (2H, O–CH₂–), 4,0 м (О–CH–), 3,8 т (1H, CH–N), 1,4 д (3H, CH₃).

Оксалаты бензодиоксанилалкиламинов XIII-XX. К 0,01 моля основания Шиффа в 50 *мл* метанола при 0°C маленькими порциями прибавляют 0,05 моля боргидрида натрия. Оставляют на ночь при комнатной температуре, отгоняют растворитель. К остатку прибавляют 20 мл воды и дважды экстрагируют эфиром. Сушат сернокислым натрием, отгоняют эфир. Остаток растворяют в 50 мл абс. эфира и действием эфирного раствора кислоты получают безводной щавелевой оксалаты, перекристаллизовывают из ацетона (табл. 2). ПМР спектр оксалата XV, 8, м.д.: 7,3 д (2H, NH2), 6,8 м (8H, аром.), 4,5-4,3 д (2H, CH2-O-), 4,0 м (3H, CH2-N и CH-O-), 3,15 м (2H, CH2-Ar). ПМР спектр XIX, δ, м.д.: 7,7-8,35 с (4H, С6H4NO2), 6,85 с (4H, аром.), 4,0-4,5 м (5H, о-СН2-СН-О- и СН2N), 1,3 д (4H, CH-CH₃).

N-ԱՐԻԼԱԼԿԻԼԱՄԻՆԱԱԾԱՆՑՑԱԼՆԵՐԻ, 1,4-ԲԵՆԶՈԴԻՈՔՍԱՆ-2-ԻԼ ԷԹԻԼԻ ԵՎ ՄԵԹԻԼԱՄԻՆՆԵՐԻ ՍԻՆԹԵԶԸ ԵՎ ՆՐԱՆՑ ԱՆՏԻՀԻՊՈՔՍԻԿ ՀԱՏԿՈՒԹՅՈՒՆՆԵՐԻ ՈՒՍՈՒՄՆԱՍԻՐՈՒԹՅՈՒՆԸ

Մ. Օ. ՎԱՐԴԱՆՑԱՆ, Ա. Մ. ԱՎԱԳՑԱՆ, Է. Ա. ՄԱՐԳԱՐՑԱՆ, Է. Ա. ՇԻՐԻՆՅԱՆ և Տ. Գ. ՂՈՒԿԱՍՅԱՆ

(1,4-Բենզոդիոքսան-2-իլ)-մեթիլ և (1,4-բենզոդիոքսան-2-իլ)-1էթիլամինների և նիտրո, օքսի-, դի և տրիմեթօքսի բենզալդեգիդների փոխազդմամբ ստացված են Շիֆֆի հիմքեր։ Վերջիններս վերականգնված են մինչև համապատասխան ամիններ։ Ուսումնասիրված են նրանց անտիհիպօքսիկ հատկությունները։

SYNTHESIS OF SOME N-ARYLALKYLSUBSTITUTED DERIVATIVES OF 1,4-BENZODIOXAN-2-YL-ETHYL AND METHYLAMINES

S. O. VARTANYAN, A. S. AVAKYAN, E. A. MARKARYAN, E. A. SHIRINYAN and T. G. GUKASYAN

Recently we obtained a series of biologically active derivatives of 1,4-benzodioxan and many of them display activity in relation to cardiovascular system. In the present work N-arylalkylamine derivatives of 1,4-benzodioxan-2-yl-ethyl and methylamines are synthest by us. The interaction of (1,4-benzodioxan-2-yl)-1-ethyl and (1,4-benzodioxan-2-yl)-methylamines with nitro-, hydroxy-, di- and trimetoxybenzaldehydes leads to Schiff bases, which were reduced by NaBH₄ to the corresponding amines.

Studies of antihypoxic properties of synthesized compound showed that amine oxalates did not display antihypoxic effect. Schiff bases displayed a marked antihypoxic effect.

ЛИТЕРАТУРА

- [1] Айрапетян Г.К., Арустамян Ж.С., Маркарян Р.Э., Арзанунц Э.М., Саркисян Л.М., Погосян А.В., Маркарян Э.А. // Хим.-фарм. ж., 1990, т.24, №55, с.33.
- [2] *Маркарян Э.А., Вартанян С.О., Авакян О.М., Цатинян А.С.* // Арм. хим. ж., 1975, т.28, №4, с.323.
- [3] Авакян А.С., Вартанян С.О., Маркарян Э.А. // Хим.-фарм. ж., 1988, т.22, №8, с.897.
- [4] *Маркарян Э.А., Вартанян С.О., Авакян О.М.* Взаимосвязь химическая структура-биологическая активность. Ереван, Изд. ООО "Апага", 1997, с.27.
- [5] Kaplan J.P., Raizon B.M. // J. Med. Chem., 1980, v.23, No6, p.702.
- [6] *Ширинян Э.А., Мартиросян О.М., Арутюнян С.А., Атаян Т.К.* // Физиол. журнал СССР, 1990, т.76, №9, с.1197ю
- [7] Landi-Vittory R., Marini-Bettolo G. // Croat. chem. acta, 1957, v.29, p.363. // C. A. 53, 16137d (1959).
- [8] Mlsitl D., de Marchi, Rosnati V., Bovet D.J. // Med. Pharm. chem., 1962, v.5, Nº6, p.1285.

ՀԱՅԱՍՏԱՆԻ ՀԱՆՐԱՊԵՏՈՒԹՅԱՆ ԳԻՏՈՒԹՅՈՒՆՆԵՐԻ ԱԶԳԱՅԻՆ ԱԿԱԴԵՄԻԱ

НАЦИОНАЛЬНАЯ АКАДЕМИЯ НАУК РЕСПУБЛИКИ АРМЕНИЯ

Հшјшиտшնի рիմիшկшն ншић 1 55, №1-2, 2002 Химический журнал Армении

УДК 542,924 + 547,333 + 547,38

НУКЛЕОФИЛЬНОЕ СОДЕЙСТВИЕ КРИСТАЛЛИЧЕСКОЙ СОДЫ ПРИ ПЕРЕГРУППИРОВКЕ-РАСЩЕПЛЕНИИ ДИАЛКИЛ(2-АЛКЕНИЛ)(2-ГАЛОИДЭТИЛ)АММОНИЕВЫХ СОЛЕЙ ПОД ДЕЙСТВИЕМ ГИДРОКСИДА КАЛИЯ

Н. Р. ОГАНЕСЯН, Дж. В. ГРИГОРЯН и С. Т. КОЧАРЯН

Институт органической химии НАН, Республика Армении, Ереван

Поступило 24 XII 1999

Показано, что для перегруппировки-расщепления четвертичных аммониевых солей, содержащих 2-галоидэтильную и 2-алкенильную группы, в качестве основного агента можно использовать кристаллическую соду без растворителя. Найдено, что кристаллическая сода оказывает нуклеофильное содействие при перегруппировкерасщеплении указанных солей под действием гидроксида калия, приводя к более высоким выходам продуктов реакции.

Табл. 1, библ. ссылок 7.

Ранее было показано, что четвертичные аммониевые соли, содержащие наряду с группой аллильного типа 2-галоидэтильную, под действием водной щелочи, первичных или вторичных аминов подвергаются реакции перегруппировки-расщепления [1-6]. Настоящее сообщение посвящено изучению реакции четвертичных аммониевых солей I-V под действием кристаллической соды с целью выяснения возможности использования последней в качестве основного агента для реакции перегруппировки-расщепления.

Исследования показали, что взаимодействие аммониевых солей I-V с количеством кристаллической соды трехкратным мольным растворителя при комнатной температуре приводит к продуктам перегруппировки-расщепления. Однако для ускорения реакции и выходов требуется нагревание до 90°C. Полученные увеличения экспериментальные данные приводятся в таблице.

$$\begin{array}{c} \begin{array}{c} + \nearrow CH_2CH=CR^1R^2 \\ \hline R_2N \\ Hlg \end{array} \xrightarrow{CH_2CH_2Hlg} \begin{array}{c} & R^1 \\ \hline \\ I-IV \end{array} \xrightarrow{Na_2CO_3.10H_2O} \begin{array}{c} R_2NH + OCHCH_2CCH=CH_2 + \\ \hline \\ R^1 \\ R^2 \end{array} \\ + R_2NCH=CHCCH=CH_2 \\ \hline \\ R^2 \end{array}$$

I R=CH₃, R¹=R²=H; II R =R 1 =CH₃, R²=H; III R =CH₃, R¹=H, R²=C₆H₅; IV R =C₂H₅, R¹=R²=CH₃. I-III Hlg=Br; IV Hlg=CI

Сопоставление литературных данных по перегруппировкерасщеплению под действием водной щелочи, аммониевых солей, содержащих наряду 2-галоидэтильной группы алильного типа[1,2], с полученными нами результатами (табл.) свидетельствует о том, что кристаллическая сода может вполне заменить гидроксид калия в этой реакции. Более того, выходы продуктов перегруппировки-расщепления под действием эквимольного количества гидроксида калия и двукратного мольного количества кристаллической соды повышают выходы под действием тройного мольного количества едкого кали. (табл.).

Отметим, что осуществление перегруппировки-расщепления диэтил(2-хлорэтил)(3-метил-2-бутенил)аммонийхлорида (IV) под действием 37% водного раствора гидроксида калия привело к образованию в качестве единственного продукта перегруппировки-расщепления диэтил-3-метил-1,4-пентадиениламина с выходом 31%, в то время как под действием кристаллической соды той же концентрации выход того же продукта достигает 67,5%.

Попытка осуществить отмеченную перегруппировку солей I-III под действием 25% водного раствора хлористого натрия оказалась безуспешной. Исходные соли без изменения возвращаются обратно.

На основании проведенных исследований можно сделать вывод о том, что кристаллическая сода может не только служить в качестве основного агента в реакции перегруппировки-расщепления, но и оказывать при этом в сочетании с гидроксидом калия нуклеофильное содействие, приводя к заметному повышению выходов продуктов перегруппировки-расщепления. Индивидуальность полученных соединений проверена методом ГЖХ сравнением с известными образцами.

Экспериментальнаяя часть

ИК спектры сняты на спектрометре "UR-20", спектры ЯМР $^{\rm I}$ Н – в CCl4 на приборе " Perkin-Elmer R-12B" с рабочей частотой 60 *МГц*. В качестве внутреннего стандарта применялся ТМС. ГЖХ соединений проводилось на приборе "ЛХМ-80", колонка-10% апиезон L на носителе инертон AW (0,20-0,25 *мм*), скорость газа-носителя(гелия) 60 *мл*/*мин*, температура 100-200°C, $_{\rm I}$ 1=2 $_{\rm M}$, $_{\rm I}$ 3 $_{\rm I}$ 4=3 $_{\rm I}$ 5 $_{\rm I}$ 6 $_{\rm I}$ 7 $_{\rm I}$ 8 $_{\rm I}$ 9 $_{\rm I}$ 10 $_{\rm I}$ 9 $_{\rm I}$ 10 $_{\rm I}$ 11 $_{\rm I}$ 1

- Общее описание перегруппировки-расщепления солей I-V. а) Под действием кристаллической соды. К 0,01 моля испытуемой соли добавляли 0,025 моля кристаллической соды, тщательно размешивали, выдерживали при комнатной температуре 15-20 мин, затем нагревали. О конце реакции судили по прекращению увеличения появляющегося органического слоя. Реакционную смесь 2-3 раза экстрагировали эфиром, эфирные вытяжки отделяли и сушили. После удаления эфира остаток перегоняли.
- **б)** Под действием смеси гидроксида калия и кристаллической соды. Смесь 0,01 моля соли, 0,01 моля свежеприготовленного порошка едкого кали и 0,02 моля кристаллической соды тщательно смешивали. После прекращения саморазогревания реакционную смесь нагревали, по окончании реакции обрабатывали аналогично (а).

Перегруппировка-расщепление соли І. а) Из 5,5 r соли І и 17,2 r кристаллической соды получили 1,3 r (43,3%) продукта кротоновой конденсаций 4-пентеналя с.т. кип. 80-81°C/10 mM, nD²⁰ 1,4820, т. пл. 2.4-динитрофенилгидразона(2,4-ДНФГ) 109-110°C [1] и 0,00064 mOЛЯ (3,2%) 4-пентеналя [1].

6) Из 2,87 r соли II, 0.56r едкого кали и 5,72r кристаллической соды получили 0,3 r (24%) диметил(3-метил-1,4-пентадиенил)амина с т.кип.123-125°C/680 m, т.пл 2,4-ДНФ Γ 82-84 °C и 0,6 r (61,2%) 3-метил-4-пентеналя с т.кин. 110-111 °C/ 680 m, т.пл. 2,4-ДНФ Γ 82-84°C [1].

Результаты перегруппировки-расщепления аммониевых солей I-V под действием кристаллической соды или последней и гидроксида калия на кипящей водяной бане.

Исход-	Условия реакции			Выхо	ды прод	Общ. выход	
ная соль				p.	еакции,	%	продуктов
	мольные	е кол.	прод.,	альде-	ена-	прод.	перегр.–
	основан	ий на	Ч	гид	мин	крот.	расщепления
	моль с	оли				конд.	
	Na ₂ CO ₃ ·	KOH					
	10⋅H ₂ O						
I	3	_	2	3,2	_	43,3	89,8
II	3	_	2	18,6	21,8	17,8	76,0
	2	1	2	61,2	24,0	_	85,2
	_	1	2,5	3,0	21,6	10,2	45,0
III	3	_	2	46,2	21,4	_	67,6
	2	1	2	68,7	21,4	_	90,1
IV	3	_	2	_	67,5	_	67,5
	2	1	2	_	72,0	_	72,0
	- 3		2	_	30,8	_	30,8
V	3* –		5	43,5	_	_	43,5
	2*	1	5	70,7	_	_	70,7

в) Под действием эквимольного количества гидроксида калия. Из 14,35 r соли, 2,8 r едкого кали и 9 $m\pi$ воды получили 0,15 r (3%) 3-метил-4-пентеналя, 0,9 r 10,2%) продукта кротоновой конденсации 3- метил-4-пентеналя и 1,35 r (21,6%) диметил(3-метил-1,4-пентадиенил)амина[1].

Перегруппировка-расщепление соли III. а). Из 8,7 r соли III и 21,45 r кристаллической соды получили 1,85 r (46,2%) 3-фенил-4-пентеналя с т. кип. 90-92°C/2 mm, nd^{20} 1,5280. Найдено, %; С 82,09: Н 7,58. С 11 Н 12 О. Вычислено, %: С 82,50; Н 7,50. Т. $n\pi$. 2,4-ДНФГ 98-100°С. ИК спектр, 11 1720, 2720(СНО), 730, 760, 1520, 1600, 3030, 3060(ароматич.кольцо), 910, 990, 1640, 3085(СН=СН 2), ЯМР 1 Н спектр(СС 14), 11 ,

6) Из 3,49 r соли III, 0,56 r едкого кали и 5,72 r кристаллической соды получили 1,1 r (68,7%) 3-фенил-4-пентеналя с т. кип. 90-92°C/2 m, np²⁰ 1,5280 и 0,4 r (21,4%) диметил(3-фенил-1,4-пентадиенил)амина с т. кип. 105-106°/4 m, np²⁰1,5415.

Перегруппировка-расщепление соли IV. а) Из 9 *г* IV и 32,18 *г* кристаллической соды получили 4,2 *г* (67,5%) диэтил(3,3-диметил-1,4-

пентадиенил) амина с т. кип. 65-66°/28мм, n_D^{20} 1,4400, т. пл. 2,4-ДНФГ 110°С[2,3].

- **6)** Из 9 r соли IV, 2,1 r едкого кали и 21,45 r кристаллической соды получили 4,5 r (72,0%) диэтил(3,3-диметил-1,4-пентадиенил) амина с т. кип. 65-66°/28 m, n02° 1,4400.
- **в)** Из 4 r соли III, 5,5 r едкого кали и 17,8 $m\pi$ воды получили 1,7 r (30,8%) диэтил(3,3-диметил-1,4-пентадиенил)амина с т. кип. 65-66°/28 m, nn^{20} 1,4398.

Перегруппировка-расщепление соли V. а) Из 3,73 r соли V и 8,58 r кристаллической соды получили 0,8 r (43,5%) 2-(1-метил)нафтилуксусного альдегида с т. пл. 192°С, т. пл. 2,4-ДНФГ 118-119°С [7] и 0,4 r (21,6%)диметил(1-нафтилметил)амина, идентифицированного по ГЖХ, т. пл. пикрата 121-122°С, не дающего депрессии температуры плавления в смеси с известным образцом.

6) Из 3,73 r соли V, 0,56 r едкого кали и 5,72 r кристаллической соды получили 1,3 r (70,7%) 2-(1-метил)нафтилуксусного альдегида с т. пл. 192°С, т. пл. 2,4-ДНФГ 118-119°С и 0,28 r (15,1%) диметил(1-нафтилметил)амина, идентифицированного по ГЖХ сравнением с известным образом.

ԲՑՈՒՐԵՂԱԿԱՆ ՍՈԴԱՅԻ ՆՈՒԿԼԵՈՖԻԼ ՀԱՄԱԶԴԵՑՈՒԹՅՈՒՆԸ ԿԱԼԻՈՒՄԻ ՀԻԴՐՕՔՍԻԴԻ ԱԶԴԵՑՈՒԹՅԱՄԲ ԴԻԱԼԿԻԼ(2-ԱԼԿԵՆԻԼ) (2-ՀԱԼՈԳԵՆԷԹԻԼ)ԱՄՈՆԻՈՒՄԱՅԻՆ ԱՂԵՐԻ ՎԵՐԱԽՄԲԱՎՈՐՄԱՆ-ՃԵՂՔՄԱՆ ԴԵՊՔՈՒՄ

Ն. Ռ. ՀՈՎՀԱՆՆԻՍՑԱՆ, Ջ. Վ. ԳՐԻԳՈՐՑԱՆ և U. S. ՔՈՉԱՐՑԱՆ

Ուսումնասիրվել է դիալկիլ(2-ալկենիլ)(2-հալոգենէթիլ)ամոնիումային աղերի վերախմբավորման-ձեղքման ռեակցիան բյուրեղական սոդայի ազդեցությամբ; Ցույց է տրվել, որ նշված ռեակցիայում որպես հիմնային ագենտ կարելի է օգտագործել եռակի քանակությամբ բյուրեղական սոդան, առանց լուծիչի։ Ռեակցիան ընթանում է ինչպես սենյակի ջերմաստիձանում, այնպես էլ տաքացմամբ։ Պետք է նշել, որ ռեակցիայի արագացման և արգասիքների ելքերի բարձրացման համար պահանջվում է տաքացում։ Ցույց է տրվել նաև, որ վերախմբավորման-ձեղքման ռեակցիայում բյուրեղական սոդան ոչ միայն կարող է ծառայել որպես հիմնային ագենտ, այլն ցուցաբերել նուկլեոֆիլ համազդեցություն մոլյար քանակությամբ կալիումի հիդրօքսիդի հետ զուգակցված՝ բերելով վերախմբավորման-ձեղքման արգասիքների ելքերի նկատելի բարձրացման։

NUCLEOPHILIC ASSISTANCE OF CRISTALLINE SODA IN REARRANGEMENT-CLEAVAGE OF DIALKYL(2-HALOGENOETHYL)AMMONIUM SALTS UNDER THE ACTION OF POTASSIUM HYDROXIDE

N. R. HOVHANNISSYAN, J. V. GRIGORYAN and S. T. KOCHARYAN

The rearrangement-cleavage of dialkyl(2-alkenyl)(2-halogenoethyl)ammonium salts under the action of crystalline soda is studied. It is shown that for rearrangement-cleavage of mentioned quaternry ammonium salts may be used crystalline soda in threefold amount as an alkaline agent without a solvent. The reaction proceeds at room temperature and by heating. It should been noted that for acceleration of the reaction and the yield increase of rearrangement-cleavage products heating up to 90°C is required. It is also shown that in the rearrangement-cleavage reaction crystalline soda may display the nucleophilic assistance together with equimolar amount of potassium hydroxide leading to visible increase of yields of rearrangement-cleavage products.

ЛИТЕРАТУРА

- [1] Бабаян А.Т., Инджикян М.Г., Багдасарян Г.Б. // ЖОХ, 1964, т. 34, вып. 2, с. 416.
- [2] *Григорян Дж.В., Кочарян С.Т., Чобанян П.С., Калдрикян З.А., Бабаян А.Т.* // Арм. хим. ж., 1975, т. 28. №11, с. 909.
- [3] Авт. свид. 602495(1977). СССР/ Бабаян А. Т., Григорян Дж. В., Чобанян П. С. //Б. И. 1078, №14.
- [4] *Бабаян А.Т., Григорян Дж.В., Геворкян А.Ж., Чобанян П.С.* // Арм. хим. ж., 1977, т. 30, №12 с. 987.
- [5] Авт. свид. 1028664 (1982). СССР / Григорян Дж.В., Геворкян А.Ж., Галоян А.М., Бабаян А. Т.// Б. И. 1983, №26.
- [6] Галоян А.М., Григорян Дж.В., Бабаян А.Б. // ЖОрХ, 1985, т. 21, вып. 3, с. 512.
- [7] Оганесян Н.Р., Григорян Дж.В., Бабаян А.Т. // Арм. хим. ж., 1989, т. 42, №11, с. 700.

ՀԱՅԱՍՏԱՆԻ ՀԱՆՐԱՊԵՏՈՒԹՅԱՆ ԳԻՏՈՒԹՅՈՒՆՆԵՐԻ ԱԶԳԱՅԻՆ ԱԿԱԴԵՄԻԱ

НАЦИОНАЛЬНАЯ АКАДЕМИЯ НАУК РЕСПУБЛИКИ АРМЕНИЯ

Հայաստանի քիմիական հանդես 55, №1-2, 2002 Химический журнал Армении

химия полимеров

УДК 541.49-64:547.67

ИССЛЕДОВАНИЕ ЭЛЕКТРИЧЕСКИХ И КОМПЛЕКСООБРАЗУЮЩИХ СВОЙСТВ СОПОЛИМЕРОВ АКРИЛОНИТРИЛА С АРОМАТИЧЕСКИМИ АЛЬДЕГИДАМИ

А. А. ДУРГАРЯН, Н. А. ДУРГАРЯН, Р. А. АРАКЕЛЯН, Р. М. БЕГИНЯН и А. О. ХАЧАТРЯН

Ереванский государственный университет

Поступило 28 II 1999

Исследованы электрические и комплексообразующие свойства сополимеров акрилонитрила с ароматическими альдегидами. Найдено, что в сополимерах акрилонитрила с бензальдегидом, фурфуролом и п-диметиламинобензальдегидом акрилонитрильные единицы проявляют электроноакцепторные свойства и образуют комплексы с переносом заряда. Сополимеры имеют более высокие электропроводности и меньшую энергию активации проводимости по сравнению с полиакрилонитрилом. Полиакрилонитрил не образует комплекса с переносом заряда с полимером, содержащим п-диметиламинофениламино(имино) группы в ДМФА, но их композиции имеют более высокую электропроводность по сравнению с чистыми полимерами. Комплексы сополимеров и полимеров с йодом имеют удельную электропроводность 10^{-6} - 10^{-7} $om^1 cm^1$.

Табл. 2, библ. ссылок 18.

Сополимеры, полученные из мономеров, в которых имеются электроноакцепторные и электронодонорные группы, отличаются по электрическим и комплексообразующим свойствам от полимер-низкомолекулярных и полимер-полимерных систем и менее изучены [1]. Исследованы сополимеры, содержащие нитро- [2-7], фталимидные [8] и 2,3,5-трихлор-1,4-бензохиноновые [9] электроноакцепторные группы. На основании анализа электронных спектров диффузионного отражения твердых сополимеров акрилонитрила (АН) с винилпиридином сделано заключение о том, что в сополимере возможно образование внутримолекулярного комплекса с переносом заряда [10].

С целью исследования электроноакцепторных свойств АН единиц в сополимерах нами известными методами получены сополимеры АН с бензальдегидом (**BA**) [11],фурфуролом $(\Phi\Phi)$ [12] диметиламинобензальдегидом (ДМАБ) [13]. Определены удельные объемные электрические сопротивления (ЭС) и эффективные энергии активации электропроводности вышеуказанных соединений (табл.1). Имеется прямолинейная зависимость между lnp и 1/T. Сополимеры, содержащие 8-16 мол.% альдегидных единиц, имеют на 4-5 порядков более низкие ЭС и на 0,4-2 эВ меньшие значения энергии активации электропроводности, чем полиакрилонитрил (ПАН). Эти данные указывают на то, что имеет место донорно-акцепторное взаимодействие между АН и ароматическими группами в сополимере. Это заключение подтверждается и данными электронных спектров сополимеров. В спектрах сополимеров АН с БА, ФФ и ДМАБ имеются поглощения при 279 *нм* (ε=13000), 282-284 *нм* (ε=5000) и 367 *нм* (ε=2,3·10⁵), соответственно. В этой области не имеют поглощения ни ПАН, ни модельные соединения: бензол, фуран и N,N-диметиланилин. В ряду сополимеров БА, ФФ, ДМАБ поглощения смещаются в длинноволновую область. В такой же последовательности уменьшаются и потенциалы ионизации модельных соединений: бензола (9,25 эВ), фурана (9,21 эВ) и N,N-диметиланилина (7,02 эВ) [14]. Таким образом, имеет место образование комплекса с переносом заряда между АН и БА, ФФ и ДМАБ мономерными единицами. Самые низкие ЭС имеют сополимеры АН с ФФ и ДМАБ, а сополимер с БА имеет немного большее ЭС.

выяснения, насколько комплексообразование обусловлено нахождением этих единиц в сополимере, известными методами получены ПАН [15] поли(1-*п*-диметиламинофенилимино-2-*п*-диметиламинофениламинобутанилен-со-1-хлор-1-бутенилен) (ПДМАФ) с содержанием 5 мол.% 1-хлор-1-бутениленовых единиц [16]. Сравнение ЭС ПДМАФ содержанием 9,3 композиции AH И C мол.% диметиламинофениламино(имино) групп с сополимером, содержащим 8 мол.% ДМАБ, показывает, что у последнего на 3 порядка ниже ЭС (табл.1) и энергия активации электропроводности ниже энергии активации композиции на 0,5 эВ. Следовательно, в сополимере имеет место более сильное донорно-акцепторное взаимодействие, чем в полимерной композиции. ЭС композиции АН-ПДМАФ на 3 порядка ниже, чем ПАН, вероятно, вследствие образования комплекса с переносом заряда ПАН ПДМАФ твердом состоянии. пользу между комплексообразования свидетельствует и тот факт, что композиция, содержащая 8,3 мол.% АН единиц, имеет ЭС на 2 порядка ниже, чем ПДМАФ. Эти полимеры хорошо совместимы и совместно образуют хорошие пленки.

Nº	Состав	композиций		Темпе-	ρуд, ОМ∙СМ	Ea,	Темпера-
		•		ратура	1 7.7	эВ	турный
				опреде-			интервал
	Компонент	, мол.%	Мол.%	ления			определе-
	1	11	J_2	руд, К			ния Еа, К
N	ПАН,100		,-	293	2xN0 ^{N4}	2,3	335 - 370
2	поли(АН,ФФ)	ФФ,16		298	4 x N ₀ 9	0,3	298 - 353
3	_"_	ΦΦ.50		302	2 x N ₀ 9	0,5	302 - 353
4	поли(АН,БА)	БА,10		298	3 x No ^{No}	NΦ	298 - 353
5	поли(АН,ДМАБ)	ДМАБ,8		345	N∞x No 9	ŊØ	320 - 365
6 7	поли(Ап,дмАв) _"_	ДМАБ,13		345 345	2 x No ⁹	NO	3N 5 − 378
8		ДМАБ,15		345 345	Nox No.9	N9 N8	3189 - 376 322 - 357
9		ДМАБ,18		320	2 x NQ9	2,3 x	$3N_{2} - 353$
No		ДМАФ,9,3		298	7 x No ^{N№}	0,3	300 - 360
NN	ПАН,90,7			29Nº	6 x No ^{N№}	0,5 x	290 - 360
N2	H411.00	ПДМАФ,100	4,3	300	3 x NQ ⁹	0,3	300 - 360
Nø	ПАН,8,3	ПДМАФ,91,7	№ ,6	295	(0.8 - 3) x	0,7 x	295 - 366
N4	ПАН,95,7	ппильто	- " -	295	NO NO	0,3	295 —
No.	ПАН,73,6	ПДМАФ,7,8 _"_	2N4	298	5 x N ₀ 6	0,8 x	353б
No N⊉	_"_		N0,3	295 295	2 x No 9	0,5 0,3	300 — 360в
Ne Ne	ПАН,71,1	ПДМАФ,7,0	 N⊉,0	295 296	$N \propto N Q^7$	0,3 NØ	304 – 345
Ng	поли(АН,ДМАБ)	ДМАБ,7,3	No.7	296	2 x No ⁷	Nø x	30N - 345
20	_"_	_"_	_"_	296	3 x No ⁷	0,4	296 - 353
	"	ДМАБ,12,9			$2 \times N_0^7$	0,7	296 - 340
	"	ДМАБ,10,4			$3 \times N_{2}^{7}$	NØ	296 —
	"	_"_			$N \propto N Q^7$	0,7	340б
						N⁄5	
\	T 0/				т пл	N⁄6	0/

а) Приведены мол.% мономерных единиц, а в случае ПДМАФ – мол.% n-диметиламинофениламино(имино)групп. 6) Повторно определена Еа. в) Комплекс оставлен при комнатной температуре в эксикаторе на один год.

 $\label{eq:Tadonu} {\it Tadonu} ~2$ Данные ПMP спектроскопии нитрил-амин-йод систем в ДМ Φ А

Nº	Нитрил,	Амин,	Йод,	Хим. сдвиг
	$\mathit{MOЛЬ}\!/\mathit{Л}$	моль/л	<i>моль</i> /л	ароматических
				протонов, δ, м.д.
Nº		ПДМАФ,0,30		6,50-6,90
2	ПАН,ПН или АдН,3,1	ПДМАФ,0,3		6,40-6,30
3	ПАН,ПН или АдН,2,4	ДМА,0,29	NTO	6,60 – 6,80; 7,N0 –
5	ПАН или ПН,3,1	ПДМАФ,0,32	№ N3	7,25 7,90 – 8,22
6	ПАН,3,1	ПДМАФ,0,33	N2	8,00-8,24
7	АдН,3,1	ПДМАФ,0,30	0,38	>7,64
8	ПАН,0,46	ДМА, 0,09	N₄No	7,96 - 8,34
9	ПН,3,7	ДМА, 0,28	Nø	7,50-7,80
	АдН,2,4	ДМА, 0,26		7,34 – 5,64

Раствор ПАН и ПДМАФ в ДМФА не имеет нового поглощения в УФ области при концентрациях 10^{-3} – 10^{-4} *моль*/ π . Это дает основание считать, что при таких концентрациях полимеров, в отличие от сополимеров, КПЗ не образуется. Данные ПМР спектров (табл.2) также указывают на то, что сильного взаимодействия ПДМАФ с ПАН, адипонитрилом (АдН), пропионитрилом (ПН), и N,N-диметиланилина (ДМА) с вышеуказанными нитрилами не наблюдается.

Для выяснения поведения АН единиц в присутствии более сильных электроноакцепторов получены комплексы с йодом сополимеров АН с ДМАБ и композиций ПДМАФ с ПАН (табл.1 и 2). В случае комплексов с йодом ЭС сополимеров и композиций почти не отличаются. Однако, исходя из более сильных электронодонорных свойств n-диметиламинофениламино(имино) групп, из этих данных можно заключить, что имеет место слабо выраженный сополимерный эффект.

Исследовано и влияние нитрилов на взаимодействие ПДМА Φ с йодом. По данным спектров ПМР, в присутствии ПАН химические сдвиги ароматических протонов немного смещаются в более слабое поле. Таким образом, в случае комплексов с йодом, как и можно было ожидать, взаимодействие нитрилов с электронодонорами выражено очень слабо.

АДН и ПН получали и очищали по методикам, описанным в работах [17,18], соответственно. Комплексы полимеров и комплексы с йодом готовили по [12]. ПМР спектры снимали на приборе "Тесла BS-497" с частотой $100~M\Gamma u$, внутренний стандарт ГМДС, УФ спектры — на приборе "Specord M-40". Электропроводность образцов в виде прессованных таблеток измеряли на приборе "Тераомметр E6-137".

ԱԿՐԻԼՈՏԻՏՐԻԼԻ ԵՎ ԱՐՈՄԱՏԻԿ ԱԼԴԵՀԻԴՆԵՐԻ ՀԱՄԱՊՈԼԻՄԵՐՆԵՐԻ ԷԼԵԿՏՐԱԿԱՆ ԵՎ ԿՈՄՊԼԵՔՍԱԳՈՑԱՑՆՈՂ ՀԱՏԿՈՒԹՅՈՒՆՆԵՐԻ ՈՒՍՈՒՄՆԱՍԻՐՈՒՄԸ

Ա. Հ. ԴՈՒՐԳԱՐՑԱՆ, Ն. Ա. ԴՈՒՐԳԱՐՑԱՆ, Ռ. Հ. ԱՌԱՔԵԼՑԱՆ, Ռ. Մ. ԲԵԳԻՆՑԱՆ և Ա. Օ. ԽԱՉԱՏՐՑԱՆ

Ակրիլոնիտրիլի բենզալդեհիդի, ֆուրֆուրոլի դիմեթիլամինոբենզալդեհիդի համապոլիմերների մեջ ակրիլոնիտրիլային միավորները ցուցաբերում են էլեկտրոնոակցեպտորային հատկություն և արոմատիկ ալդեհիդային միավորների հետ առաջացնում են լիցքի փոխանցման կոմպլեքսներ։ Համապոլիմերները ունեն ավելի բարձր էլեկտրոհաղորդականություն hnpn Էլեկտրոհաղորդականության ակտիվացման էներգիա, քան պոլիակրիլոնիտրիլը։ Պոլիակրիլոնիտրիլը չի առաջացնում փոխանցման կոմպլեքս պոլի(1-պլիցքի դիմեթիլամինոֆենիլիմինո-2-պ-դիմեթիլամինոֆենիլամինոբուտանիլեն-հա-1-քլոր-1-բուտենիլենի) ԴՄՖԱ լուծույթում, հետ սակայն կոմպոզիցիաները ունեն բարձր էլեկտրոհաղորդականություն համեմատած մաքուր պոլիներների հետ։ Պոլիակրիլոնիտրիլի համապոլիմերը պդիմեթիլամինոբենզալդեհիդի հետ պոլի(1-պ-դիմեթիլամինոֆենիլիմինո-2-պ-դիմեթիլամինոֆենիլամինոբուտանիլին-հա-1-քլոր-1-բուտենիլենը) և վերջինիս կոմպոզիցիան պոլիակրիլոնիտրիլի հետ առաջացնում են կոմպլեքս յոդի հետ, որոնց էլեկտրոհաղորդականությունը փոխվում է 10⁻⁵-10⁻⁷ Օհմ․սմ սահմաններում։

INVESTIGATION OF ELECTRICAL AND COMPLEX FORMING PROPERTIES OF ACRYLONITRILE-AROMATIC ALDEHYDE COPOLYMERS

A. H. DURGARYAN, N. A. DURGARYAN, R. H. ARAKELYAN, R. M. BEGINYAN and A. O. KHACHATURYAN

Acrylonitrile units in acrylonitrile copolymers with benzaldehyde, furfurol and p-dimethylaminobenzaldehyde display the ability to form charge transfer complexes with electronodonor aldehyde units. The formation charge transfer complexes of acrylonitrile units with benzaldehyde, furfurol and p-dimethylaminobenzaldehyde units show the appearance of adsorbtion bands at 279 (ϵ =13000), 284 (ϵ =5000) and 367 nm (ϵ =23000) of copolymers respectively. Absorption bands shift to the visible field similar to ionization potentials decrease of model compounds: benzene, furan and N,N-dimethylaniline. Neither the UV spectra of PAN, nor modelling compounds display bands at 279, 284 and 367 nm.

Solution of PAN with poly(1-p-dimethylaminophenylimino-2-p-dimethylaminophenylaminobutanylene-co-1-chloro-1-butenylene) (1) in DMFA has no absorption bands in range of 279-370 *nm*.

It is shown that copolymer acrylonitrile with 8 *mol*% p-N,N-dimethylaminobenzaldehide have 3 order less electrical resistance than composition of PAN with 9,3 *mol*% polymer 1 and electrical conductivity energy activation similarly low on 0,5 eV. The composition of PAN with polymer 1 has higher electrical conductivity as compared with pure polymers.

Copolymer of acrylonitrile with p-dimethylaminobenzaldehyde, polymer 1 and composite polymer 1 with PAN form complexes with iodine. Electrical resistance of iodine complexes changed in 10⁵-10⁷ *Ohm·cm* ranges.

ЛИТЕРАТУРА

- [1] *Kuiote H., Hata I.* // J. Appl. Polym. Sci., 1990, v. 40, №5-6, p. 1071.
- [2] Simionescu C.I., David G., Grigores M. // Makromol. Chem., 1990, v. 9, №3, p. 473.
- [3] Natanson A, Fleisher H. // J. Polym. Sci., Polym. Lett. Ed., 1984, v. 27, №1, p. 579.
- [4] Natanson A. // Polim, Bull., 1983, v. 90, №1-3, p. 67.
- [5] Ткачев А.В., Творский В.А., Зубов В.П. // Высокомол. соед. В, 1990, т. 32, №6, с. 460.
- [6] Yang N.C., Gadoni I. // J. Am. Chem. Soc., 1964, v. 86, №22, p. 602.
- [7] Simionescu C.I., Grigoris M., David G. // Mater. Plast., 1989, v. 26, p. 5022.
- [8] Передреева С.И., Орлов И.Г., Черкашин М.И. // ЖВХО, 1978, т. 23, с. 537.
- [9] Gibson H. W., Bailey F.C. // Macromolecules, 1977, v. 10, p. 602.
- [10] *Ржевская Н.Н., Соколов А.Е., Родионов Н.И., Уалингольд В.А., Петров А.В., Кренцберг В.И.* // Высокомол. соед. А, 1991, т. 33, №1, с. 60.
- [11] *Дургарян А.А., Аракелян Р.А., Бадоян Э.А., Карапетян Ж.С.* // Арм. хим. ж., 1984, т. 37, №6, с. 367.

- [12] Дургарян А.А., Аракелян Р.А., Мартиросян А.А. // Арм. хим. ж., 1990, т. 43, №12, с. 762
- [13] Дургарян А.А., Аракелян Р.А., Дургарян Н.А. // Хим. ж. Армении, 1998, т. 51, №1, с. 70
- [14] *Гурвич Л.В., Караченцев Г.В., Кондратьев В.Н., Лебедев Ю.А., Медведев В.А., Потопов В.К., Ходеев Ю.С.* // Энергии разрыва химических связей. Потенциалы ионизации и сродство к электрону. М., Наука, 1974.
- [15] Серенсон У., Кембел Г. Препаративные методы химии полимеров, М., ИЛ, 1963, с. 209.
- [16] *Дургарян А.А., Аракелян Р.А., Дургарян Н.А., Шагинян К.С.* // Высокомол. соед., 1990, A32, №7, с. 1425.
- [17] Дургарян А.А., Бадоян Э.А., Аракелян Р.А. // Арм. хим. ж., 1980, т. 33, №5, с. 430.
- [18] *Дургарян А.А., Аракелян Р.А., Нерсисян А.Г., Лулукян Р.К.* // Арм. хим. ж., 1975, т. 28, №7, с. 527.

ՀԱՅԱՍՏԱՆԻ ՀԱՆՐԱՊԵՏՈՒԹՅԱՆ ԳԻՏՈՒԹՅՈՒՆՆԵՐԻ ԱԶԳԱՅԻՆ ԱԿԱԴԵՄԻԱ

НАЦИОНАЛЬНАЯ АКАДЕМИЯ НАУК РЕСПУБЛИКИ АРМЕНИЯ

Հшјшиншић рриђшиши ћшићни 55, №1-2, 2002 Химический журнал Армении

ПИСЬМА В РЕДАКЦИЮ

УДК 547 589+547 586

ИМИДАЗОЛ В КАЧЕСТВЕ ЗАЩИТНОГО НУКЛЕОФИЛА ДЛЯ ПОЛУЧЕНИЯ ПРОИЗВОДНЫХ ПИРИДАЗИНОНА ИЗ β-АРОИЛАКРИЛОВЫХ КИСЛОТ

Нами установлено, что β -ароил- α -/ N-имидазолил/пропионовые кислоты (Ar - π -CH₃C₆H₄, π -BrC₆H₄) [I] при кипячении с водным раствором гидразингидрата переходят в производные пиридазинона. По всей вероятности, образующиеся на первой стадии продукты гетероциклизации отщепляют имидазол в условиях реакции. Попытки получить те же соединения в аналогичных условиях из β -ароилакриловых кислот не увенчались успехом. В обоих случаях имело место образование производных пиразолина. Таким образом, имидазол может служить в качестве своеобразного защитного нуклеофила для получения производных пиридазинона из β -ароилакриловых кислот.

Ar-C-CH₂-CH-COOH
$$\xrightarrow{NH_2NH_2H_2O}$$
 Ar \xrightarrow{N} $\xrightarrow{$

Экспериментальная часть

Спекры ЯМР¹Н получены на "MERCURY-300 Varian".

Смесь 0,65 r (0,0025 mоля) β -толуил- α -/ N-имидазолил/ пропионовой кислоты и 4 mл 60% гидразингидрата кипятили 4 τ . Образовавшийся осадок отфильтровали, многократно промыли спиртом и высушили в вакууме.

Получили 0,24 Γ (50,5%) 6-толуилпиридазинона-3 с т.пл. 242-243°С. Спектр ЯМР¹Н (ДМСО) δ , м.д.: 13с(1H¹, \gt NH), 7,8 д (1H², Jнн=9,6 Γ μ), 7,7д (2H⁴, Јнн=7,8 Γ μ), 7,2 д (2H⁵, Јнн=7,8 Γ μ), 6,9 д (1H³, Јнн=9,6 Γ μ), 2,4 с (3H, CH₃C6H₅):

$$H_3C$$
 H^5
 H^5
 H^4
 H^3
 H^2
 H^3

Аналогично из β -/n-бромбензоил/- α -/N-имидазолил/пропионовой кислоты получен 6-/n-бромбензоил/пиридазинон-3 с выходом 45%, т.пл. 235°С. Спектр ЯМР¹Н (ДМСО) δ , м.д.: $13c(1H^1, >NH)$, 7,85 д $(1H^2, J_{HH}=9,6 \Gamma \mu)$, 7,75д $(2H^4, J_{HH}=7,8 \Gamma \mu)$, 7,55д $(2H^5, J_{HH}=7,8 \Gamma \mu)$, 6,85 д $(1H^3, J_{HH}=9,6 \Gamma \mu)$:

Br
$$H^5$$
 H^3 H^2 H^2 H^3 H^2

ԻՄԻԴԱԶՈԼԸ ՈՐՊԵՍ ՊԱՇՏՊԱՆԻՉ ՆՈՒԿԼԵՈՖԻԼ β-ԱՐՈՒԼԱԿՐԻԼԱԹԹՈՒՆԵՐԻՑ ՊԻՐԻԴԱԶԻՆՈՆԻ ԱԾԱՆՑՑԱԼՆԵՐԻ ՍՏԱՑՄԱՆ ՀԱՄԱՐ

Ցույց է տրվել, որ β-արոիլ-α-(N-իմիդազոլիլ)պրոպիոնաթթուները հիդրազինհիդրատի ջրային լուծույթի հետ եռացնելիս առաջացնում են պիրիդազինոնի ածանցյալներ։ Ենթադրվում է, որ առաջին փուլում ստացված հետերոցիկլացման արգասիքներից ռեակցիայի պայմաններում տեղի է ունենում իմիդազոլի պոկում։

IMIDAZOLE AS DEFENCE NUCLEOPHILE FOR PREPARATION OF DERIVATIVES OF PYRIDAZINONE FROM β -AROYLACRYLIC ACIDS

M. H. INJIKYAN, R. J. KHACHIKYAN, N. V. KARAMYAN, H. A. PANOSSYAN and R. H. KHACHATRYAN

It is established that β -aroyl- α -(N-imidazolyl)propionic acids by boiling with aqueous solution of hydrazine hydrate produce the derivatives of pyridazinone. It is shown that at the some conditions the appropriate aroylacrylic acids with hydrazine hydrate form only the derivatives of pyrazoline. So imidazole is peculiar defence nucleophil for obtaining of derivatives of pyridazinone from β -aroylacrylic acids.

ЛИТЕРАТУРА

[1] Хачикян Р. Дж., Григорян Г. В., Агбалян С. Г. // Арм. хим. ж., 1986, т. 39, № 6, с. 373.

М. Г. Инджикян Р. Дж. Хачикян Н. В. Карамян Г. А. Паносян Р. А. Хачатрян

Институт органической химии НАН Республики Армения, Ереван

Поступило 5 II 2002

ПРАВИЛА ДЛЯ АВТОРОВ

- 1. "Химический журнал Армении" публикует на русском, армянском и английском языках оригинальные статьи, письма в редакцию, краткие сообщения, а также обзорные статьи по специальному заказу редакции. В журнале публикуются статьи, посвященные вопросам общей, физической, неорганической, органической, аналитической химии, химии элементоорганических, высокомолекулярных, природных, биологически активных соединений, а также химической технологии.
- 2. Объем оригинальной статьи, как правило, не должен превышать 10-12 страниц, обзорной – 25 страниц машинописного текста.
- 3. Письма в редакцию должны содержать существенно новые результаты, требующие закрепление приоритета. Объем не должен превышать 2-х страниц. В виде кратких сообщений (не более 4-х страниц машинописного текста) может быть опубликован материал, дополняющий или корректирующий ранее опубликованный, но не требующий публикации в виде полной статьи.

Необоснованное разделение материала по одному вопросу на несколько статей не рекомендуется. Редакция сохраняет за собой право принимать решение о сокращении и объединении материалов.

- 4. Текст статьи должен быть напечатан через 2 интервала, заголовки не подчеркиваются. Формулы и буквенные обозначения следует четко вписывать черными чернилами.
- 5. Авторы должны снабжать статьи индексом Универсальной десятичной классификации (УДК).
- 6. В статьях должно быть принято в основном следующее расположение материала:
- a) Заглавие статьи, инициалы и фамилии авторов, полное название учреждения и города.
- б) Краткое резюме (500-600 знаков), содержащее изложение основных результатов исследования. Использование сокращений и условных обозначений в резюме недопустимо. К статьям, написанным на русском языке, дополнительно следует представить резюме на армянском и английском языках. Английское резюме рекомендуется представить объемом в одну полную страницу в тщательно отредактированном виде.
- в) Вводная часть, содержащая краткое критическое рассмотрение ранее опубликованных работ в данной области и цель работы.
- г) После вводной части следуют разделы: 1) "Методика эксперимента"; 2) "Результаты экспериментов"; 3) "Обсуждение результатов"; 4) "Выводы" (при необходимости). По усмотрению авторов разделы 2 и 3 можно объединить в раздел "Результаты и их обсуждение". Соблюдение данной структуры статьи преследует цель четко выделить в разделе "Методика эксперимента" методы и технику эксперимента, использованные реагенты

и аппаратуру, условия проведения эксперимента (состав реагирующей системы, давление, концентрация, диапазон температур и т.п.). В разделе "Результаты эксперимента" приводятся основные экспериментальные данные, включая таблицы, графики. Обсуждение результатов содержит интерпретации экспериментальных зависимостей и фактов, выявление новых характеристик и закономерностей на их основе, а также обобщение и выводы.

д) В конце статьи приводится список цитированной литературы.

Примерные образцы библиографических описаний

Книги, монографии

[1] Ингольд К., Робертс Б. Реакции свободнорадикального замещения. М., Мир, 1974, с.255.

Статьи из журналов

[1] Григорян Г.О., Мурадян А.Б., Григорян К.Г., Григорян О.В. //Хим. ж. Армении, 1996, т.49, №1, с.35.

Авторские свидетельства и патенты

- [1] Лукьянова Р.С., Панасевич-Коляда В.И., А.с. 371220 (1972) //Б.И. 1973, №11.
- [2] Пат. 2309747 (1973). ФРГ//С.А. 1973, vol.79, №126622.

Авторефераты диссертаций

- [1] Кулешов В.Г. Автореф. дисс. "....." канд. хим. наук. М., МГУ, 1979.
- 7. Все вновь полученные соединения должны быть названы. Для названий следует пользоваться номенклатурой, рекомендованной ИЮПАК (см. Номенклатурные правила ИЮПАК по химии. М., 1979).
- 8. Для краткости и наглядности соединения рекомендуется нумеровать, используя римские цифры; при многократном упоминании соединений дается ссылка на их номер. Для распространенных реагентов, растворителей допускается использование буквенных сокращений (напр., ТГФ, ДМСО и т.п.). В остальных случаях сокращения не допускаются.
- 9. Рисунки выполняются на белой бумаге форматом А4 или А5 четко, черными чернилами или тушью и прилагаются к статье. Размер рисунка не должен превышать 150-200 мм. Кривые на рисунках нумеруются арабскими цифрами, расшифрованными в подписях к рисункам, которые сдаются на отдельных листах бумаги. В тексте статьи указывается место рисунка. На обороте рисунков карандашом указываются фамилии авторов, название статьи, номер рисунка. Не допускается дублирование материала в таблицах, на рисунках и в тексте.
- 10. Размерность единиц дается в соответствии с Международной системой единиц СИ.

- 11. Рукопись представляется в трех экземплярах, подписанных всеми авторами. Следует также приложить текст статьи, набранный на дискете.
- 12. В случае возвращения статьи автору для доработки первоначальный текст обязательно возвращается в Редакцию вместе с исправленным текстом. При задержке статьи автором более чем на 1 месяц без уважительных причин первоначальная дата поступления не сохраняется.
- 13. В авторской корректуре допускаются лишь исправления ошибок, допущенных при наборе.
- 14. Редакция может обеспечить авторов оттисками опубликованной статьи за наличный счет.
- 15. Рукопись статьи представляется в редакцию с приложение обычной документации (направление, акт экспертизы), точного адреса и телефона автора, с которым следует вести переписку.
- 16. Сокращения названий журналов проводить в соответствии с принятыми в "Реферативном журнале".

ԲՈՎԱՆԴԱԿՈՒԹՅՈՒՆ

Հոբելյաններ

Ալեքսանդր Գրիգորի Մերժանով	3
Ընդհանուր և ֆիզիկական քիմիա	
Ալեքսանյան Ա.Գ., Աղաջանյան Ն.Ն., Հակոբյան Հ.Գ., Դոլուխանյան Ս.Կ., Շեխտման Վ.Շ., Հարությունյան Խ.Ս., Աբրահամյան Կ.Ա., Հայրապետյան Վ.Ս., Տեր-Գալստյան Օ.Պ., Մնացականյան Ն.Լ. Ռադիացիոն-թերմիկ պրոցեսները ջրածին պարունակող եթկոմպոնենտ համակարգերում	4
	17
Գրիգորյան Ս.Գ., Մանուկյան Ա.Լ., Հայրապետյան Ա.Գ., Արզումանյան Ա.Մ., Ռաշիդյան Լ.Հ., Տրոզյան Ա.Հ. Լանթանով ավելացված կապարի ցիրկոնատ-տիտանատի բարակ թաղանթի ստացումը գոլ-հել եղանակով	30
Մխիթարյան Ա.Վ., Ավետիսյան Ա.Ա. Տրիհալոգենմեթիլկարբինոլների վերախմբավորման ռեակցիայի մեխանիզմի քվանտաքիմիական հետազոտումը	36
Գրիգորյան Ս.Կ., Գրիգորյան Կ.Ռ., Պետրոսյան Գ.Գ., Գրիգորյան Գ.Լ., Գրիգորյան Գ.Ս., Վարդանյան Ե.Յա. Կումոլի հիդրոպերօքսիդի և մեթիոնինի միջև ընթացող ռեակցիայի կինետիկան և մեխանիզմը ջրային միջավայրում	44
Անօրգանական և անալիտիկ քիմիա	
Խանամիրովա Ա.Ա., Ապրեսյան Լ.Պ., Հադիմոսյան Հ.Ռ. Կալիումական և առավելապես կալիումական ալյումինատային լուծույթների ստացումը սիլիկահող պարունակությամբ՝ մոտիկ SiO ₂ -ի իսկական հավասարակշիռ կոնցենտրացիային K ₂ O-Al ₂ O ₃ -SiO ₂ - H ₂ O համակարգում	53
Գյոկչյան Ն.Օ., Ավագյան Կ.Խ., Եղիազարյան Ա.Ա., Միքայելյան Ջ.Ա., Խաչատրյան Հ.Գ. Ոսկու(III) միկրոքանակների էքստրակցիոն- ֆլուորաչափական որոշումը ակրիդինային հիմնական	
ներկանյութ՝ րիվանոլով աղաթթվային միջավայրում Վարդանյան Ս.Վ., Կարապետյան Վ.Ե., Չուրկինա Ն.Պ., Քինոյան Ֆ.Ս., Քոչարյան Ս.Տ. Պղինձ(II)-ի և մի քանի չհագեցած α-դիալկիլ-	63 68
Օրգանական քիմիա	
Մաղյան Ա.Ս., Համբարձումյան Հ.Հ., Դադայան Ս.Ա., Հարությունյան Ս.Ռ., Հովհաննիսյան Ա.Խ., Հովհաննիսյան Ա.Մ., Ավետիսյան Ա.Ա.,	

Տարարով Վ.Ի., Մալեյև Վ.Ի., Բելոկոն Յու.Ն., Նորտ Մ. Ti ^{IV} իոնի նոր քիրալային սալենային կոմպլեքսները՝ որպես բենզալդեհիդի տրիմեթիլսիլիլցիանացման ռեակցիայի ասիմետրիկ կատալիզատորներ	73
հատկությունները	85
Համբարձումյան Է.Ն., Որսկանյան Ա.Ս., Գոմկցյան Տ.Ա., Ենգոյան Ա.Ф.,	
Դովլաթյան Վ.Վ. Պիրազոլիլազինների սինթեզն ու	00
փոխարկումները	92
Վարդանյան Ս.Օ., Ավագյան Ա.Ս., Մարգարյան Է.Ա., Շիրինյան Է.Ա., Ղուկասյան Տ.Գ. N-արիլալկիլամինաածանցյալների, 1,4-բենզոդիոքսան-2-իլ էթիլի և մեթիլամինների սինթեզը և նրանց	00
անտիհիպոքսիկ հատկությունների ուսումնասիրությունը Հովհաննիսյան Ն.Ռ., Գրիգորյան Ջ.Վ., Քոչարյան Ս.Տ. Բյուրեղական	99
սոդայի նուկլեոֆիլ համազդեցությունը կալիումի հիդրօքսիդի ազդեցությամբ դիալկիլ(2-ալկենիլ) (2- հալոգենէթիլ)ամոնիումային աղերի վերախմբավորման-	105
Պոլիմերների քիմիա	
Դուրգարյան Ա.Հ., Դուրգարյան Ն.Ա., Առաքելյան Ռ.Հ., Բեգինյան Ռ.Մ., Խաչատրյան Ա.Օ. Ակրիլոտիտրիլի և արոմատիկ ալդեհիդների համապոլիմերների էլեկտրական և կոմպլեքսագոյացնող հատկությունների ուսումնասիրումը	111
Նամակներ խմբագրությանը	
Ինձիկյան Մ.Հ., Խաչիկյան Ռ.Ջ., Քարամյան Ն.Վ., Փանոսյան Հ.Ա., Խաչատրյան Ռ.Հ. Իմիդազոլը որպես պաշտպանիչ նուկլեոֆիլ β - արոիլակրիլաթթուներից պիրիդազինոնի ածանցյալների ստացման համար	117
Կանոններ հեղինակների համար	120

СОДЕРЖАНИЕ

Юбилеи

Александр Григорьевич Мержанов	3
Общая и физическая химия	
Алексанян А.Г., Агаджанян Н.Н., Акопян А.Г., Долуханян С.К., Шехтман В.Ш., Арутюнян Х.С., Абрамян К.А., Айрапетян В.С., Тер-Галстян О.П., Мнацаканян Н.Л. Радиационно-термические процессы в тройных водородсодержащих системах	4
Давтян Д.С., Манукян Л.С., Тоноян А.О., Давтян С.П. Некоторые вопросы теории фронтальной полимеризации кристаллических мономеров в проточном трубчатом реакторе	17
Григорян С.Г., Манукян А.Л., Айрапетян А.Г., Арзуманян А.М., Рашидян Л.Г., Трозян А.А. Золь-гель метод получения тонких пленок цирконата- титаната свинца, допированного лантаном	30
Мхитарян А.В., Аветисян А.А. Квантовохимическое исследование механизма перегруппировки тригалогенметилкарбинолов	36
Григорян С.К., Григорян К.Р., Петросян Г.Г., Григорян Г.Л., Григорян Г.С., Варданян Е.Я. Кинетика и механизм реакции метионина с гидропероксидом кумола в водной среде	44
Неорганическая и аналитическая химия	
Ханамирова А.А., Апресян Л.П., Адимосян А.Р. Получение калиевых и преимущественно калиевых алюминатных растворов с содержанием диоксида кремния, близким к истинным равновесным концентрациям SiO ₂ в системе K ₂ O-Al ₂ O ₃ -SiO ₂ -H ₂ O	53 63
Вартанян С.В., Карапетян В.Е., Чуркина Н.П., Киноян Ф.С., Кочарян С.Т. Взаимодействие меди с некоторыми непредельными диалкиламинооксимами	68
Органическая химия	
Сагиян А.С., Амбарцумян А.А., Дадаян С.А., Арутюнян С.Р., Оганесян А.Х., Оганесян А.М., Аветисян А.А., Тараров В.И., Малеев В.И., Белоконь $W(G)$ Норт $W(G)$ Новые хиральные саленовые комплексы $W(G)$ Ті $W(G)$ как катализаторы для асимметрической реакции триметилсилилцианирования бензальдегида	73
Бабаханян А.В., Овакимян С.А., Арутюнян Р.С. Синтез и некоторые коллоидно- химические свойства хлористых солей алкоксикарбонилметилдиметил (4-п-хлорфенилоксибутин-2-ил)аммония	85
Амбарцумян Э.Н., Ворсканян А.С., Гомкцян Т.А., Енгоян А.П., Довлатян В.В. Синтез и превращения пиразолилазинов	92

Вартанян С.О., Авакян А.С., Маркарян Э.А., Ширинян Э.А., Гукасян Т.Г. Синтез N-арилалкилзамещенных производных 1,4-бензодиоксан-2-илэтил- и метиламинов и изучение их антигипоксического свойства Оганесян Нуклеофильное содействие кристаллической соды при перегруппировке-расщеплении диалкил(2-алкенил)(2-галоидэтил)аммониевых солей под действием гидроксида калия	99			
Химия полимеров <i>Дургарян А.А., Дургарян Н.А., Аракелян Р.А., Бегинян Р.М., Хачатрян А.О.</i>				
Исследование электрических и комплексообразующих свойств сополимеров акрилонитрила с ароматическими альдегидами	111			
Письма в редакцию				
U нджикян M . Γ ., X ачикян P . \mathcal{A} ж., K арамян H . B ., Π аносян Γ . A ., X ачатрян P . A . U мидазол в качестве защитного нуклеофила для получения производных пиридазинона из β -ароилакриловых кислот	117			
Правила для авторов	120			

CONTENTS

Anniversaries

Alexander G. Merjanov	3				
General and Physical Chemistry					
Aleksanyan A.G., Aghajanyan N.N., Hakobyan H.G., Dolukhanyan S.K., Shekhtman V.Sh., Harutyunyan Kh.S., Abrahamyan K.A., Hayrapetyan V.S., Ter-Galstyan O.P., Mnatsakanyan N.N. Thermal-radiation processes in the ternary hydrogen containing systems	4				
reactor	30 36				
hydroperoxide with methionine in aqueous solutions	44				
Inorganic and Analytical Chemistry					
 Khanamirova A.A., Apressyan L.P., Adimosyan H.R. Obtaining potassium and mainly potassium aluminate solutions containing silicone dioxide, similar to the true equilibrium concentration of SiO₂ in K₂O-Al₂O₃-SiO₂-H₂O system. Geokchyan N.O., Avakyan K.Kh., Eghiazaryan A.A., Mikaelyan J.A., Khachatryan H.G. Extraction-fluorimetric determination of gold(III) microquantities using rivanol acridinic basic dye in hydrochloric acid medium	536368				
Organic Chemistry					
Saghiyan A.S., Hambarcumyan H.H., Dadayan S.A., Haroutunyan S.R., Hovhannesyan A.Ch., Hovhannesyan A.M., Avetisyan A.A., Tararov V.I., Maleev V.I., Belokon Yu.N., North M. New chiral salen complexes of Ti ^{IV} as catalyst for the reaction of asymmetric trimethylsilylcyanation of benzaldehyde	73 85 92 99				
halogenoethyl)ammonium salts under the action of potassium hydroxide	105				

Polymeric Chemistry

Durgaryan A.H., Durgaryan N.A., Arakelyan R.H., Beginyan R.M., Khachaturyan A.O. Investigation of electrical and complex forming properties of acrylonitrile-aromatic aldehyde copolymers	111		
Letters to the Editor			
Injikyan M.H., Khachikyan K.J., Karamyan N.V., Panossyan H.A., Khachatryan R.H. Imidazole as defence nucleophile for preparation of derivatives of pyridazinone from β -aroylacrylic acids	117		
Rules for Authors	120		